



فصل اول

کلیات



۱- گلایات

۱-۱- مقدمه

اکتشافات ژئوشیمیایی با استفاده از تکنیک نمونه برداری آبراهه ای، یکی از روش‌های متداول در اکتشافات معدن در مقیاس ناحیه ای و نیمه تفصیلی در کلیه نقاط جهان است. هدف از این بررسی‌ها محدود کردن مناطق تحت پوشش اکتشافی جهت تعیین پر پتانسیل ترین نقاط جهت تمرکز عملیات اکتشافی است. در این راستا برگه ۱:۱۰۰۰۰۰ زمین شناسی اراک توسط سازمان زمین شناسی و اکتشافات معدنی کشور با برداشت ۴۴۸ نمونه ژئوشیمی و ۵۵ نمونه کانی سنگین تحت پوشش عملیات اکتشافی قرار گرفته و بر اساس نتایج این مطالعات چندین محدوده پرپتانسیل جهت انجام عملیات اکتشافات ژئوشیمیایی و کانی سنگین در مقیاس ۱:۲۵۰۰۰ معرفی شده است. گزارش حاضر شرح عملیات اکتشافات ژئوشیمیایی و کانی سنگین در یکی از مناطق آنومال و پر پتانسیل تعیین شده در برگه ۱:۱۰۰۰۰۰ زمین شناسی اراک می‌باشد. این محدوده تحت عنوان "اراک دو" در تابستان ۱۳۸۶ به این مشاور معرفی و عملیات اکتشافی از مهر ۱۳۸۶ در این محدوده آغاز گردیده است. در این گزارش کلیه عملیات انجام شده بر اساس شرح خدمات ارائه شده از طرف کارفرما که زیر نظر مستقیم ناظر محترم پژوهه انجام پذیرفته است، به تفصیل ارائه گردیده است.

۲- هدف مطالعات

هدف از مطالعات حاضر تهیه نقشه‌های ژئوشیمیایی ۱:۲۵۰۰۰ به منظور ارزیابی درجه اعتبار بی هنجاری‌های ژئوشیمیایی، کانی سنگین، دورسنگی، ژئوفیزیک هوایی و غیره که در مقیاس‌های کوچکتر و ناحیه ای به دست آمده است، می‌باشد که این بررسی‌ها در نهایت منجر به معرفی مناطق امید بخش برای ادامه عملیات زمین شناسی و اکتشافی در مقیاس بزرگتر می‌گردد. این مطالعات در شناسایی و اکتشاف کانسال عناصر مس، سرب، روی، طلا، آنتیموان، نقره، باریت و ... در این منطقه می‌تواند بسیار مفید باشد.



۱-۳- موقعیت جغرافیایی، توپوگرافی، آب و هوایی و راه های دسترسی

محدوده اراک دو که جهت اکتشافات ژئوشیمیایی و کانی سنگین در مقیاس ۱:۲۵۰۰۰ از طرف کارفرما معرفی شده است در بخش جنوبی برگه ۱:۵۰۰۰۰ اراک با شماره (۵۹۵۸ III) واقع شده است. این محدوده در فاصله ۳/۵ کیلومتری اراک واقع شده است. محدوده مورد نظر به صورت یک شش گوش با مساحت حدود ۱۰۶ کیلومتر مربع با روئوس مندرج در جدول (۱-۱) مشخص می گردد.

جدول (۱-۱) مختصات روئوس شش ضلعی محدوده مورد مطالعه

| | X | Y |
|---|--------|---------|
| A | 371000 | 3775000 |
| B | 376000 | 3775000 |
| C | 376000 | 3770000 |
| D | 384650 | 3770000 |
| E | 384650 | 3764000 |
| F | 371000 | 3764000 |

در شکل (۱-۱) موقعیت شش گوش فوق نسبت به عوارض توپوگرافی ۱:۲۵۰۰۰ و راههای دسترسی منطقه قابل مشاهده است. همانطور که در این شکل نشان داده شده است در حدود ۸۰ کیلومتر مربع از محدوده تحت پوشش در مناطق مرتفع واقع شده و دارای رخمنون های سنگی است که در حدود ۷۴٪ کل محدوده را شامل می شود و بقیه محدوده که بالغ بر ۲۵٪ از محدوده تحت پوشش اکتشافی را شامل می شود، بصورت دشت می باشد. بلندترین نقطه ارتفاعی در شمال غربی منطقه با نام کوه مودر و دارای ارتفاع ۲۳۲۷ متر از سطح دریا است. تغییرات شبیه توپوگرافی غالباً تندر و منطقه کوهستانی است. آب و هوای منطقه خشک (زمستان سرد و خشک و تابستان گرم) با کوه های بدون پوشش گیاهی و تنها در دره ها مناطق آبرفتی پوشش گیاهی دیده می شود. به لحاظ راههای دسترسی نیز این منطقه از چند طریق قابل دسترسی است:

-۱ از سمت شمال غربی راه آسفالته درجه یک اراک- سنجان که به سمت بروجرد و ملایر می

رودهمراه با خط آهن که از منطقه سنجان می گذرد

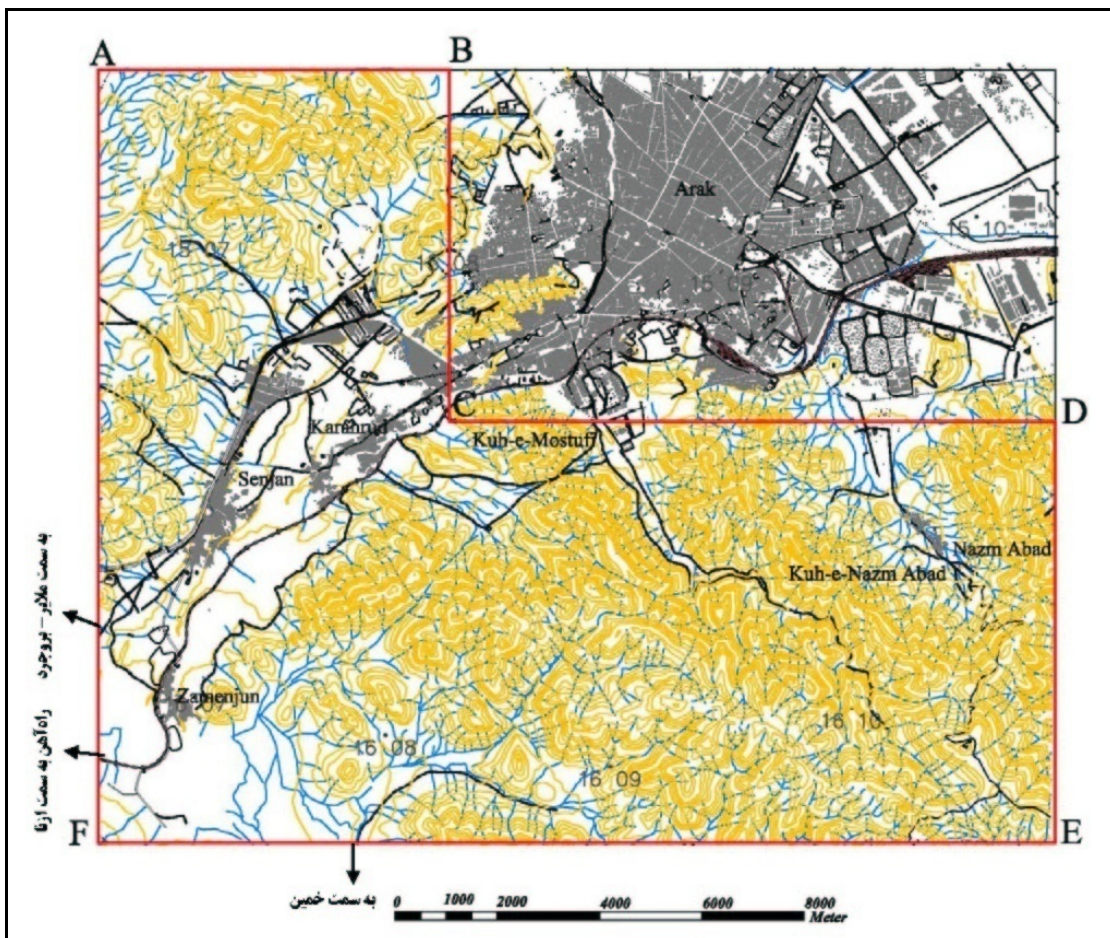
-۲ از سمت جنوب از طریق راهی که به روستا های گوشه قره و شمس آباد می رود

-۳ از سمت غرب از طریق جاده اراک خمین که با یک فرعی به سمت روستای حسین آباد می

رسد.

-۴ از سمت شمال نیز از طریق راهی که از شهر اراک به روستای نظم آباد می رود دسترسی دارد.

در منطقه با توجه به توسعه معادن سنگ ساختمانی راههای خاکی قابل مشاهده است.



شکل (۱-۱): چهار گوش منطقه مطالعاتی به همراه وضعیت توپو گرافی و راههای دسترسی منطقه



۱-۴-۱- اهداف پروژه و روش کار

هدف اصلی از اجرای این پروژه بررسی پتانسیل کانی سازی آنومالی های ژئوشیمیایی به دست آمده در مقیاس ۱:۱۰۰۰۰۰ در برگه زمین شناسی ۱:۱۰۰۰۰۰ اراک است. بر اساس نتایج مطالعات فوق، چند محدوده آنومال ژئوشیمیایی در برگه اراک معرفی شده است که محدوده اراک دو یکی از این مناطق می باشد. بدین منظور با توجه به وسعت محدوده از روش نمونه برداری رسوبات آبراهه ای استفاده می شود. بر اساس دستورالعمل شرح خدمات پروژه، شبکه نمونه برداری ژئوشیمیایی و کانی سنگین طراحی و عملیات برداشت بر اساس دستورالعمل استاندارد انجام شد. پس از آنالیز و مطالعه نمونه های برداشت شده، بر اساس تجزیه و تحلیل داده ها، مناطق آنومال اولیه تعیین شده و در مرحله کنترل ناهنجاریها با توجه به بازدیدهای به عمل آمده و نمونه های برداشت شده مناطق امید بخش نهایی تعیین گردید.

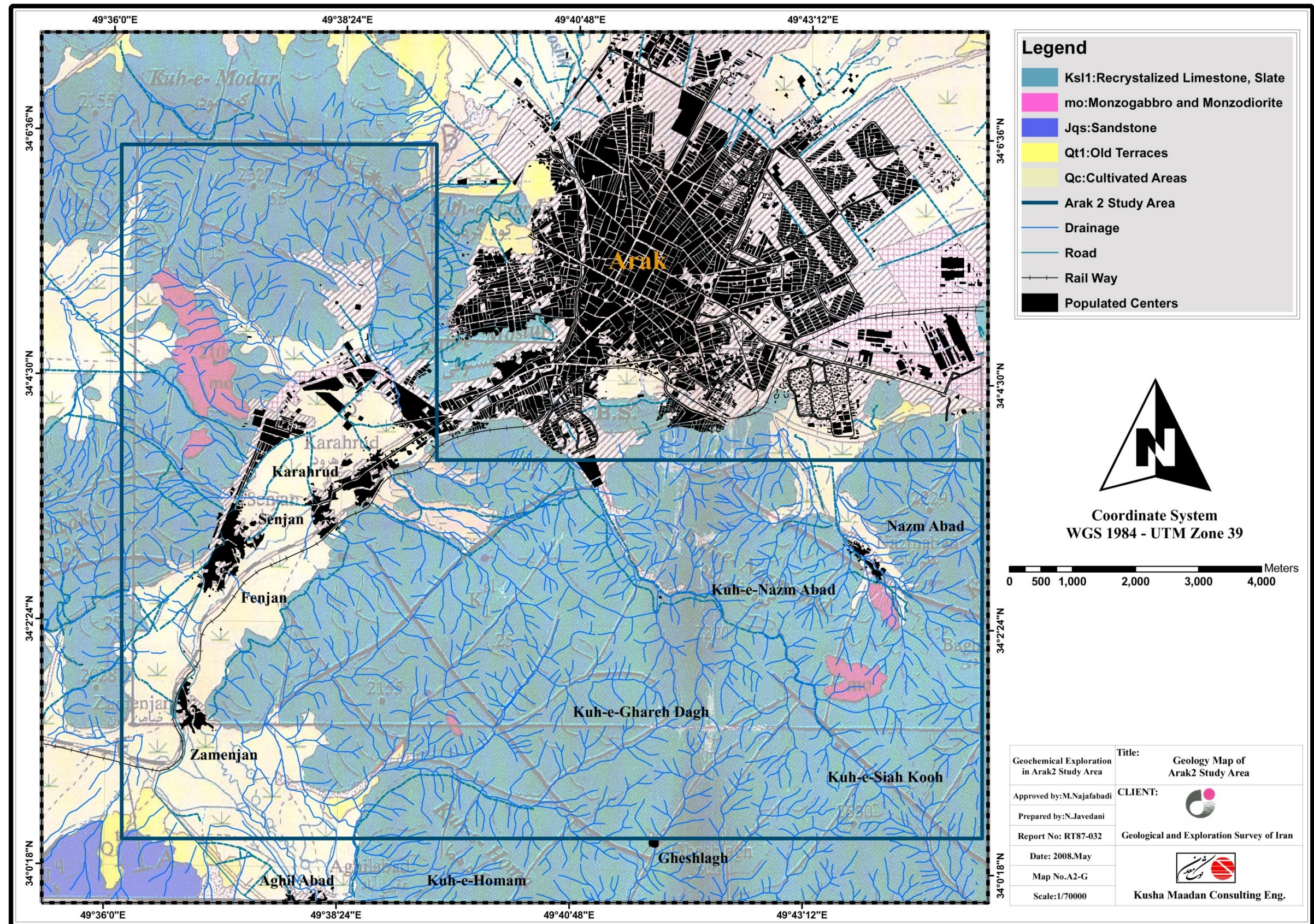
۱-۵- مطالعات انجام شده پیشین

مهمترین فعالیت سیستماتیک در این محدوده، اکتشافات ژئوشیمیایی و کانی سنگین مقیاس ۱:۱۰۰۰۰۰ در برگه اراک توسط سازمان زمین شناسی می باشد. البته نقشه زمین شناسی و ژئوفیزیک هوای آن در قالب امور جاری سازمان نیز قبلا انجام شده است.

۱-۶- خلاصه زمین شناسی منطقه

بزرگ مقیاس ترین نقشه زمین شناسی تهیه شده از منطقه نقشه ۱:۱۰۰۰۰۰ اراک می باشد که محدوده مورد بررسی در بخش جنوب غربی این نقشه واقع شده است. در شکل (۲-۱) نقشه زمین شناسی محدوده مورد بررسی به همراه چهار چوب منطقه اراک دو ارائه شده است. همانطور که در این شکل مشاهده می گردد تنها سه تیپ سنگ در این محدوده گزارش شده است که عبارتند از :

واحد سنگی J^q : بر اساس نقشه زمین شناسی، قدیمی ترین واحد مربوط به واحد J^q با سن ژوراسیک زیرین است. این واحد شامل ماسه سنگ ، ماسه سنگ کوارتزیتی با دگرگونی خفیف به رنگ خاکستری روشن می باشد. این واحد تنها در بخش کوچکی از منطقه مطالعاتی، واقع در جنوب غربی منطقه رخمنون دارد.



شکل ۱-۲: نقشه زمین شناسی منطقه به همراه محدوده مطالعاتی اقتباس شده از نقشه ۱:۱۰۰۰۰۰ زمین شناسی



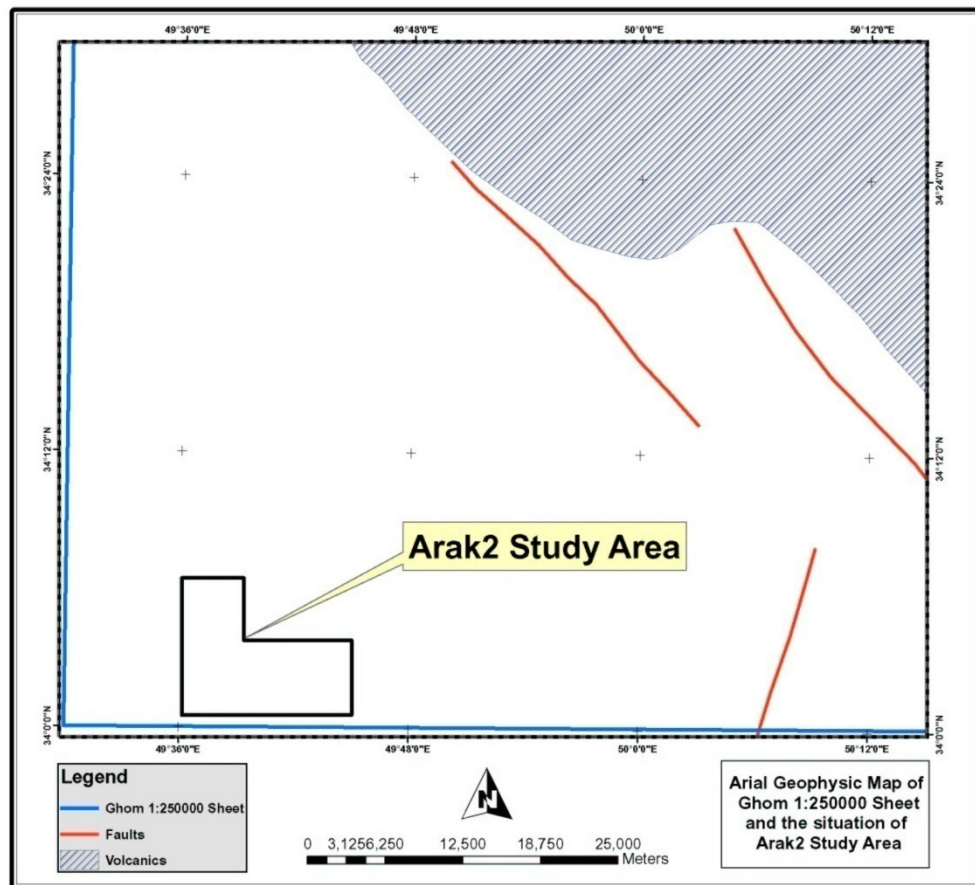
K^{sl}: این واحد سنگی که به سن کرتاسه زیرین گزارش شده است، با بیشترین وسعت در منطقه مطالعاتی، رخمنون دارد. ته نشستهای موجود این واحد شامل سنگ آهک اسلیتی، اسلیت آهکی، سیلتستون ماسه ای، اسلیت آرژیلیتی و شیل با رنگ سبز روشن می‌باشند. این ته نشستهای دگرگون شده و به شکل شیستوزیته و سیستم درزه جلوه نموده اند.

mo: این واحد، یک توده نفوذی که سن آن پس از کرتاسه پیشین است. نام این سنگ‌ها در قلمرو مونزونیت - مونزودیوریت جای دارد. رنگ ظاهری این واحد خاکستری روشن مایل به قهوه‌ای و سطح شکسته آنها گرایینده به خاکستری تا سبز کم رنگ است. این واحد در چند بخش کوچک جنوب شرقی و شرق منطقه مطالعاتی رخمنون دارد.

به لحاظ شرایط زمین ساختی بر اساس نقشه زمین‌شناسی موجود، گسلهای اصلی در این منطقه به روند گسلهای فشارشی نزدیک است و ارتفاعات متعلق به زون سنندج - سیرجان می‌باشد. روند های اصلی ساختارها و گسل‌های منطقه شمال شرق - جنوب غرب و شمال غرب - جنوب شرق می‌باشند و نیز در این برگه ساختمانهای چین خورده که با گسلهای فشارشی وابستگی نزدیک دارند بصورت ساختمانهای تاقدیس و ساختمانهای ناویدیس با محور مایل که در بخش شمال غربی منطقه قرار دارند، یافت می‌شوند.

۱-۷- اطلاعات ژئوفیزیک هوایی

بزرگ مقیاس ترین نقشه ژئوفیزیک موجود از محدوده اراک دو مربوط به نقشه ژئوفیزیک هوایی ۱:۲۵۰۰۰۰۰ قم است که محدوده مورد نظر در بخش جنوبی نقشه واقع شده است. در شکل ۳-۱ موقعیت منطقه مطالعاتی نسبت به نقشه ۱:۲۵۰۰۰۰ قم نشان داده شده است. همانطور که ملاحظه می‌شود در منطقه مطالعاتی "اراک ۲" هیچ پدیده زمین‌شناسی مستخرج از نقشه مذکور مشاهده نمی‌شود.



شکل ۱-۳: نقشه ژئوفیزیک هوایی ۱:۲۵۰۰۰۰ منطقه و موقعیت نسبی منطقه مطالعاتی

۱-۸-۱- اطلاعات ماهواره‌ای

در ارتباط با اطلاعات ماهواره‌ای تصویر ماهواره‌ای به دست آمده با استفاده از نرم افزار گوگل ارث جهت نمایش وضعیت منطقه مطالعاتی در شکل (۴-۱) ارائه شده است که به خوبی وضعیت مورفولوژی و زمین‌شناسی و راه‌های دسترسی منطقه در آن مشخص است. بر اساس این شکل عمدۀ منطقه تحت پوشش اراک کوهستانی است که رخمنون‌های سنگی دارد و تنها در دره سنجان مناطق آبرفتی دیده می‌شود. رنگهای کرم روشن که بیشتر سطح منطقه را پوشانده است سنگ آهک و اسلیت آهکی است که در تصویر به خوبی مشخص است. رنگهای سبز تیره در دره سنجان مربوط به مناطق آبرفتی است که پوشیده از مزارع می‌باشد و در شکل به خوبی نمایان است. همچنین مسیر آبراهه‌ها و دره‌ها نیز در این تصویر دیده می‌شود.





فصل دوم

اکتشافات ژئوشیمیایی



۲-۱-۲- اکتشافات ژئوشیمیایی

۲-۱-۲- روش نمونهبرداری و اهداف آن (بند ۳-۲ شرح خدمات)

با در نظر گرفتن وسعت منطقه مطالعاتی روش مناسب جهت عملیات اکتشافی روش نمونهبرداری در این پروژه نمونهبرداری از رسوبات آبراهه‌ای میباشد. از آنجاییکه ماهیت این روش و به طبع آن نمونه‌های برداشت شده به گونه‌ای است که نمایانگر و نماینده رسوبات و محصولات هوازدگی و دگرسانی حوضه بالادست خود میباشد لذا با استفاده از این روش می‌توان ارزیابی مناسبی از حوضه‌های آبریز بالادست هر نمونه به لحاظ پتانسیل کانی‌سازی بدست آورد. البته با توجه به امکان تغییرپذیری قطر ذرات در مسیر انتقال رسوبات و همچنین پیدایش کانه‌های محلول جامد عناصر مختلف نمونهبرداری کانی‌سنگین نیز لازم است در دستور کار قرار گیرد. در واقع این دو روش نمونهبرداری بعنوان دو روش مستقل در کنار یکدیگر باعث خواهند شد تا از این طریق در سطح اعتماد بالاتری اقدام به معرفی محدوده‌های ناهنجار مرتبط با کانی‌سازی‌های احتمالی نمود. البته در این بین طراحی مناسب شبکه نمونهبرداری، تعیین محل مناسب جهت نمونهبرداری در صحراء، انتخاب سایز مناسب نمونه و میزان دقت در برداشت نمونه همگی مواردی است که در نتیجه کار نقش به سزایی خواهند داشت. همانطور که پیشتر نیز بدان اشاره شد هدف از این پروژه و برداشت نمونه‌های مذکور تعیین محدوده‌های ناهنجار مرتبط با کانی‌سازی‌های محتمل و محدودتر کردن منطقه مطالعاتی جهت اجراء مطالعات تفصیلی میباشد.

۲-۲- طراحی شبکه نمونه برداری و نحوه نمونه برداری و کدگذاری نمونه ها

بر اساس چگالی تعیین شده در بند ۳-۲ شرح خدمات عملیات اکتشاف ژئوشیمیایی در مقیاس ۱:۲۵۰۰۰ لازم است در فاز اول نمونه برداری به ازای هر کیلومتر مربع پنج نمونه رسوب آبراهه‌ای و دو نمونه کانی سنگین برداشت شود. در این پروژه نیز سعی بر این بوده است که در کنار رعایت این مساله در مناطق مهم چگالی نمونه برداری افزایش پیدا کند. بدین منظور سعی شد تا عوارض مهم زمین شناسی و ژئوفیزیکی مانند توده‌های نفوذی رخمنون‌دار، توده‌های نفوذی نیمه عمیق، گسل‌ها، آثار دگرسانی و کانی‌سازی بر روی نقشه توپوگرافی ۱:۲۵۰۰۰ مشخص شده و در اطراف این عوارض چگالی نمونه‌برداری افزایش داده شود. جهت طراحی شبکه نمونه‌برداری



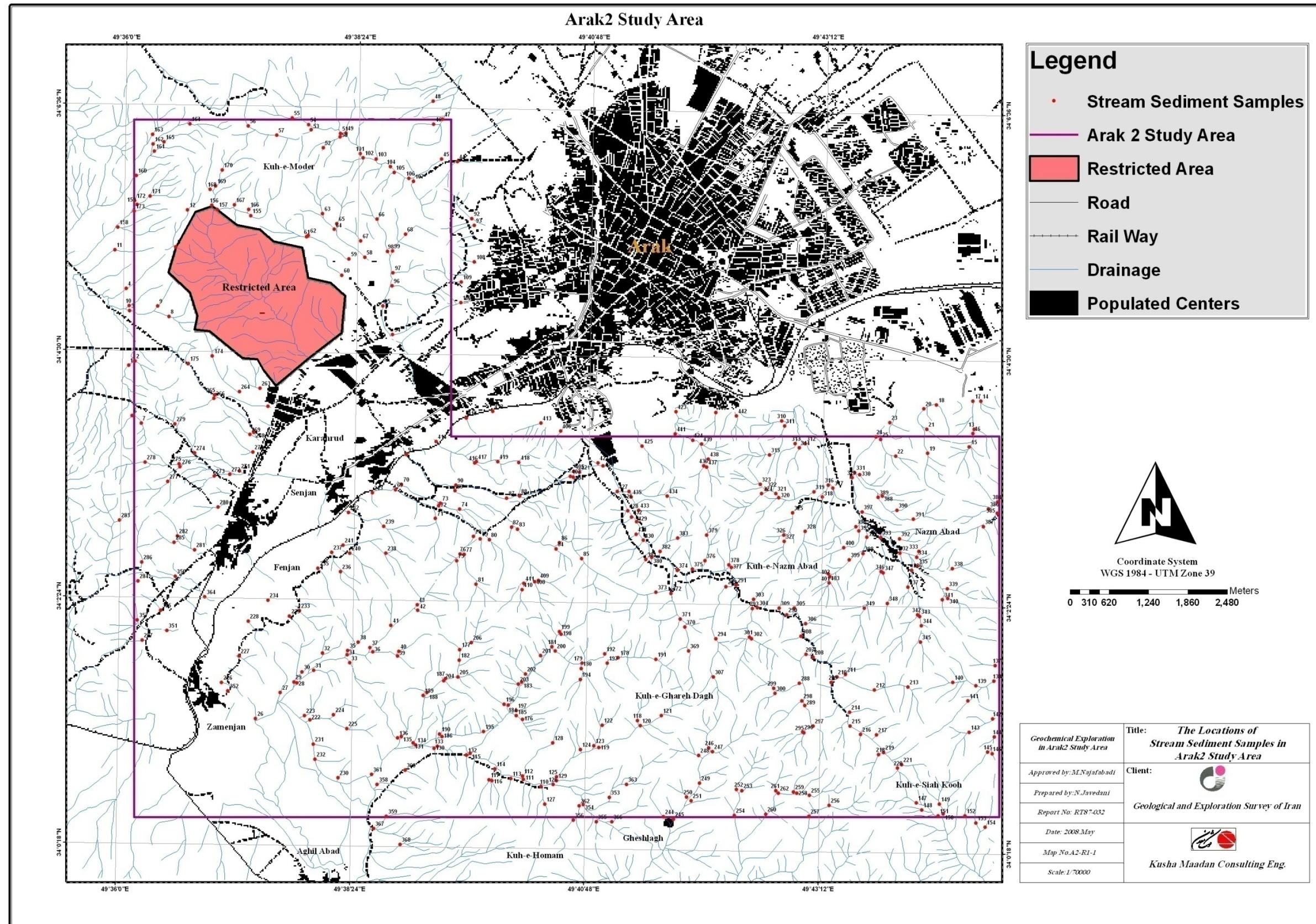
و پیاده‌سازی تعداد نمونه‌های محاسبه شده از الگوریتم مرکز ثقل استفاده گردید. با توجه به مسائل مطرح شده فوق نقشه نمونه‌برداری اولیه تهیه گردید که شامل ۴۴۹ نمونه رسوب آبراهه‌ای می‌باشد. این نقشه برای تایید در اختیار ناظر محترم قرار گرفت و پس از تغییرات و تایید نهایی به اجراء گذاشته شد.

پس از انجام مراحل طراحی، یک اکیپ نمونه برداری شامل ۸ نفر کارشناس اکتشاف معدن بعنوان نمونه بردار، یک نفر کارشناس ارشد اکتشاف با ۱۲ سال سابقه بعنوان سرپرست نمونه برداری و یک نفر کمپ گردان در شهر اراک مستقر گردید که طی یک هفته عملیات نمونه‌برداری را زیر نظر ناظر محترم پروژه به اتمام رسانده است. تمامی مراحل مربوط به عملیات نمونه‌برداری منطبق بر شرح خدمات، نظرات ناظر پروژه و دستورالعمل‌های استاندارد نمونه‌برداری انجام گرفته است. نحوه کد گزاری نمونه‌ها نیز به شرح ذیل انجام شده است:

کلیه نمونه‌ها دارای یک شماره منحصر به فرد بوده که شامل سه کد می‌باشد.

- کد اول معرف نام محل انجام پروژه است که برای کلیه نمونه‌ها (A2) در نظر گرفته شده است.
 - کد دوم معرف شماره محل نمونه‌برداری که در فاز طراحی تعیین و به همراه مختصات مربوطه در اختیار کارشناسان نمونه‌بردار قرار گرفته است.
 - کد سوم معرف نوع نمونه برداشت شده است. برای مشخص کردن نمونه‌های ژئوشیمی از کد (G)
- استفاده شده است. به طور مثال شماره نمونه A2-112-G معرف نمونه ژئوشیمی در محل شماره ۱۱۲ در منطقه اراک ۲ می‌باشد.

در اجراء عملیات نمونه‌برداری بعلت قرار گرفتن برخی از نمونه‌های طراحی شده اولیه در محدوده‌های تحت تملک ارگان‌های دولتی امکان برداشت آنها وجود نداشت. (این بخش برنگ قرمز و تحت عنوان منطقه منع‌الورود در نقشه‌های نمونه‌برداری و تخمینی آورده شده است) با توجه به مشکل پیش آمده و پس از اتمام عملیات نمونه‌برداری در مجموع ۴۴۲ نمونه ژئوشیمی در این فاز برداشت گردید. محل برداشت نمونه‌های نهایی عملیات نمونه‌برداری در شکل (۱-۲) تحت عنوان نقشه A2-R1-1 نشان داده شده است. شماره و مختصات محل برداشت ژئوشیمی در شکل (۱-۲) تحت عنوان نقشه A2-R1-1 نشان داده شده است. نمونه‌های ژئوشیمیایی نیز در جدول شماره (۱-۲) در بخش پیوست گزارش ارائه شده است.



شکل (۱-۲) : نقشه توزیع محل ۴۴۲ نمونه زوئیمیابی برداشت شده در منطقه مطالعاتی



۳-۲- نحوه آماده سازی نمونه های ژئوشیمیایی (موضوع بند ۳-۳ شرح خدمات)

کلیه نمونه های ژئوشیمیایی در کمپ کنترل و به لحاظ حجم نمونه، صحبت بسته بندی و شماره نمونه کنترل شده و پس از کنترل بر اساس لیست نمونه برداری در بسته بندی های مناسب به تهران حمل شده است. پس از حمل نمونه ها به تهران کلیه نمونه ها با لیست تایپ شده و به صورت تک به تک به نماینده محترم آزمایشگاه زرآزمایی تحویل داده شده است. کلیه نمونه های ژئوشیمیایی تحت خردایش قرار گرفته تا به ۲۰۰-مش خرد شوند و سپس برای آنالیز مورد استفاده قرار گیرند. کلیه نمونه های کانی سنگین پس از گل شویی و لاوک شویی و برموفرم گیری به سه بخش فرو مغناطیسی، پارا مغناطیسی و غیر مغناطیسی تقسیم تا مورد مطالعه قرار گیرند.

۴-۲- بررسی روش آنالیز و تجزیه و تحلیل دقت و صحت داده ها (موضوع بند ۳-۳ و ۳-۴ شرح خدمات)

روش آنالیز انتخاب شده نیز بر طبق شرح خدمات میباشد بطوریکه نمونه های ژئوشیمیایی برداشت شده تحت آنالیز ۴۳ عنصری بروش ICP-MS قرار گرفتند. اندازه گیری عنصر طلا با استفاده از روش F.A. به انجام رسیده است. نتایج آنالیز در جدول شماره (۲-۲) در بخش پیوست و بصورت یک فایل رقومی در CD ضمیمه آورده شده است. به منظور تعیین میزان خطای آنالیز دستگاهی اقدام به تهیه ۳۰ نمونه تکراری از ۳۰ نمونه اصلی که بصورت اتفاقی انتخاب شده است گردید. برای تعیین خطای اندازه گیری آنالیزهای شیمیایی طبق بند ۳-۳ شرح خدمات اقدام به تقسیم ۳۰ نمونه خردایش شده زیر ۲۰۰ مش (تحت دیگر شرایط یکسان) به دو جزء یکسانو سپس اختصاص کد رمزی گردید. این نمونه ها بطور همزمان با نمونه های اصلی در اختیار آزمایشگاه قرار گرفت. برای محاسبه خطای لازم است تا داده های حاصل شده از دوبار آزمایش برای عناصر مختلف موجود باشد. میانگین دو آزمایش و اختلاف آنها نیز لازم است تعیین گردد. همان طور که قبل اشاره شد در بررسی های اکتشافی ناحیه ای آنچه حائز اهمیت است تعیین دقت عملیات است که در واقع همان قابلیت تکرار آزمایش با نتایج مشابه است. صحت اندازه گیری ها که مقدار تطابق آنها را با واقعیت نشان می دهد و از طریق به کار گیری نمونه های استاندارد



با غلظت معین تعیین می شود، در شرح خدمات این پروژه مدنظر نبوده است. البته آزمایشگاهها از چنین نمونه‌هایی در جهت کنترل کیفیت کار خود استفاده می‌کنند. روش به کاربرده شده در تخمین سطح خطای آنالیزهای شیمیایی در زیر تشریح می‌گردد. در این روش در یک دستگاه مختصات لگاریتمی، روی محور افقی میانگین دوبار اندازه گیری و روی محور عمودی اختلاف دو مقدار اندازه گیری شده نشان داده می شود. جدول (۳-۲) که در بخش پیوست گزارش ارائه شده است، این مقادیر را برای کلیه عناصر بجز عنصر بر که فاقد داده می باشد، نشان می دهد. در این دیاگرام خطوط مایلی دیده می شود که می‌توانند سطح دقیق دلخواه را (که در این پروژه معادل ۱۰٪ انتخاب شده است) نشان دهند. نحوه کار به این صورت است که به وسیله دو کمیت تشریح شده قبلی هر جفت نمونه تکراری طوری در صفحه مختصات توزیع شوند که اگر ۹۰٪ آنها زیر خط پایینی (خط ۱۰٪ خط) و ۹۹٪ آنها زیر خط بالایی (خط ۱٪ خط) قرار گیرند، در این صورت خطای کل این مجموعه نمونه تکراری برای آن عنصر خاص ۱۰٪ ارزیابی می شود که خطای قابل قبول و مجاز در امور اکتشافی است. بنابراین برای هر عنصر (جز B و Te) که اولی بعلت عدم وجود داده و دومی بعلت ناکافی بودن تعداد داده از این آنالیز حذف شدند) باید دیاگرام جداگانه‌ای رسم گردد. اشکال (۲-۲) تا (۴۳-۲) که در بخش پیوست گزارش ارائه شده است، به این منظور رسم شده‌اند. لازم به ذکر است که در مورد عناصر Al, Au Be, Bi, Ca, Cd, Fe, Hg, Sc میانگین و اختلاف دو مقدار اندازه گیری شده همه نمونه‌ها درون دیاگرامها قرار نمی‌گرفتند مقادیر این عناصر به ترتیب زیر با دیاگرام هم مقیاس شدند: مقادیر اندازه گیری شده عناصر Al, Au, Be, Bi, Ca, Cd, Fe, Sc Mg, Sb, Y در عدد ۱۰، مقادیر اندازه گیری شده عناصر Ag, K, Hg, Na, P, Ti, Tl در عدد ۱۰۰ ضرب و مقادیر اندازه گیری شده عناصر Mn, S بر عدد ۱۰ تقسیم شده‌اند. این محاسبات دلالت بر آن دارد که خطای آنالیز عناصر در حد قابل قبول ۱۰٪ است.



۲-۵-۱-پردازش داده‌های سنسورد

بعد از انجام آنالیز نمونه‌ها، داده‌های مربوطه برای ۴۴۲ نمونه ژئوشیمی برداشت شده بصورت رقومی و تحت فرمت نرم‌افزار Excel به این مشاور تحویل داده شد. در جدول (۴-۲) عناصر آنالیز شده به همراه حد حساسیت اندازه‌گیری آورده شده است.

۲-۵-۲-بررسی آماری آماری (موضوع بند ۳-۶ شرح خدمات)

از آنجاییکه وجود مقادیر سنسورد (مقادیر کمتر و یا بیشتر از حد حساسیت اندازه‌گیری آزمایشگاه) در پردازش‌های آماری ایجاد اشکال می‌نماید لذا می‌بایست با بکار بردن روش‌های مشخص نسبت به خنثی کردن اثر منفی این داده‌ها در پردازش‌های آماری اقدام گردد. در این پژوهه از روش جایگزین کردن داده‌های سنسورد توسط $\frac{3}{4}$ مقدار حد حساسیت استفاده شده است. تعداد نمونه‌های سنسورد برای هر نمونه در جدول (۴-۲) آورده شده است. با توجه به جدول زیر میتوان دریافت که اکثر قریب به اتفاق داده‌های مربوط به عناصر B و Te سنسورد می‌باشند که البته در مورد عنصر B تمام نمونه‌ها را شامل می‌شود. با در نظر گرفتن موارد فوق و مشکلاتی که این عناصر میتوانند در تجزیه و تحلیلهای بعدی ایجاد کنند لذا این دو نمونه و داده‌های مربوطه از تحلیلهای بعدی حذف می‌شود.

۲-۵-۳-بررسی آماری تک متغیره

۲-۵-۱-محاسبه پارامترهای آماری و ترسیم نمودارهای آماری

تمامی داده‌های خام پس از جایگزینی مقادیر سنسورد توسط مقادیر محاسبه شده مجدداً مورد فابل‌بندی در نرم‌افزارهای SPSS و Excel قرار می‌گیرند تا پردازش‌های آماری مناسب بر روی آنها انجام پذیرد. بدین منظور اقدام به ترسیم نمودارهای هیستوگرام، Box Plot و P-P، Q-Q گردید. نتایج حاصل طی اشکال (۴۴-۲) تا (۸۵-۲) در بخش پیوست آورده شده است. اطلاعات مربوط به ۱۳ پارامتر آماری محاسبه شده برای ۴۲ عنصر مورد مطالعه در جدول (۵-۲) آورده شده است. پارامترهای آماری امده در این جدول شامل تعداد نمونه‌های



جدول (۴-۲): عناصر آفالیز شده در این پروژه به همراه واحد و حد قابل ثبت هر عنصر و تعداد نمونه های سنسور د آن

| Element | Detection Limit | Unit | Censored Number | Replacing Value | Element | Detection Limit | Unit | Censored Number | Replacing Value |
|---------|-----------------|------|-----------------|-----------------|---------|-----------------|------|-----------------|-----------------|
| Ag | 0.01 | ppm | 3 | 0.0075 | Mo | 0.1 | ppm | 3 | 0.075 |
| Al | 10 | ppm | 0 | - | Na | 10 | ppm | 0 | - |
| As | 0.5 | ppm | 0 | - | Nb | 0.5 | ppm | 0 | - |
| Au | 1 | ppb | 167 | 0.75 | Ni | 2 | ppm | 0 | - |
| B | 0.5 | ppm | 442 | 0.375 | P | 5 | ppm | 0 | - |
| Ba | 0.2 | ppm | 0 | - | Pb | 0.2 | ppm | 1 | 0.15 |
| Be | 0.2 | ppm | 0 | - | Rb | 0.1 | ppm | 0 | - |
| Bi | 0.1 | ppm | 0 | - | S | 50 | ppm | 0 | - |
| Ca | 10 | ppm | 0 | - | Sb | 0.1 | ppm | 0 | - |
| Cd | 0.1 | ppm | 0 | - | Sc | 1 | ppm | 0 | - |
| Ce | 0.5 | ppm | 0 | - | Sn | 0.2 | ppm | 0 | - |
| Co | 0.2 | ppm | 0 | - | Sr | 0.1 | ppm | 0 | - |
| Cr | 2 | ppm | 0 | - | Te | 0.2 | ppm | 425 | 0.15 |
| Cs | 0.1 | ppm | 0 | - | Th | 0.02 | ppm | 0 | - |
| Cu | 0.2 | ppm | 0 | - | Ti | 10 | ppm | 0 | - |
| Fe | 100 | ppm | 0 | - | Tl | 0.1 | ppm | 0 | - |
| Hg | 0.05 | ppm | 134 | 0.0375 | U | 0.02 | ppm | 0 | - |
| K | 10 | ppm | 0 | - | V | 2 | ppm | 0 | - |
| La | 10 | ppm | 0 | - | W | 0.1 | ppm | 1 | 0.075 |
| Li | 0.5 | ppm | 0 | - | Y | 0.05 | ppm | 0 | - |
| Mg | 10 | ppm | 0 | - | Zn | 0.2 | ppm | 0 | - |
| Mn | 2 | ppm | 0 | - | Zr | 5 | ppm | 0 | - |

معتبر بکار رفته در تحلیل، تعداد نمونه های حذف شده از تحلیل، مقدار میانگین، میانه، مد، انحراف معیار، چولگی، کشیدگی، کمینه، بیشینه و مقادیر نظیر ۲۵٪، ۵۰٪ و ۷۵٪ فراوانی آورده شده است. از آنجاییکه مقدار ۵۰٪ فراوانی معادل مقدار میانه میباشد لذا میتوان گفت که در این جدول ۱۲ پارامتر آماری محاسبه شده است. جهت تعیین عناصر پر پتانسیل و ناهنجار در منطقه در پردازشها تک متغیره از شکل تابع و مقادیر مربوط به پارامترهای بیشینه و چولگی استفاده شده است. بدین ترتیب عناصر Cu، Pb و P با چولگی بالای ۱۰ و مقدار بیشینه بیش از چند ده تا چند صد برابر مقدار زمینه در درجه اول اهمیت قرار میگیرد. عناصری نظیر Cd و Sb با چولگی بالای ۷ مقادیر بیشینه حدود چند ده برابر مقدار زمینه در درجه دوم اهمیت قرار میگیرند. با کمی اغماس میتوان عناصر Au و S را با چولگی ۶/۴۲ و ۶/۶۵ نیز در این گروه طبقه بندی کرد. در این میان عنصر مس با چولگی



بالای ۲۰ و مقدار بیشینه ۴۵۰۰ ppm میتواند از اهمیت اکتشافی ویژه‌ای در منطقه برخوردار باشد. عناصر دیگر دارای اهمیت اکتشافی خاصی نبوده و ناهنجاریهای آن صرفا در ارتباط با چند نمونه با مقادیر خارج از رده میباشد. با توجه به هیستوگرامهای ترسیم شده در اشکال (۴۴-۲) تا (۸۵-۲) میتوان عناصر مورد مطالعه را بر اساس تابع

توزیع آنها در چند دسته زیر ردیابی کرد:

الف- توزیع نزدیک به L برای عناصر Pb، Cu، Au، P و

ب- توزیع نزدیک به لاغرمال برای عناصر Mn، La، Hg، Cs، Cr، Ce، Cd، As، Ag

. Zn و W، Tl، Ti، Th، Sr، Sn، Sb، S، Nb، Na

ج- توزیع نزدیک به نرمال برای عناصر Mo، Mg، Li، K، Fe، Co، Ca، Bi، Ba، Al

. Zr، Y، V، U، Sc، Rb، Ni

د- توزیع نزدیک به دو جامعه‌ای نرمال برای عنصر Be

لازم به تذکر است که در این پروژه برای کم کردن اثر مولفه‌های سنگ‌ساز اقدام به محاسبه مقادیر E_i شده

است. از این داده‌ها در بخش تحلیلهای چند متغیره و ترسیم نقشه‌های عنصری و فاکتوری استفاده شده است.



جدول (۵-۲) : پارامترهای آماری محاسبه شده بر اساس داده های خام در منطقه مطالعه

| | | Variable | Ag | Al | As | Au | Ba | Be | Bi | Ca | Cd | Ce | Co |
|--------------------|-------------------------------|-----------------|-----------|-----------|-----------|-----------|-----------|-----------|------------|-----------|-----------|-----------|-----------|
| N | Valid | 442 | 442 | 442 | 442 | 442 | 442 | 442 | 442 | 442 | 442 | 442 | 442 |
| | Missing | 0 | 0 | 0 | 0 | 0 | 0 | 0 | 0 | 0 | 0 | 0 | 0 |
| | Mean | 0.21 | 76600 | 12 | 1.52 | 346 | 1.67 | 0.30 | 77043 | 0.24 | 116.38 | 17.9 | |
| | Median | 0.14 | 77050 | 10.85 | 1 | 341 | 1.5 | 0.3 | 78000 | 0.2 | 95.8 | 17.1 | |
| | Mode | 0.1 | 81000 | 8.1 | 0 | 318 | 1.2 | 0.3 | 116000 | 0.2 | 127 | 16.6 | |
| | Std. Deviation | 0.2 | 10721.7 | 4.8 | 3.1 | 66 | 0.54 | 0.11 | 37894 | 0.12 | 81.47 | 3.96 | |
| | Variance | 0.0 | 114954172 | 22.6 | 9.4 | 4307 | 0.30 | 0.01 | 1435958900 | 0.01 | 6637.44 | 15.70 | |
| | Skewness | 2.12 | -0.04 | 0.92 | 6.42 | 0.94 | 0.78 | 2.95 | 0.14 | 7.75 | 5.06 | 1.20 | |
| | Std. Error of Skewness | 0.12 | 0.12 | 0.12 | 0.12 | 0.12 | 0.12 | 0.12 | 0.12 | 0.12 | 0.12 | 0.12 | |
| | Kurtosis | 8.14 | 0.27 | 0.34 | 55.5 | 3.14 | 0.10 | 22.50 | -0.36 | 94.37 | 34.92 | 2.40 | |
| | Std. Error of Kurtosis | 0.23 | 0.23 | 0.23 | 0.23 | 0.23 | 0.23 | 0.23 | 0.23 | 0.23 | 0.23 | 0.23 | |
| Percentiles | Minimum | 0 | 40200 | 4.8 | 0 | 184 | 0.7 | 0.1 | 8080 | 0.1 | 43.7 | 8.5 | |
| | Maximum | 1.44 | 113000 | 29.2 | 37 | 711 | 3.6 | 1.4 | 191000 | 1.9 | 914 | 36.2 | |
| | 25 | 0.08 | 69600 | 8.3 | 0 | 302.5 | 1.2 | 0.2 | 48200 | 0.2 | 78.825 | 15.3 | |
| | 50 | 0.14 | 77050 | 10.85 | 1 | 341 | 1.5 | 0.3 | 78000 | 0.2 | 95.8 | 17.1 | |
| | 75 | 0.32 | 84100 | 15.2 | 2 | 383.25 | 2.025 | 0.3 | 103000 | 0.3 | 128 | 19.925 | |
| | | Variable | Cr | Cs | Cu | Fe | Hg | K | La | Li | Mg | Mn | Mo |
| N | Valid | 442 | 442 | 442 | 442 | 442 | 442 | 442 | 442 | 442 | 442 | 442 | 442 |
| | Missing | 0 | 0 | 0 | 0 | 0 | 0 | 0 | 0 | 0 | 0 | 0 | 0 |
| | Mean | 89.34 | 6.09 | 39.39 | 41532 | 0.06 | 17351 | 57.19 | 49.52 | 15030 | 880 | 0.84 | |
| | Median | 86 | 6 | 27.8 | 41200 | 0.06 | 17600 | 47 | 50.1 | 14950 | 834 | 0.8 | |
| | Mode | 79 | 6.1 | 26.4 | 43700 | 0 | 18600 | 43 | 52.6 | 14900 | 1000 | 0.7 | |
| | Std. Deviation | 26.17 | 1.01 | 214 | 6721 | 0.06 | 2858 | 41.45 | 8.89 | 2236 | 220 | 0.34 | |
| | Variance | 684.90 | 1.01 | 45710 | 45175375 | 0.00 | 8170701 | 1718 | 79 | 4997893 | 48357 | 0.11 | |
| | Skewness | 1.32 | 1.01 | 20.70 | 0.62 | 1.80 | -0.14 | 4.94 | -0.19 | 0.63 | 0.87 | 0.69 | |
| | Std. Error of Skewness | 0.12 | 0.12 | 0.12 | 0.12 | 0.12 | 0.12 | 0.12 | 0.12 | 0.12 | 0.12 | 0.12 | |
| | Kurtosis | 3.47 | 3.76 | 432.54 | 1.88 | 7.50 | -0.25 | 33.19 | 0.17 | 2.22 | 0.78 | 1.61 | |
| | Std. Error of Kurtosis | 0.23 | 0.23 | 0.23 | 0.23 | 0.23 | 0.23 | 0.23 | 0.23 | 0.23 | 0.23 | 0.23 | |
| Percentiles | Minimum | 43 | 2.7 | 3.3 | 22000 | 0 | 7220 | 21 | 23.1 | 9470 | 379 | 0 | |
| | Maximum | 227 | 12.4 | 4500 | 81000 | 0.4 | 25600 | 432 | 75.6 | 26800 | 1790 | 2.4 | |
| | 25 | 72 | 5.4 | 23 | 36600 | 0 | 15300 | 38 | 44.075 | 13600 | 727 | 0.6 | |
| | 50 | 86 | 6 | 27.8 | 41200 | 0.06 | 17600 | 47 | 50.1 | 14950 | 834 | 0.8 | |
| | 75 | 101 | 6.7 | 33.825 | 46100 | 0.08 | 19400 | 63 | 55.15 | 16300 | 1010 | 1 | |



جدول (۲-۵) : پارامترهای آماری محاسبه شده بر اساس داده های خام در مقطعه مطالعه (ادامه)

| | | Variable | Na | Nb | Ni | P | Pb | Rb | S | Sb | Sc | Sn |
|--------------------|-------------------------------|-----------------|-----------|-----------|-----------|-----------|-----------|-----------|----------|-----------|-----------|-----------|
| N | | Valid | 442 | 442 | 442 | 442 | 442 | 442 | 442 | 442 | 442 | 442 |
| | Missing | 0 | 0 | 0 | 0 | 0 | 0 | 0 | 0 | 0 | 0 | 0 |
| | Mean | 9369 | 8.56 | 63.62 | 763 | 29.13 | 90.61 | 732 | 0.77 | 14.35 | 2.33 | |
| | Median | 9430 | 8.3 | 62 | 721 | 25.15 | 93.55 | 630 | 0.7 | 14 | 2.2 | |
| | Mode | 10200 | 8 | 51 | 674 | 28.9 | 106 | 590 | 0.7 | 14 | 2.1 | |
| | Std. Deviation | 1907 | 2.63 | 16.21 | 439 | 45 | 19 | 513 | 0.42 | 2.58 | 0.63 | |
| | Variance | 3636144 | 6.92 | 262.81 | 192406 | 2055 | 378 | 263225 | 0.18 | 6.67 | 0.39 | |
| | Skewness | 1.47 | 1.76 | 0.99 | 16.89 | 17.36 | -0.23 | 4.65 | 9.68 | 0.19 | 4.97 | |
| | Std. Error of Skewness | 0.12 | 0.12 | 0.12 | 0.12 | 0.12 | 0.12 | 0.12 | 0.12 | 0.12 | 0.12 | |
| | Kurtosis | 12.90 | 8.87 | 2.78 | 327 | 333 | -0.62 | 34.16 | 144 | -0.14 | 44.45 | |
| | Std. Error of Kurtosis | 0.23 | 0.23 | 0.23 | 0.23 | 0.23 | 0.23 | 0.23 | 0.23 | 0.23 | 0.23 | |
| Percentiles | Minimum | 4250 | 3 | 31 | 381 | 0 | 42 | 140 | 0.2 | 7 | 1.4 | |
| | Maximum | 26100 | 29 | 162 | 9300 | 914 | 150 | 6010 | 7.4 | 23 | 9.2 | |
| | 25 | 8210 | 6.9 | 51 | 640.25 | 20.5 | 74.65 | 477.5 | 0.6 | 12 | 2 | |
| Percentiles | 50 | 9430 | 8.3 | 62 | 721 | 25.15 | 93.55 | 630 | 0.7 | 14 | 2.2 | |
| | 75 | 10500 | 9.9 | 73 | 825.25 | 31.7 | 105 | 840 | 0.9 | 16 | 2.5 | |
| | | Variable | Sr | Th | Ti | Tl | U | V | W | Y | Zn | Zr |
| N | | Valid | 442 | 442 | 442 | 442 | 442 | 442 | 442 | 442 | 442 | 442 |
| | Missing | 0 | 0 | 0 | 0 | 0 | 0 | 0 | 0 | 0 | 0 | 0 |
| | Mean | 241 | 10.26 | 3930 | 0.47 | 1.56 | 113.35 | 1.19 | 18.21 | 112 | 73 | |
| | Median | 229 | 9.87 | 3790 | 0.5 | 1.55 | 111 | 1.1 | 17.95 | 108 | 73 | |
| | Mode | 232 | 10.2 | 3120 | 0.5 | 1.5 | 99 | 0.9 | 17.4 | 103 | 74 | |
| | Std. Deviation | 93 | 2.40 | 918 | 0.07 | 0.21 | 21 | 0.60 | 2.36 | 27 | 9.92 | |
| | Variance | 8658 | 5.78 | 843476 | 0.00 | 0.04 | 425 | 0.35 | 5.58 | 749 | 98 | |
| | Skewness | 0.74 | 3.00 | 0.78 | 0.15 | 0.58 | 0.49 | 1.00 | 0.84 | 3.07 | 0.05 | |
| | Std. Error of Skewness | 0.12 | 0.12 | 0.12 | 0.12 | 0.12 | 0.12 | 0.12 | 0.12 | 0.12 | 0.12 | |
| | Kurtosis | 0.28 | 17.26 | 0.68 | 0.58 | 1.25 | 0.39 | 1.56 | 2.55 | 22.61 | -0.43 | |
| | Std. Error of Kurtosis | 0.23 | 0.23 | 0.23 | 0.23 | 0.23 | 0.23 | 0.23 | 0.23 | 0.23 | 0.23 | |
| Percentiles | Minimum | 93.6 | 5.29 | 1920 | 0.2 | 1.02 | 58 | 0 | 9 | 57.2 | 47 | |
| | Maximum | 563 | 30.9 | 7420 | 0.7 | 2.43 | 204 | 4.2 | 28.7 | 373 | 98 | |
| | 25 | 171 | 8.92 | 3240 | 0.4 | 1.4 | 99 | 0.8 | 16.5 | 93.875 | 66 | |
| | 50 | 229 | 9.87 | 3790 | 0.5 | 1.55 | 111 | 1.1 | 17.95 | 108 | 73 | |
| | 75 | 299 | 11 | 4440 | 0.5 | 1.68 | 127 | 1.5 | 19.425 | 124 | 81 | |



۲-۵-۲- جدایش ناهنجاریها

۲-۵-۱- جدایش ناهنجاریها با روش $X + S$

ساده‌ترین روش برای جداسازی جوامع ناهنجار از جامعه کل در پروژه‌های اکتشافی استفاده از پارامترهای آماری تک‌متغیره می‌باشد. در این روش ابتدا مقادیر میانگین و انحراف‌معیار جامعه بدون در نظر گرفتن مقادیر خارج از رده محاسبه و سپس حدود چهارگانه زیر جهت تعیین مقادیر ناهنجار و حدود زمینه، آستانه‌ای و ناهنجاری بکار می‌روند:

- مقدار \bar{X} بعنوان حد زمینه.
- مقدار $X + S$ بعنوان حد زمینه محلی.
- مقدار $X + 2S$ بعنوان حد آستانه‌ای.
- مقدار $X + 3S$ بعنوان حد آنومالی.

همانطور که گفته شد این روش ساده‌ترین روش جداسازی ناهنجاریها در مطالعات ژئوشیمیایی است که فرض نرمال بودن داده‌ها باید در آن صادق باشد. از آنجاییکه تعیین دقیق مقادیر فوق بعلت مشکلات تبدیل تابع توزیع چندان میسر نبوده و این مقادیر معمولاً با خطأ همراه می‌باشند لذا بجای استفاده از این روابط و محاسبه مقادیر چهارگانه فوق میتوان فراوانیهای متناظر هرکدام از این حدود چهارگانه را بصورت مقادیر معادل $\%50$ ، $\%84$ ، $\%95$ و $\%99$ تابع توزیع استفاده کرد. حدود چهارگانه جدید که بدون در نظر گرفتن پارامترهای آماری محاسبه می‌شوند حدود ناپارامتری خوانده می‌شوند.

در صورتیکه هدف ترسیم نقشه‌هایی باشد که در آن هر نمونه بصورت مجزا در نظر گرفته شود و رابطه فضایی مشخصی با نمونه‌های اطراف خود نداشته باشد، محاسبه حدود پارامتری و ناپارامتری فوق میتواند بسیار مناسب باشند ولی اگر هدف ترسیم نقشه‌هایی است که در آن رابطه فضایی نمونه‌ها با یکدیگر در نظر گرفته شود بنابراین بهتر است تا از مقادیر تخمینی جدید که در نتیجه اعمال روابط فضایی نمونه‌ها حاصل شده است برای محاسبه حدود فوق استفاده گردد. در این گزارش نیز چون از روش تخمین شبکه‌ای برای ترسیم نقشه‌ها و نمایش



رابطه فضایی نمونه‌ها استفاده شده است لذا از مقادیر تخمین خورده برای محاسبه حدود چهارگانه فوق استفاده شده است. جدول (۲-۶) حدود تفکیکی ناهنجاریها را بر اساس مقایر تخمین خورده نشان میدهد.

جدول (۲-۶): حدود جداش زمینه، حد آستانه‌ای و آنومال بکار رفته در ترسیم نقشه‌های تک عنصری

| Row | Element | Background | Local Background | Threshold | Possible Anomaly | Row | Element | Background | Local Background | Threshold | Possible Anomaly |
|-----|---------|------------|------------------|-----------|------------------|-----|---------|------------|------------------|-----------|------------------|
| 1 | Ag | 0.17 | 0.37 | 0.54 | 0.64 | 22 | Mo | 0.77 | 1 | 1.36 | 1.49 |
| 2 | Al | 74811.04 | 82553.07 | 92053.39 | 96470.09 | 23 | Na | 9326.83 | 10415.64 | 12121.24 | 13468.75 |
| 3 | As | 11.49 | 16.73 | 21.46 | 21.89 | 24 | Nb | 7.85 | 10.10 | 14.10 | 16.13 |
| 4 | Au | 1 | 2.48 | 6.01 | 12.96 | 25 | Ni | 58.53 | 71 | 90.17 | 98 |
| 5 | Ba | 326.30 | 373.34 | 449 | 552.00 | 26 | P | 723.48 | 836.49 | 1160 | 1760 |
| 6 | Be | 1.40 | 2.04 | 2.53 | 2.75 | 27 | Pb | 26.02 | 33.60 | 51.21 | 66.86 |
| 7 | Bi | 0.30 | 0.37 | 0.50 | 0.60 | 28 | Rb | 87.71 | 101.54 | 113.31 | 118 |
| 8 | Ca | 86520.42 | 115029.63 | 149015.48 | 162548.50 | 29 | S | 736.64 | 1008.54 | 1557.77 | 1860 |
| 9 | Cd | 0.20 | 0.29 | 0.40 | 0.56 | 30 | Sb | 0.74 | 1.02 | 2.33 | 2.97 |
| 10 | Ce | 108.58 | 146.05 | 392.24 | 508.00 | 31 | Sc | 13.64 | 15.90 | 18 | 19.00 |
| 11 | Co | 16.49 | 20.03 | 25.46 | 29.82 | 32 | Sn | 2.18 | 2.80 | 3.79 | 4.40 |
| 12 | Cr | 82.14 | 101 | 138.07 | 154.56 | 33 | Sr | 250.27 | 340.70 | 439.16 | 479.49 |
| 13 | Cs | 5.80 | 6.67 | 7.64 | 7.75 | 34 | Th | 9.95 | 11.64 | 16.31 | 20.19 |
| 14 | Cu | 26.14 | 32.86 | 42.25 | 50.77 | 35 | Ti | 3578.09 | 4417.73 | 5628.67 | 6120 |
| 15 | Fe | 39177.84 | 46211.58 | 52310.92 | 56082.69 | 36 | Tl | 0.45 | 0.50 | 0.56 | 0.60 |
| 16 | Hg | 0.06 | 0.09 | 0.16 | 0.17 | 37 | U | 1.54 | 1.73 | 1.92 | 2.04 |
| 17 | K | 16900 | 18609.99 | 20500 | 21171.25 | 38 | V | 106.58 | 126.28 | 144.25 | 152.01 |
| 18 | La | 51.61 | 75.53 | 171 | 261 | 39 | W | 0.98 | 1.63 | 2.20 | 2.30 |
| 19 | Li | 48.30 | 54.77 | 61.06 | 64.11 | 40 | Y | 17.88 | 19.50 | 22.29 | 23.37 |
| 20 | Mg | 48.30 | 54.77 | 61.06 | 64.11 | 41 | Zn | 104.81 | 122 | 159.55 | 187 |
| 21 | Mn | 778.30 | 982.40 | 1239.69 | 1355.83 | 42 | Zr | 70 | 78.08 | 88.35 | 91.98 |

۲-۴-۲-۵-۲- جداول ناهنجاریها با روش تعیین حدود خارج از ردیف

در این روش با استفاده از نمودارهای رسم شده در اشکال (۲-۴۴) تا (۲-۸۵) میتوان نسبت به مشخص کردن مقادیر خارج از ردیه و نمونه‌های مرتبط در هر عنصر اقدام کرد. نتایج حاصل از این تحلیل در جدول (۲-۷) آورده شده است. در این جدول به ترتیب نام عنصر، نوع تابع توزیع، حد تفکیک نمونه‌های خارج از ردیف، تعداد نمونه‌های خارج از ردیف و شماره نمونه‌های آن آورده شده است. وجود نمونه‌های خارج از ردیه میتواند در مورد برخی از عناصر مانند S, Pb, La, Cu, Ce, Au, As و Zn با ارتباط با یک پدیده کانی‌زاوی در منطقه باشد ولی وجود مقادیر خارج از ردیف در مورد عناصر سنتگ‌سازی نظیر Ca, K, Na, P, Ti, Fe و Mg میتواند در ارتباط با تغییرات لیتلولژیکی در منطقه میباشد.



جدول (۷-۲): تعداد، حدود و شماره نمونه های خارج از رده (outlier) داده های خام در منطقه مطالعاتی

| Variable | Distribution Function | Outlier Limit | Outlier Number | Outlier Samples | | | | | | | | | | | | |
|----------|-----------------------|---------------|----------------|-----------------|-----|-----|-----|-----|-----|-----|-----|-----|-----|-----|--|--|
| | | | | 291 | 292 | 383 | 384 | 407 | | | | | | | | |
| Ag | Log | 0.769 | 5 | | | | | | | | | | | | | |
| Al | N | 101620 | 3 | 22 | 43 | 44 | | | | | | | | | | |
| As | Log | 24.06 | 8 | 107 | 109 | 112 | 114 | 117 | 132 | 156 | 362 | | | | | |
| Au | L | 24.37 | 1 | 397 | | | | | | | | | | | | |
| Ba | N | 498.12 | 9 | 22 | 44 | 175 | 255 | 257 | 258 | 260 | 262 | 264 | | | | |
| Be | N | 3.6 | 0 | | | | | | | | | | | | | |
| Bi | N | 0.71 | 1 | 246 | | | | | | | | | | | | |
| Ca | N | 178808 | 2 | 40 | 222 | | | | | | | | | | | |
| Cd | Log | 0.627 | 2 | 293 | 415 | | | | | | | | | | | |
| Ce | Log | 432.46 | 6 | 2 | 3 | 44 | 45 | 47 | 72 | | | | | | | |
| Co | N | 29.37 | 4 | 9 | 44 | 45 | 47 | | | | | | | | | |
| Cr | Log | 162.22 | 7 | 141 | 146 | 147 | 148 | 165 | 329 | 347 | | | | | | |
| Cs | Log | 9 | 4 | 101 | 103 | 156 | 174 | | | | | | | | | |
| Cu | L | 118.15 | 2 | 313 | 415 | | | | | | | | | | | |
| Fe | N | 59101.39 | 1 | 44 | | | | | | | | | | | | |
| Hg | Log | 0.3 | 5 | 435 | 437 | 438 | 439 | 440 | | | | | | | | |
| K | N | 24611 | 1 | 51 | | | | | | | | | | | | |
| La | Log | 156.79 | 11 | 1 | 2 | 3 | 6 | 10 | 44 | 45 | 47 | 72 | 107 | 173 | | |
| Li | N | 71.87 | 3 | 43 | 44 | 285 | | | | | | | | | | |
| Mg | N | 19831 | 8 | 22 | 44 | 113 | 116 | 117 | 337 | 342 | 347 | | | | | |
| Mn | Log | 1503.22 | 5 | 44 | 51 | 52 | 53 | 103 | | | | | | | | |
| Mo | N | 2 | 1 | 140 | | | | | | | | | | | | |
| Na | Log | 14527.3 | 2 | 43 | 264 | | | | | | | | | | | |
| Nb | Log | 16.54 | 3 | 232 | 263 | 264 | | | | | | | | | | |
| Ni | N | 104.09 | 5 | 44 | 47 | 117 | 147 | 347 | | | | | | | | |
| P | L | 1265.68 | 5 | 23 | 49 | 215 | 264 | 293 | | | | | | | | |
| Pb | L | 93.22 | 3 | 293 | 313 | 415 | | | | | | | | | | |
| Rb | N | 129.07 | 2 | 9 | 156 | | | | | | | | | | | |
| S | Log | 2793.82 | 4 | 94 | 204 | 207 | 293 | | | | | | | | | |
| Sb | Log | 2.39 | 2 | 24 | 415 | | | | | | | | | | | |
| Sc | N | 23 | 0 | | | | | | | | | | | | | |
| Sn | Log | 4.911 | 2 | 24 | 415 | | | | | | | | | | | |
| Sr | Log | 536.17 | 2 | 39 | 40 | | | | | | | | | | | |
| Th | Log | 16.49 | 8 | 2 | 3 | 44 | 45 | 47 | 72 | 107 | 173 | | | | | |
| Ti | Log | 6453 | 5 | 22 | 44 | 174 | 175 | 264 | | | | | | | | |
| Tl | Log | 0.7 | 0 | | | | | | | | | | | | | |
| U | N | 2.014 | 9 | 2 | 44 | 47 | 72 | 143 | 156 | 214 | 265 | 350 | | | | |
| V | N | 170.33 | 2 | 44 | 285 | | | | | | | | | | | |
| W | Log | 3.06 | 3 | 50 | 83 | 84 | | | | | | | | | | |
| Y | N | 24.23 | 6 | 2 | 72 | 137 | 156 | 174 | 214 | | | | | | | |
| Zn | Log | 204.4 | 2 | 174 | 415 | | | | | | | | | | | |
| Zr | N | 95.78 | 2 | 93 | 147 | | | | | | | | | | | |



۳-۵-۲-بورسی آماری چندمتغیره

۳-۵-۲-۱-محاسبات و پردازش‌های دو متغیره داده‌های خام

طبق شرح خدمات در این بخش اقدام به محاسبه ضرایب همبستگی پیرسون و اسپیرمن داده‌های خام و نرمال (در صورت نرمال نبودن تابع توزیع هر عنصری با تبدیل لگاریتمی نرمال شد) گردید. نتیجه این محاسبات طی دو جدول (۸-۲) و (۹-۲) آورده شده است. در این جداول برای تفکیک مناسب از رنگ‌آمیزی زیر استفاده شده است:

- مقادیر بالاتر از ۷٪ برنگ قرمز
- مقادیر بالاتر از ۶٪ برنگ سبز
- مقادیر بالاتر از ۵٪ برنگ زرد
- مقادیر کوچکتر از ۵٪ بدون رنگ

با توجه به جداول فوق مشاهده می‌شود همبستگی‌های موجود با کانی‌سازی‌های قابل انتظار چندان مرتبط نبوده و در این جداول اغلب عناصر سنگ‌ساز دارای همبستگی‌های قوی می‌باشند. هرچند که نتایج حاصل از این دو جدول یکسان می‌باشد ولی بطور کلی استفاده از نتایج حاصل از ضرایب همبستگی اسپیرمن بعلت استقلال آن از تابع توزیع مقادیر هر عنصر تحلیلهای صحیحتری را در پی خواهد داشت. همانطور که مشاهده می‌شود یک گروه که دارای همبستگی نسبتاً بالایی می‌باشد گروه عناصر Th ، La ، Ce ، Nb و Y است که می‌توان آنرا در ارتباط با مرکز عناصر REE طبقه‌بندی کرد. عناصر دیگری نظیر S ، Sr و Ca نیز همبستگی بالایی از خود نشان میدهند که می‌توانند در ارتباط با سنگ‌های کربناتی منطقه باشد.



بطور کلی عناصری که در ارتباط با فعالیتهای کانی‌سازی شناخته می‌شوند از طریق یک گروه که شامل Zn ، Pb ، Cu ، Cd ، As ، Sb بالاترین مقدار همبستگی با ۰/۹۳٪ بین عناصر Fe – V وجود دارد.

۲-۳-۵-۲- محاسبات و پردازش‌های چندمتغیره

محاسبات مربوط به این بخش شامل آنالیز فاکتوری و کلاستر است که بر اساس داده‌های خام و نرمال شده انجام پذیرفته است. تحلیل، ترسیم نقشه‌ها بهمراه توضیحات آن در زیر آمده است. از آنجاییکه اکثر عناصر مورد مطالعه دارای مقادیر در حد زمینه بوده و قابلیت ایجاد پتانسیل کانی‌سازی را ندارند لذا برای جلوگیری از تضعیف روابط زیشی بین عناصر پر پتانسیل در تحلیلهای چندمتغیره منطقه مطالعاتی از ۱۵ عنصر پرپتانسیل منطقه در این تحلیلهای استفاده شده است. این محاسبات برای دو سری داده خام و شاخص غنی‌شدگی انجام پذیرفته که نتایج آن در زیر آمده است. ۱۵ عنصر پر پتانسیل در این منطقه عبارتند از :

Zn، Th، Sb، S، Pb، P، La، Cu، Ce، Cd، Bi، Ba، Au، As، Ag

۱-۴-۳-۵-۲- آنالیز فاکتوری داده‌های خام

نتایج حاصل از تجزیه و تحلیل فاکتوری انجام گرفته بر روی داده‌های خام نرمال شده (در صورت نرمال نبودن تابع توزیع هر عنصری با تبدیل لگاریتمی نرمال شد) بصورت جداول (۱۰-۲) و (۱۱-۲) آورده شده است. نتیجه حاصل یک مدل ۷ مؤلفه‌ای است که توانسته ۸۳٪ از تغییرپذیر را توجیه کند. در این جداول که ۱۵ مؤلفه بهمراه مقادیر ویژه کل، نقش هر یک در توجیه میزان تغییرپذیری کل و بار فاکتورهای مربوط به ۷ فاکتور اول قبل و بعد از چرخش آورده شده است. همانطور که در جدول (۱۰-۲) ملاحظه می‌شود مؤلفه اول قادر است حدود ۲۱/۵٪ از کل تغییرپذیری را توجیه کند. این مقدار برای مؤلفه دوم افت می‌کند و به عدد حدود ۱۳/۵٪ می‌رسد. در مؤلفه سوم این مقدار تا حدودی معادل مؤلفه دوم بوده و حدود ۱۳٪ می‌باشد. بنابراین سه مؤلفه اول میتوانند در مجموع ۴۸٪ تغییرپذیری را توجیه کنند. از مؤلفه چهارم تا هفتم که شامل ۴ مؤلفه می‌باشد حدود ۳۵٪ دیگر به توجیه تغییرپذیری می‌افزایند و از آن به بعد تغییرات اندک خواهد بود. جدول (۱۱-۲) ماتریس چرخش یافته آنالیز فاکتوری را نشان می‌دهد. در هر یک از ۷ مؤلفه داده شده عناصر زیر اهمیت پیدا کرده اند:



جدول (۲-۱۰): نتایج آنالیز فاکتوری بر اساس مقادیر نرمال شده داده های خام در منطقه مطالعاتی

| Component | Total Variance Explained | | | | | | | | |
|-----------|--------------------------|---------------|--------------|-------------------------------------|---------------|--------------|-----------------------------------|---------------|--------------|
| | Initial Eigenvalues | | | Extraction Sums of Squared Loadings | | | Rotation Sums of Squared Loadings | | |
| | Total | % of Variance | Cumulative % | Total | % of Variance | Cumulative % | Total | % of Variance | Cumulative % |
| 1 | 3.79 | 25.24 | 25.24 | 3.79 | 25.24 | 25.24 | 3.23 | 21.52 | 21.52 |
| 2 | 2.43 | 16.21 | 41.45 | 2.43 | 16.21 | 41.45 | 2.02 | 13.45 | 34.96 |
| 3 | 1.72 | 11.45 | 52.89 | 1.72 | 11.45 | 52.89 | 1.99 | 13.28 | 48.24 |
| 4 | 1.44 | 9.62 | 62.52 | 1.44 | 9.62 | 62.52 | 1.75 | 11.64 | 59.88 |
| 5 | 1.13 | 7.53 | 70.05 | 1.13 | 7.53 | 70.05 | 1.41 | 9.37 | 69.25 |
| 6 | 1.08 | 7.19 | 77.23 | 1.08 | 7.19 | 77.23 | 1.09 | 7.24 | 76.49 |
| 7 | 0.91 | 6.08 | 83.32 | 0.91 | 6.08 | 83.32 | 1.02 | 6.82 | 83.32 |
| 8 | 0.71 | 4.71 | 88.03 | | | | | | |
| 9 | 0.56 | 3.71 | 91.74 | | | | | | |
| 10 | 0.46 | 3.07 | 94.81 | | | | | | |
| 11 | 0.43 | 2.84 | 97.65 | | | | | | |
| 12 | 0.19 | 1.26 | 98.91 | | | | | | |
| 13 | 0.11 | 0.71 | 99.62 | | | | | | |
| 14 | 0.04 | 0.28 | 99.90 | | | | | | |
| 15 | 0.02 | 0.102 | 100 | | | | | | |

در مولفه اول عناصر Ce، Th و La با بار فاکتوری بالا حضور دارند. این فاکتور در ارتباط با تمرکز احتمالی مونازیت در بخشی از سنگهای منطقه میباشد. در مولفه دوم عناصر Cd و Pb با بار فاکتوری بالا و عناصر Cu و P با بار فاکتوری متوسط نمایان شده‌اند که میتواند معرف کانی‌سازی‌های احتمالی سرب و روی و تا حدی مس در منطقه باشد. در مولفه سوم بار فاکتوری بالایی ظاهر نشده است. در مولفه چهارم عنصر S با بار فاکتوری بالا حضور دارد که میتواند معرف توزیع تمرکز پیریت در سنگهای اسلیتی در منطقه باشد. در مولفه پنجم عناصر Au، Sb و As حضور دارند که میتواند معرف فعالیتهای ضعیف کانی‌سازی مرتبط با طلا و ردهیاهای اپیترمال آن در منطقه باشد. مولفه‌های ششم و هفتم به ترتیب دارای تک عنصر Au و Ag میباشند که میتواند در ارتباط با معرفی مناطق پرپتانسیل این دو عنصر با اهمیت باشند هرچند که حضور بصورت انفرادی و قرار گرفتن در مولفه‌های انتهایی از اهمیت اکتشافی این دو مولفه خواهد کاست. در مجموع سه مولفه پنج، شش و هفت به طلا و نقره بر می‌گردد که در منطقه حضوری ضعیف از خود نشان داده‌اند.



جدول (۱۱-۲): ماتریس چرخش یافته آنالیز فاکتوری بر اساس مقادیر نرمال شده داده های خام در منطقه مطالعاتی

| variable | Component | | | | | | |
|----------|-----------|----------|----------|----------|----------|----------|----------|
| | Factor 1 | Factor 2 | Factor 3 | Factor 4 | Factor 5 | Factor 6 | Factor 7 |
| Ag | -0.05 | 0.11 | 0.01 | 0.04 | 0.04 | 0.95 | -0.02 |
| As | 0.42 | 0.08 | 0.22 | -0.06 | 0.44 | 0.04 | -0.54 |
| Au | 0.00 | 0.13 | 0.06 | 0.01 | 0.69 | 0.02 | 0.68 |
| Ba | 0.47 | 0.13 | 0.10 | -0.66 | -0.15 | -0.17 | 0.10 |
| Bi | 0.68 | -0.13 | -0.06 | -0.01 | 0.01 | 0.30 | -0.05 |
| Cd | 0.31 | 0.77 | 0.39 | 0.04 | -0.10 | -0.02 | -0.08 |
| Ce | 0.85 | -0.32 | -0.08 | 0.31 | -0.06 | -0.04 | 0.07 |
| Cu | 0.11 | 0.57 | -0.79 | 0.09 | 0.02 | -0.06 | -0.02 |
| La | 0.85 | -0.33 | -0.10 | 0.28 | -0.07 | -0.08 | 0.10 |
| P | 0.21 | 0.57 | 0.47 | 0.26 | -0.36 | 0.01 | 0.19 |
| Pb | 0.21 | 0.69 | -0.67 | 0.09 | 0.02 | -0.02 | -0.04 |
| S | -0.15 | 0.33 | 0.33 | 0.71 | 0.09 | -0.11 | -0.03 |
| Sb | 0.44 | 0.19 | 0.17 | -0.08 | 0.51 | -0.17 | -0.23 |
| Th | 0.88 | -0.31 | -0.08 | 0.15 | -0.09 | 0.04 | 0.09 |
| Zn | 0.54 | 0.42 | 0.19 | -0.46 | -0.10 | 0.10 | 0.16 |

۲-۳-۵-۲- آنالیز فاکتوری مقادیر شاخص غنی‌شدگی

نتایج حاصل از تجزیه و تحلیل فاکتوری انجام گرفته بر روی مقادیر شاخص غنی‌شدگی از طریق دو جدول (۱۲-۲) و (۱۳-۲) آورده شده است. همانطورکه ملاحظه می‌شود نتایج حاصل از تحلیل فاکتوری داده‌های شاخص غنی‌شدگی که در آنها اثر مولفه‌های سنگ‌ساز تا حدودی خنثی شده است از روابط زایشی مناسبتری نسبت به داده‌های خام برخوردار است. بدین ترتیب یک مدل ۷ فاکتوری توانسته است حدود ۸۳٪ تغییرپذیری را توجیه کند. میزان توجیه تغییرپذیری مولفه‌ها در این شرایط نیز با توجه به جدول (۱۲-۲) مطابق نتایج حاصل از داده‌های خام می‌باشد. جدول (۱۳-۲) ماتریس چرخش یافته آنالیز فاکتوری را نشان می‌دهد. در هر یک از ۷ مؤلفه داده شده عناصر زیر اهمیت پیدا کرده اند:

در مؤلفه اول عناصر Ce، La و Th با بار فاکتوری بالا حضور دارند. این فاکتور در ارتباط با تمرکز احتمالی مونازیت در بخشی از سنگ‌های منطقه می‌باشد و بیشتر به لحاظ فعالیتهای کانی‌سازی و تمرکز REE اهمیت دارد. در مؤلفه دوم عناصر Cd، P، S با بار فاکتوری متوسط و بالا نمایان شده اند.



جدول (۱۲-۲): نتایج آنالیز فاکتوری بر اساس مقادیر شاخص غنی شدگی در منطقه مطالعاتی

| Component | Total Variance Explained | | | | | | | | |
|-----------|--------------------------|---------------|--------------|-------------------------------------|---------------|--------------|-----------------------------------|---------------|--------------|
| | Initial Eigenvalues | | | Extraction Sums of Squared Loadings | | | Rotation Sums of Squared Loadings | | |
| | Total | % of Variance | Cumulative % | Total | % of Variance | Cumulative % | Total | % of Variance | Cumulative % |
| 1 | 3.80 | 25.35 | 25.35 | 3.80 | 25.35 | 25.35 | 3.23 | 21.53 | 21.53 |
| 2 | 2.43 | 16.23 | 41.57 | 2.43 | 16.23 | 41.57 | 2.03 | 13.50 | 35.03 |
| 3 | 1.72 | 11.44 | 53.01 | 1.72 | 11.44 | 53.01 | 1.99 | 13.27 | 48.30 |
| 4 | 1.42 | 9.48 | 62.49 | 1.42 | 9.48 | 62.49 | 1.74 | 11.59 | 59.89 |
| 5 | 1.13 | 7.54 | 70.03 | 1.13 | 7.54 | 70.03 | 1.41 | 9.37 | 69.26 |
| 6 | 1.08 | 7.19 | 77.23 | 1.08 | 7.19 | 77.23 | 1.09 | 7.24 | 76.50 |
| 7 | 0.92 | 6.11 | 83.34 | 0.92 | 6.11 | 83.34 | 1.03 | 6.84 | 83.34 |
| 8 | 0.71 | 4.71 | 88.04 | | | | | | |
| 9 | 0.55 | 3.69 | 91.73 | | | | | | |
| 10 | 0.47 | 3.11 | 94.84 | | | | | | |
| 11 | 0.43 | 2.85 | 97.69 | | | | | | |
| 12 | 0.19 | 1.24 | 98.93 | | | | | | |
| 13 | 0.10 | 0.70 | 99.63 | | | | | | |
| 14 | 0.04 | 0.27 | 99.90 | | | | | | |
| 15 | 0.02 | 0.10 | 100 | | | | | | |

جدول (۱۳-۲): ماتریس چرخش یافته آنالیز فاکتوری بر اساس مقادیر شاخص غنی شدگی در منطقه مطالعاتی

| variable | Component | | | | | | |
|----------|--------------|--------------|--------------|--------------|--------------|--------------|--------------|
| | Factor 1 | Factor 2 | Factor 3 | Factor 4 | Factor 5 | Factor 6 | Factor 7 |
| Ag | -0.036 | 0.039 | 0.015 | -0.055 | -0.027 | 0.952 | 0.029 |
| As | 0.167 | 0.031 | -0.037 | 0.026 | 0.828 | 0.082 | -0.096 |
| Au | -0.032 | 0.001 | 0.017 | -0.009 | 0.062 | 0.029 | 0.975 |
| Ba | 0.146 | 0.084 | -0.004 | 0.813 | 0.118 | -0.17 | -0.027 |
| Bi | 0.625 | -0.015 | 0.039 | 0.230 | 0.213 | 0.285 | -0.039 |
| Cd | -0.059 | 0.828 | 0.189 | 0.223 | 0.293 | 0.042 | -0.023 |
| Ce | 0.964 | 0.024 | 0.001 | -0.0004 | 0.102 | -0.078 | -0.002 |
| Cu | -0.003 | -0.011 | 0.991 | 0.001 | -0.034 | -0.014 | 0.007 |
| La | 0.957 | 0.011 | 0.01 | 0.044 | 0.08 | -0.123 | 0.001 |
| P | 0.062 | 0.897 | -0.002 | 0.055 | -0.1 | 0.026 | -0.009 |
| Pb | 0.027 | 0.153 | 0.977 | 0.064 | 0.058 | 0.037 | 0.017 |
| S | -0.070 | 0.576 | -0.007 | -0.631 | 0.102 | -0.089 | 0.097 |
| Sb | 0.155 | 0.099 | 0.059 | 0.142 | 0.703 | -0.119 | 0.204 |
| Th | 0.935 | -0.002 | -0.009 | 0.177 | 0.093 | 0.001 | -0.01 |
| Zn | 0.174 | 0.4 | 0.105 | 0.716 | 0.161 | 0.127 | 0.1 |

در مولفه سوم عناصر Pb و Cu با بار فاکتوری بسیار بالا حضور دارند. این مولفه میتواند در ارتباط با معرفی مناطق پرپتانسیل به لحاظ کانی‌سازی مس و سرب در منطقه باشد که بارهای فاکتوری نزدیک به یک در این مولفه باعث میشود تا این فاکتور از اهمیت اکتشافی بالایی برخوردار باشد. در مولفه چهارم عنصر باریم و



روی با بار فاکتوری بالا ظاهر شده است. این مولفه نیز میتواند در ارتباط با فعالیتهای سرب و روی همراه با باریت اهمیت داشته باشد. مولفه پنجم که در آن عناصر Sb و As با بار فاکتوری بالا حضور دارند میتواند در معرفی مناطق مرتبط با کانی‌سازی‌های تیپ هیدروترمال در منطقه اهمیت داشته باشد. مولفه‌های ششم و هفتم به مانند نتایج حاصل از تحلیل فاکتوری مقادیر شاخص غنی‌شدگی به ترتیب دارای تک عنصر Ag و Au میباشند که میتواند در ارتباط با معرفی مناطق با پتانسیل کم این دو عنصر باشد.

۳-۵-۲-۳- آنالیز خوش‌ای داده‌های خام

یکی دیگر از روش‌های چند متغیره روش آنالیز خوش‌ای یا آنالیز کلاستر است. برای آنالیز کلاستر متغیرهای مورد مطالعه از چند روش استفاده شده است. یکی از این چند روش منجر به دندروگرام مناسبتری میگردد که از تقارن بیشتری برخوردار است. در این روش مقادیر نرمال شده (با توجه به تابع توزیع هر متغیر در صورت نرمال نبودن از روش لگاریتم جهت نرمالایز کردن مقادیر استفاده شده است) هر ۱۵ متغیر مورد تحلیل قرار گرفته و دندروگرام همبستگی آنها رسم شده است. نتیجه آنالیز کلاستر رسم دندروگرام شکل (۲-۶) است. تحلیل داده‌های این دندروگرام ما را با کمی تغییر به نتایج مشابه حاصل از تحلیل فاکتوری می‌رساند. این تحلیل‌ها شامل موارد زیر است:

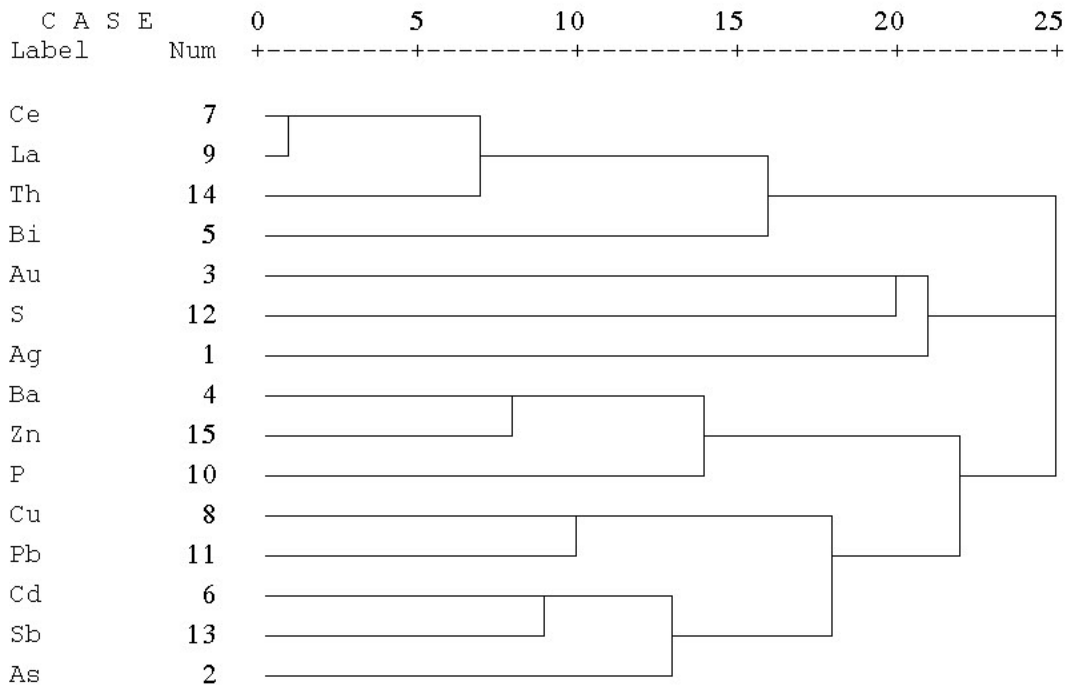
این دندروگرام دارای سه شاخه اصلی است. شاخه بالایی دارای سه عنصر با همبستگی بالا است که شامل Ce، La و Th می‌شود. این مجموعه تا حدودی منطبق بر مولفه اول آنالیز فاکتوری است. در شاخه میانی عناصر Au، Ag و S با همبستگی بسیار کم با یکدیگر در ارتباط میباشند. این فاکتور تا حدودی منطبق بر مولفه‌های تک‌عنصری چهارم، ششم و هفتم آنالیز فاکتوری است که از اهمیت زیادی برخوردار نیست. شاخه تحتانی این دندروگرام خود دارای دو زیرشاخه است. در زیرشاخه بالایی عناصر Ba، Zn و P حضور دارند که به نوعی بیانگر فعالیتهای کانی‌سازی‌های سرب و روی همراه با باریت می‌تواند قلمداد شود. در زیرشاخه پایینی عناصر Cu، Pb، Cd، As و Sb حضور دارند که عمدتاً بیانگر (ردیاب) فعالیتهای کانی‌سازی عناصر پایه در منطقه می‌باشد. این مجموعه منطبق بر مولفه دوم آنالیز فاکتوری است.



* * * * * H I E R A R C H I C A L C L U S T E R A N A L Y S I S * * * *

Dendrogram using Centroid Method

Rescaled Distance Cluster Combine



شکل (۲-۸۶): دندروگرام ترسیم شده برای مقادیر خام ۱۵ عنصر پرپتانسیل مورد بورسی در منطقه مطالعاتی

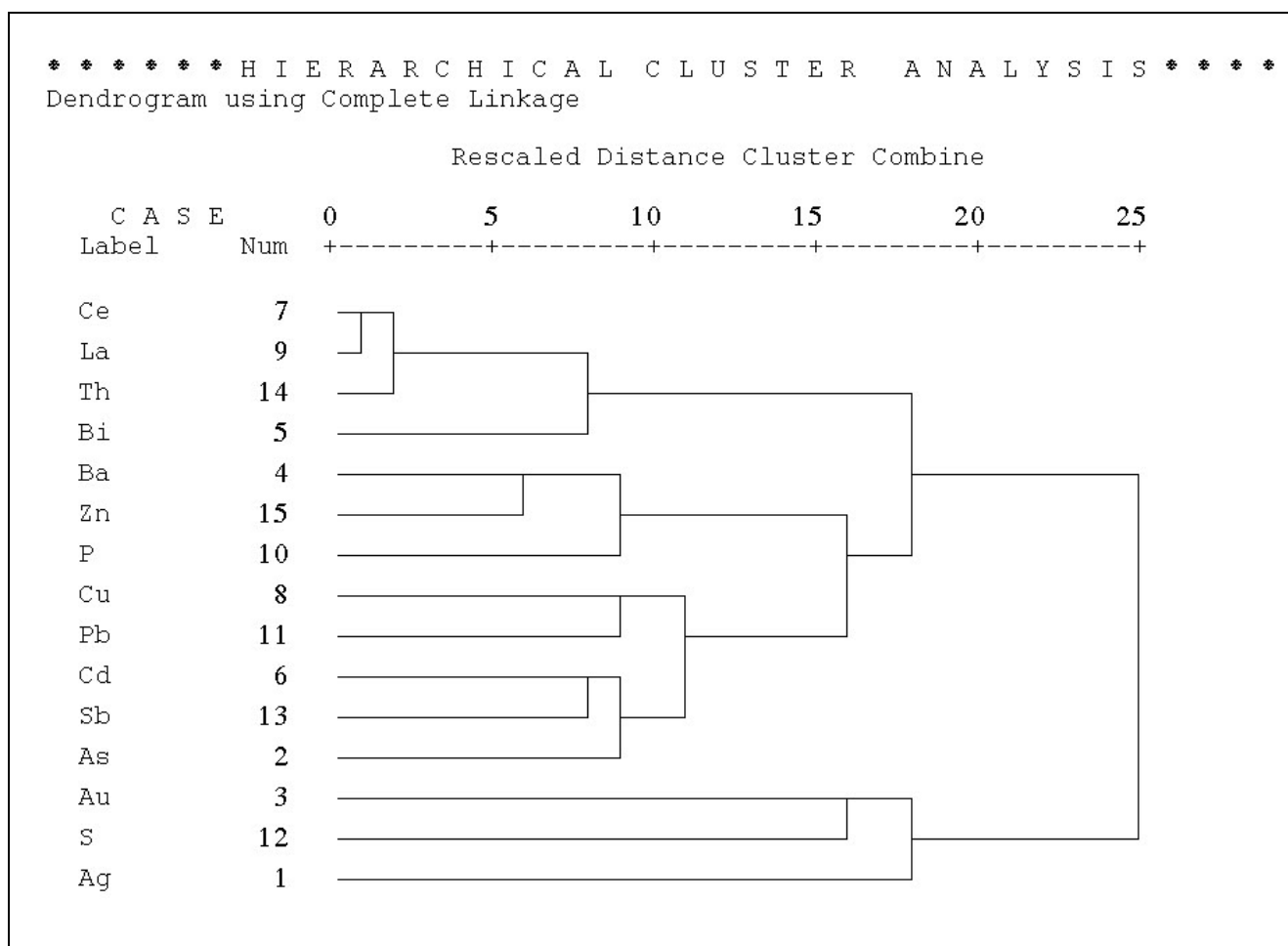
۴-۲-۳-۵-۲- آنالیز خوشای مقادیر شاخص غنی شدگی

در این قسمت نتایج حاصل از تحلیل آنالیز کلاستر داده های مربوط به شاخص غنی شدگی محاسبه شده برای ۱۵ عنصر پرپتانسیل آمده است. برای ترسیم این دندروگرامها از چند روش استفاده شده است. یکی از این چند روش منجر به دندروگرام مناسبتری میگردد که از تقارن بیشتری برخوردار است. نتیجه آنالیز کلاستر رسم دندروگرام شکل (۲-۸۷) است. تحلیل داده های این دندروگرام ما را با کمی تغییر به نتایج مشابه حاصل از تحلیل فاکتوری مقادیر شاخص غنی شدگی می رساند. این تحلیل ها شامل موارد زیر است:

این دندروگرام دارای دو شاخه اصلی است. شاخه فوقانی خود دارای دو زیرشاخه است. شاخه بالایی دارای عناصر Ce ، La ، Th و Bi است که سه عنصر اول دارای ارتباط بسیار قوی است. این مجموعه کاملاً منطبق بر مولفه اول آنالیز فاکتوری است. زیرشاخه دوم این دندروگرام خود دارای دو مجموعه است. در



مجموعه بالای عناصر Ba، Zn و P حضور دارند که به نوعی بیانگر فعالیتهای مرتبط با کانی‌سازی سرب و روی می‌تواند قلمداد شود. این مجموعه منطبق بر مولفه چهارم آنالیز فاکتوری است.



شکل (۲-۸۷): دندروگرام ترسیم شده برای مقادیر شاخص غنی‌شدگی ۱۵ عنصر پرینتنسیل مورد بررسی در منطقه مطالعاتی

در مجموعه پایینی عناصر Sb، Cd، Pb، Cu و As حضور دارند که بیانگر فعالیتهای کانی‌سازی احتمالی فلزات پایه و ردیابهای آن در منطقه است. این مجموعه کاملاً منطبق بر مجموعه عناصر معرفی شده در مولفه‌های سوم و پنجم آنالیز فاکتوری است. در شاخه تحتانی عناصر Au، S و Ag با همبستگی کم با یکدیگر در ارتباط می‌باشند. این فاکتور تا حدودی منطبق بر مولفه‌های تکعنصری ششم و هفتم آنالیز



فاکتوری است و از اهمیت چندانی برخوردار نیست. همانطورکه ملاحظه میشود نتایج حاصل از آنالیز فاکتوری و تحلیل آنالیز کلاستر در مورد مقادیر محاسبه شده شاخص غنی شدگی از انطباق قابل قبولی برخوردار است.

۶-۲- ترسیم نقشه‌های تک متغیره و چندمتغیره داده‌های ژئوشیمیایی

پس از انجام پردازشها و بررسیهای آماری اقدام به تهیه نقشه‌های تک متغیره و چندمتغیره گردید.

بدین منظور بر اساس ۴۲ متغیر ژئوشیمی داده‌های خام، ۱۵ متغیر مقادیر شاخص غنی شدگی، ۲ فاکتور داده‌های خام و ۴ فاکتور مقادیر شاخص غنی شدگی محاسبه شده نقشه توزیع فضایی متغیرها ترسیم گردید.

جهت ترسیم نقشه‌های فوق الذکر از یک الگوریتم ثابت به شرح زیر استفاده شده است:

الف- در ابتدا حوضه آبریز مربوط به هر نمونه بصورت یک چندضلعی مشخص گردید.

ب- سپس بر اساس چندضلعی مشخص شده که محدوده پوششی هر نمونه را مشخص میکند و غلظت هر عنصر در هر نقطه با استفاده از الگوریتم تخمین شبکه‌ای نقشه توزیع هر عنصر ترسیم گردید.

ج- مقادیر تخمینی با استفاده از حدود زیر رنگ آمیزی گردید تا نقشه نهایی توزیع هر عنصر در محدوده مطالعاتی مشخص گردد:

- مقادیر تخمینی بالاتر از ۹۹٪ تا بیشینه فراوانی برنگ قرمز.
- مقادیر تخمینی ۹۷/۵٪ تا ۹۹٪ فراوانی برنگ صورتی
- مقادیر تخمینی ۹۷/۵٪ تا ۸۴٪ فراوانی برنگ زرد
- مقادیر تخمینی ۸۴٪ تا ۵۰٪ فراوانی برنگ سبز
- مقادیر تخمینی پایین‌تر از ۵۰٪ تا کمینه فراوانی برنگ آبی

با توجه به مطالب فوق تعداد ۴۲ نقشه مربوط به داده‌های خام با شماره‌های A2-R2 تا A2-E1، ۱۵ نقشه مربوط به مقادیر شاخص غنی شدگی عناصر پرپتانسیل با شماره‌های A2-R43 تا



A2-E15 و شش نقشه مربوط به مولفه‌های با ارزش آنالیز فاکتوری داده‌های خام و شاخص غنی‌شدگی با شماره‌های A2-F1 تا A2-F6 ترسیم گردید که در بخش پیوست آمده است.

۷-۲-تعییر و تفسیر نقشه‌های ژئوشیمیایی

همانطور که ذکر شد تمام نقشه‌های مذکور در بند ۶-۲ طبق شرح خدمات تهیه گردید ولی از آنجاییکه با در نظر گرفتن مقادیر کلارک هر عنصر و یا مقادیر متعارف آن در ایران همه عناصر مورد مطالعه دارای پتانسیل کانی‌سازی نیستند لذا در این بخش صرفا عناصری که دارای پتانسیل کانی‌سازی در منطقه بوده و ارزش اکتشافی دارند مورد تعییر و تفسیر قرار می‌گیرند. این عناصر عبارتند از :

Ag, As, Au, Ba, Bi, Cd, Ce, Cu, La, P, Pb, S, Sb, Th و Zn.

نقشه توزیع عنصر نقره (A2-R2) دلالت بر آن دارد که آنومالیهای مربوط به این متغیر در هفت محدوده در این منطقه قابل مشاهده است. آنمالی درجه یک این عنصر در محدوده غرب و جنوب کوه نظامآباد می‌باشد. آنماهیهای کوچک دیگری بصورت پراکنده در شمال‌شرق و شرق کره‌ود، شرق ضامن‌جان، جنوب‌شرق کوه مودر، شمال‌غرب کوه نظامآباد و شرق نظامآباد در منطقه وجود دارند. نقشه توزیع شاخص غنی‌شدگی این عنصر (A2-E1) نیز دلالت بر حضور این محدوده‌های آنمال دارد.

نقشه توزیع ارسنیک (A2-R4) دلالت بر آن دارد که آنومالیهای مربوط به این متغیر در هفت محدوده در این منطقه قابل مشاهده است. آنمالی درجه یک این عنصر در محدوده‌های غرب، شمال‌غرب، شمال‌شرق کره‌ود، می‌باشد. آنماهیهای درجه دو این متغیر در جنوب منطقه مطالعاتی و محدوده‌ای در محدوده کره‌ود و جنوب‌شرق کوه سیاهکوه قابل مشاهده می‌باشند. نقشه توزیع شاخص غنی‌شدگی این عنصر (A2-E2) نیز دلالت بر حضور این محدوده‌های آنمال داشته و به نوعی آنرا تایید می‌کند. تنها تفاوت آن در تعییر درجه آنمالی محدوده کره‌ود از درجه دو به یک است.

نقشه توزیع طلا (A2-R5) دلالت بر آن دارد که آنومالیهای مربوط به این متغیر در هشت محدوده در این منطقه قابل مشاهده است. آنومالیهای درجه یک این عنصر در چهار محدوده در شمال‌شرق کره‌ود، جنوب‌شرق ضامن‌جان، شمال نظامآباد و شمال کوه نظامآباد مشاهده می‌شوند. آنومالیهای دیگر این متغیر نیز در



جنوبشرق کوه مودر، شمالغرب خامن جان، جنوب نظام آباد و شمال کوه سیاهکوه قابل مشاهده میباشدند. نقشه توزیع شاخص غنی شدگی این عنصر (A2-E3) نیز دلالت بر حضور محدوده های مذکور آنومال داشته و به نوعی آنرا تایید میکند.

نقشه توزیع باریم (A2-R6) دلالت بر آن دارد که آنومالیهای مربوط به این متغیر در شش محدوده در این منطقه قابل مشاهده است. آنومالیهای درجه یک این عنصر در دو محدوده در شمالغرب کره رو و جنوبغرب کوه سیاهکوه مشاهده میشوند. آنومالیهای دیگر این متغیر نیز در شرق کوه مودر، شمال نظام آباد، محدوده شرقی کوه سیاهکوه و شمالغربی سنجان قابل مشاهده میباشند. نقشه توزیع شاخص غنی شدگی این عنصر (A2-E4) نیز دلالت بر حضور محدوده های مذکور آنومال داشته و به نوعی آنرا تایید میکند. تنها تفاوت آن تغییر درجه آنومالی در شمالغرب کره رو و شرق کوه مودر میباشد.

نقشه توزیع بیسموت (A2-R8) دلالت بر آن دارد که آنومالیهای مربوط به این متغیر در پنج محدوده در این منطقه قابل مشاهده است. آنومالیهای درجه یک این عنصر در سه محدوده در شرق کوه مودر، شمالغربی سنجان و شرق کوه قره داغ مشاهده میشوند. آنومالیهای دیگر این متغیر نیز در جنوبشرقی کوه مودر و جنوبشرقی کره رو قابل مشاهده میباشند. نقشه توزیع شاخص غنی شدگی این عنصر (A2-E5) نیز دلالت بر حضور محدوده های مذکور آنومال داشته و به نوعی آنرا تایید میکند. تنها تفاوت آن تغییر درجه آنومالی شمالغربی سنجان از دو به یک است.

نقشه توزیع کادمیم (A2-R10) دلالت بر آن دارد که آنومالیهای مربوط به این متغیر در ۷ محدوده اصلی در این منطقه قابل مشاهده است. آنومالیهای درجه یک این عنصر در ۳ محدوده در شرق کره رو، غرب فنجان و جنوبغرب کوه نظام آباد مشاهده میشوند. آنومالیهای دیگر این متغیر نیز در شمالغرب کره رو، جنوبشرق و شمالشرق منطقه مطالعاتی قابل مشاهده میباشند. نقشه توزیع شاخص غنی شدگی این عنصر (A2-E6) نیز دلالت بر حضور محدوده های مذکور آنومال داشته و به نوعی آنرا تایید میکند. تنها تفاوت آن تغییر شدت آنومالیهای درجه دو در شمالشرق، جنوبشرق و غرب منطقه مطالعاتی می باشد.

نقشه توزیع سریم (A2-R11) دلالت بر آن دارد که آنومالیهای مربوط به این متغیر در ۴ محدوده در این منطقه قابل مشاهده است. آنومالیهای درجه یک این عنصر در ۲ محدوده در شمال و جنوب کره رو



مشاهده میشوند. آنومالیهای دیگر این متغیر نیز در غرب کره‌رود قابل مشاهده میباشند. نقشه توزیع شاخص

غنى‌شدگی این عنصر (A2-E7) نیز دلالت بر حضور محدوده‌های مذکور آنومال داشته و به نوعی آنرا تایید میکند. تنها تفاوت آن تغییر درجه آنومالی یک از محدوده‌های آنومال غرب کره‌رود از دو به یک است.

نقشه توزیع مس (A2-R15) دلالت بر آن دارد که آنومالیهای مربوط به این متغیر بصورت پراکنده در در ۱۰ محدوده در این منطقه قابل مشاهده است. آنومالیهای درجه یک این عنصر در شرق کوه مودر و شرق کره‌رود و دو محدوده در شمال و شمال‌شرق نظم‌آباد مشاهده میشوند. آنومالیهای دیگر این متغیر نیز در غرب کره‌رود و فنجان، شرق کوه سیاهکوه و شرق نظم‌آباد قابل مشاهده میباشند. نقشه توزیع شاخص غنى‌شدگی این عنصر (A2-E8) نیز دلالت بر حضور محدوده‌های مذکور آنومال دارد.

نقشه توزیع لانتانیم (A2-R19) دلالت بر آن دارد که آنومالیهای مربوط به این متغیر بصورت پراکنده در در سه محدوده در این منطقه قابل مشاهده است. آنومالیهای درجه یک این عنصر در شرق کوه مودر و جنوب‌شرق کره‌رود مشاهده میشوند. آنومالیهای دیگر این متغیر نیز در غرب قابل مشاهده میباشند. نقشه توزیع شاخص غنى‌شدگی این عنصر (A2-E9) نیز دلالت بر حضور محدوده‌های مذکور آنومال داشته و به نوعی آنرا تایید میکند.

نقشه توزیع فسفر (A2-R27) دلالت بر آن دارد که آنومالیهای مربوط به این متغیر بصورت پراکنده در هفت محدوده در این منطقه قابل مشاهده است. آنومالی درجه یک این عنصر در محدوده جنوب کوه نظم‌آباد قابل ملاحظه میباشد. آنومالیهای دیگر این متغیر نیز که همگی از درجه دوم میباشند در شمال، شمال‌شرق و غرب کره‌رود و شرق فنجان و شمال نظم‌آباد قابل مشاهده میباشند. نقشه توزیع شاخص غنى‌شدگی این عنصر (A2-E10) نیز دلالت بر حضور محدوده‌های مذکور آنومال دارد.

نقشه توزیع سرب (A2-R28) دلالت بر آن دارد که آنومالیهای مربوط به این متغیر بصورت پراکنده در در نه محدوده در این منطقه قابل مشاهده است. آنومالیهای درجه یک این عنصر در شش محدوده قابل ملاحظه میباشند. این محدوده‌ها در شرق کوه مودر، شرق و غرب کره‌رود، غرب سنجان، شمال‌غرب نظم‌آباد و جنوب کوه نظم‌آباد مشاهده میشوند. آنومالیهای دیگر این متغیر نیز در شرق خامن‌جان و جنوب



کوه سیاهکوه قابل مشاهده میباشدند. نقشه توزیع شاخص غنی‌شدگی این عنصر (A2-E11) نیز دلالت بر حضور محدوده‌های مذکور آنومال داشته و به نوعی آنرا تایید میکند.

نقشه توزیع گوگرد (A2-R30) دلالت بر آن دارد که آنومالیهای مربوط به این متغیر بصورت پراکنده در هفت محدوده در این منطقه قابل مشاهده است. آنومالیهای درجه یک این عنصر در چهار محدوده قابل ملاحظه میباشند. این محدوده‌ها در شمالشرق کره‌رود، غرب کوه قره‌داغ و جنوب کوه نظم‌آباد مشاهده میشوند. آنومالیهای دیگر این متغیر نیز در غرب فنجان، غرب سنجان، جنوبشرق کوه نظم‌آباد و شمال کوه سیاهکوه قابل مشاهده میباشند. نقشه توزیع شاخص غنی‌شدگی این عنصر (A2-E12) نیز دلالت بر حضور محدوده‌های مذکور آنومال داشته و به نوعی آنرا تایید میکند.

نقشه توزیع انتیموان (A2-R31) دلالت بر آن دارد که آنومالیهای مربوط به این متغیر در دو محدوده در این منطقه قابل مشاهده است. هر دو محدوده از نوع درجه یک میباشند که محدوده آنومال نسبتاً وسیع واقع در روستای نظم‌آباد بالهمیت‌ترین محدوده آنومال منطقه در نظر گرفته میشود. محدوده آنومال دیگر در شرق کره‌رود قابل مشاهده است. نقشه توزیع شاخص غنی‌شدگی این عنصر (A2-E13) نیز دلالت بر حضور محدوده‌های مذکور آنومال داشته و به نوعی آنرا تایید میکند.

نقشه توزیع توریم (A2-R35) دلالت بر آن دارد که آنومالیهای مربوط به این متغیر در ۴ محدوده در این منطقه قابل مشاهده است. محدوده‌های آنومال درجه یک این متغیر در شرق کوه مودر و جنوبشرق کره‌رود قرار دارند. دو محدوده آنومال درجه دو در مجاورت یکدیگر و در شمالغرب سنجان قابل مشاهده است. نقشه توزیع شاخص غنی‌شدگی این عنصر (A2-E14) نیز دلالت بر حضور محدوده‌های مذکور آنومال داشته و به نوعی آنرا تایید میکند.

نقشه توزیع روی (A2-R42) دلالت بر آن دارد که آنومالیهای مربوط به این متغیر بصورت پراکنده در در هشت محدوده در این منطقه قابل مشاهده است. محدوده‌های آنومال درجه یک این متغیر شرق کره‌رود، غرب فنجان، شمالغرب سنجان، شمال نظم‌آباد و جنوب کوه نظم‌آباد قرار دارند. محدوده آنومال دیگر این متغیر در شمال و شرق کره‌رود و غرب سنجان قابل مشاهده است. نقشه توزیع شاخص غنی‌شدگی این عنصر (A2-E15) نیز دلالت بر حضور محدوده‌های مذکور آنومال داشته و به نوعی آنرا تایید میکند.



نقشه توزیع مولفه دوم آنالیز فاکتوری داده‌های خام (A2-F1) که شامل عناصر P، Cu، Cd و

Pb می‌باشد دلالت بر آن دارد که آنومالیهای مربوط به این متغیر بصورت پراکنده در هفت محدوده در این منطقه قابل مشاهده است. محدوده‌های آنومال درجه یک این متغیر در جنوب کوه نظم‌آباد و شرق کره‌رود قرار دارند. محدوده آنومال دیگر این متغیر در شرق، شمال‌غرب و شمال کره‌رود، شرق فنجان و شمال نظم‌آباد قابل مشاهده است.

نقشه توزیع مولفه پنجم آنالیز فاکتوری داده‌های خام (A2-F2) که شامل عناصر Au و Sb

می‌باشد دلالت بر آن دارد که آنومالیهای مربوط به این متغیر بصورت پراکنده در این منطقه قابل مشاهده است. محدوده‌های آنومال درجه یک این متغیر در شمال‌شرق و شرق کره‌رود و محدوده روستای نظم‌آباد قرار دارند. دیگر محدوده‌های آنومال این متغیر در شرق و غرب کوه مودر، شرق و جنوب‌شرقی ضامن‌جان و منتهی‌الیه جنوب‌شرق منطقه مطالعاتی قابل مشاهده است.

نقشه توزیع مولفه سوم آنالیز فاکتوری مقادیر شاخص غنی‌شدنی (A2-F3) که شامل عناصر Cu

و Pb می‌باشد دلالت بر آن دارد که آنومالیهای مربوط به این متغیر بصورت پراکنده در نه محدوده در این منطقه قابل مشاهده است. محدوده‌های آنومال درجه یک این متغیر در شرق فنجان، شمال سنجان، شرق کره‌رود، شرق کوه مودر و شمال‌غرب روستای نظم‌آباد قرار دارند. دیگر محدوده‌های آنومال این متغیر در شرق کره‌رود، شمال سنجان، شرق ضامن‌جان و شمال نظم‌آباد قابل مشاهده می‌باشد.

نقشه توزیع مولفه چهارم آنالیز فاکتوری مقادیر شاخص غنی‌شدنی (A2-F4) که شامل عناصر

Zn و Ba می‌باشد دلالت بر آن دارد که آنومالیهای مربوط به این متغیر بصورت پراکنده در پنج محدوده در این منطقه قابل مشاهده است. محدوده‌های آنومال درجه یک این متغیر در شرق کره‌رود و شمال سنجان و غرب کوه سیاهکوه قرار دارند. دیگر محدوده‌های آنومال این متغیر در شمال نظم‌آباد و محدوده‌ای در منتهی‌الیه جنوب‌شرق منطقه مطالعاتی قابل مشاهده می‌باشد.

نقشه توزیع مولفه پنجم آنالیز فاکتوری مقادیر شاخص غنی‌شدنی (A2-F5) که شامل عناصر As

و Sb می‌باشد دلالت بر آن دارد که آنومالیهای مربوط به این متغیر بصورت پراکنده در هشت محدوده در این منطقه قابل مشاهده است. محدوده‌های آنومال درجه یک این متغیر در جنوب‌شرقی کوه مودر، شرق کره‌رود و



محدوده روستای نظمآباد قرار دارند. دیگر محدوده‌های آنومال این متغیر در شرق و غرب کوه مودر، شرق و جنوبشرق خامن‌جان و محدوده‌ای در منتهی‌الیه جنوبشرق منطقه مطالعاتی قابل مشاهده می‌باشد.

نقشه توزیع مولفه هشتم آنالیز فاکتوری مقادیر شاخص غنی‌شدگی (A2-F6) که شامل عنصر Au می‌باشد دلالت بر آن دارد که آنومالیهای مربوط به این متغیر بصورت پراکنده در هشت محدوده در این منطقه قابل مشاهده است. محدوده‌های آنومال درجه یک این متغیر در جنوبشرقی کوه مودر، جنوبشرق خامن‌جان، شمالغرب نظمآباد و محدوده روستای نظمآباد قرار دارند. دیگر محدوده‌های آنومال این متغیر در شرق کوه مودر، شمالغرب خامن‌جان و شمال کوه سیاهکوه قابل مشاهده می‌باشد.

۸-۲- معرفی مناطق امیدبخش ژئوشیمیایی

با مطالعه نقشه‌های تکمتغیره و چندمتغیره تشریح شده در بخش ۷-۲ میتوان وجود برخی مناطق امیدبخش به لحاظ کانی‌سازی را در منطقه مطالعاتی متذکر شد. در این بخش محدوده‌های آنومال و پرپتانسیل ژئوشیمیایی معرفی می‌شود تا پس از تلفیق با نتایج حاصل از مطالعات کانی‌سنگین (بخش سوم)، نواحی مقدماتی جهت کنترلهای صحرایی معرفی گردد. با توجه به نتایج حاصل از پردازش‌های آماری انجام شده و نقشه‌های ترسیم شده اقدام به معرفی محدوده‌های امیدبخش ژئوشیمیایی می‌گردد که در شکل (۸۸-۲) تحت عنوان نقشه A2-GAZ آورده شده است. ۲۳ محدوده ناهنجار ژئوشیمیایی با اطلاعاتی در مورد عناصر ناهنجار، نمونه‌های ناهنجار، مساحت و واحدهای سنگی مرتبط در سطور زیر آورده شده است:

- محدوده امیدبخش ژئوشیمیایی G1 در غرب منطقه مورد مطالعه با مساحت تقریبی ۱۳ کیلومتر

مربع که دربرگیرنده حوضه نمونه ژئوشیمیایی ۱۷۴ می‌باشد نسبت به عنصر Zn ناهنجاری نشان میدهد. با توجه به نقشه زمین‌شناسی موجود واحدهای سنگی مرتبط با این محدوده آنومال ژئوشیمیایی از نوع واحدهای نفوذی حدواسط می‌باشد.

- محدوده امیدبخش ژئوشیمیایی G2 در شمال غربی منطقه مورد مطالعه با مساحت تقریبی ۰/۰۶

کیلومتر مربع که دربرگیرنده حوضه نمونه ژئوشیمیایی ۱۵۶ می‌باشد نسبت به عنصر AS ناهنجاری



نشان میدهد. با توجه به نقشه زمین‌شناسی موجود واحدهای سنگی مرتبط با این محدوده آنومال

ژئوشیمیایی از نوع سنگ آهک میباشد.

- محدوده امیدبخش ژئوشیمیایی G3 در شمالغرب منطقه مورد مطالعه با مساحت تقریبی ۰/۱۴ کیلومتر مربع که دربرگیرنده حوضه نمونه ژئوشیمیایی ۵۳ میباشد نسبت به عنصر Mn ناهنجاری

نشان میدهد. با توجه به نقشه زمین‌شناسی موجود واحدهای سنگی مرتبط با این محدوده آنومال

ژئوشیمیایی از نوع سنگ آهک میباشد.

- محدوده امیدبخش ژئوشیمیایی G4 در شمالغرب منطقه مورد مطالعه با مساحت تقریبی ۰/۱ کیلومتر مربع که دربرگیرنده حوضه نمونه ژئوشیمیایی ۱۰۳ میباشد نسبت به عنصر Mn ناهنجاری

نشان میدهد. با توجه به نقشه زمین‌شناسی موجود واحدهای سنگی مرتبط با این محدوده آنومال

ژئوشیمیایی از نوع سنگ آهک میباشد.

- محدوده امیدبخش ژئوشیمیایی G5 در شمالغرب منطقه مورد مطالعه با مساحت تقریبی ۱/۶ کیلومتر مربع که دربرگیرنده حوضه نمونه‌های ژئوشیمیایی ۴۴، ۴۵، ۱۰۷، ۱۰۸ و ۱۰۹ میباشد نسبت

به عناصر As، Fe، V و Ni ناهنجاری نشان میدهد. با توجه به نقشه زمین‌شناسی موجود

واحدهای سنگی مرتبط با این محدوده آنومال ژئوشیمیایی از نوع سنگ آهک میباشد.

- محدوده امیدبخش ژئوشیمیایی G6 در شمالغرب منطقه مورد مطالعه با مساحت تقریبی ۰/۱۷ کیلومتر مربع که دربرگیرنده حوضه نمونه ژئوشیمیایی ۹۴ میباشد نسبت به عنصر S ناهنجاری نشان

میدهد. با توجه به نقشه زمین‌شناسی موجود واحدهای سنگی مرتبط با این محدوده آنومال

ژئوشیمیایی از نوع سنگ آهک میباشد.

- محدوده امیدبخش ژئوشیمیایی G7 در شمال منطقه مورد مطالعه با مساحت تقریبی ۰/۱ کیلومتر

مربع که دربرگیرنده حوضه نمونه ژئوشیمیایی ۴۱۵ میباشد نسبت به عناصر Sb، Pb، Cu، Cd

، Zn و Sn ناهنجاری نشان میدهد. با توجه به نقشه زمین‌شناسی موجود واحدهای سنگی مرتبط با

این محدوده آنومال ژئوشیمیایی از نوع سنگ آهک میباشد.



- محدوده امیدبخش ژئوشیمیایی G8 در مرکز منطقه مورد مطالعه با مساحت تقریبی ۱۰۰ کیلومتر

مربع که دربرگیرنده حوضه نمونه ژئوشیمیایی ۲۰۴ میباشد نسبت به عنصر S ناهنجاری نشان میدهد. با توجه به نقشه زمین‌شناسی موجود واحدهای سنگی مرتبط با این محدوده آنومال ژئوشیمیایی از نوع سنگ آهک و واحدهای نفوذی حدواسط میباشد.

- محدوده امیدبخش ژئوشیمیایی G9 در جنوب منطقه مورد مطالعه با مساحت تقریبی ۵۳۰ کیلومتر

مربع که دربرگیرنده حوضه نمونه‌های ژئوشیمیایی ۱۱۴ و ۱۳۲ میباشد نسبت به عنصر As ناهنجاری نشان میدهد. با توجه به نقشه زمین‌شناسی موجود واحدهای سنگی مرتبط با این محدوده آنومال ژئوشیمیایی از نوع سنگ آهک میباشد.

- محدوده امیدبخش ژئوشیمیایی G10 در جنوب منطقه مورد مطالعه با مساحت تقریبی ۲۹۰ کیلومتر

کیلومتر مربع که دربرگیرنده حوضه نمونه ژئوشیمیایی ۳۶۲ میباشد نسبت به عناصر As و Cu ناهنجاری نشان میدهد. با توجه به نقشه زمین‌شناسی موجود واحدهای سنگی مرتبط با این محدوده آنومال ژئوشیمیایی از نوع سنگ آهک میباشد.

- محدوده امیدبخش ژئوشیمیایی G11 در مرکز منطقه مورد مطالعه با مساحت تقریبی ۹۰۱ کیلومتر

مربع که دربرگیرنده حوضه نمونه ژئوشیمیایی ۸۳ میباشد نسبت به عنصر W ناهنجاری نشان میدهد. با توجه به نقشه زمین‌شناسی موجود واحدهای سنگی مرتبط با این محدوده آنومال ژئوشیمیایی از نوع سنگ آهک میباشد.

- محدوده امیدبخش ژئوشیمیایی G12 در شمال منطقه مورد مطالعه با مساحت تقریبی ۱۰۰ کیلومتر

مربع که دربرگیرنده حوضه نمونه ژئوشیمیایی ۴۴۰ میباشد نسبت به عنصر Hg ناهنجاری نشان میدهد. با توجه به نقشه زمین‌شناسی موجود واحدهای سنگی مرتبط با این محدوده آنومال ژئوشیمیایی از نوع سنگ آهک میباشد.

- محدوده امیدبخش ژئوشیمیایی G13 در شمال منطقه مورد مطالعه با مساحت تقریبی ۱۰۰ کیلومتر

مربع که دربرگیرنده حوضه نمونه ژئوشیمیایی ۳۸۳ میباشد نسبت به عنصر Ag ناهنجاری نشان



میدهد. با توجه به نقشه زمین‌شناسی موجود واحدهای سنگی مرتبط با این محدوده آنومال ژئوشیمیایی از نوع سنگ آهک میباشد.

- محدوده امیدبخش ژئوشیمیایی G14 در مرکز منطقه مورد مطالعه با مساحت تقریبی ۰/۸۹ کیلومتر

مربع که دربرگیرنده حوضه نمونه‌های ژئوشیمیایی ۲۹۱، ۲۹۳، ۳۰۱ و ۳۰۳ میباشد نسبت به عناصر

S، P، Cd و Pb ناهنجاری نشان میدهد. با توجه به نقشه زمین‌شناسی موجود واحدهای سنگی

مرتبط با این محدوده آنومال ژئوشیمیایی از نوع سنگ آهک میباشد.

- محدوده امیدبخش ژئوشیمیایی G15 در جنوب منطقه مورد مطالعه با مساحت تقریبی ۰/۲۷

کیلومتر مربع که دربرگیرنده حوضه نمونه ژئوشیمیایی ۲۴۶ میباشد نسبت به عنصر Bi ناهنجاری

نشان میدهد. با توجه به نقشه زمین‌شناسی موجود واحدهای سنگی مرتبط با این محدوده آنومال

ژئوشیمیایی از نوع سنگ آهک میباشد.

- محدوده امیدبخش ژئوشیمیایی G16 در شمال منطقه مورد مطالعه با مساحت تقریبی ۰/۰۹

کیلومتر مربع که دربرگیرنده حوضه نمونه ژئوشیمیایی ۳۱۳ میباشد نسبت به عناصر Cu و Pb

ناهنجاری نشان میدهد. با توجه به نقشه زمین‌شناسی موجود واحدهای سنگی مرتبط با این محدوده

آنومال ژئوشیمیایی از نوع سنگ آهک میباشد.

- محدوده امیدبخش ژئوشیمیایی G17 در شمالشرق منطقه مورد مطالعه با مساحت تقریبی ۰/۱۶

کیلومتر مربع که دربرگیرنده حوضه نمونه ژئوشیمیایی ۲۴ میباشد نسبت به عنصر Sb ناهنجاری

نشان میدهد. با توجه به نقشه زمین‌شناسی موجود واحدهای سنگی مرتبط با این محدوده آنومال

ژئوشیمیایی از نوع سنگ آهک میباشد.

- محدوده امیدبخش ژئوشیمیایی G18 در شمالشرق منطقه مورد مطالعه با مساحت تقریبی ۰/۱

کیلومتر مربع که دربرگیرنده حوضه نمونه ژئوشیمیایی ۳۹۷ میباشد نسبت به عنصر Au ناهنجاری

نشان میدهد. با توجه به نقشه زمین‌شناسی موجود واحدهای سنگی مرتبط با این محدوده آنومال

ژئوشیمیایی از نوع سنگ آهک و آبرفت میباشد.



- محدوده امیدبخش ژئوشیمیایی G19 در شرق منطقه مورد مطالعه با مساحت تقریبی ۱۵۰ کیلومتر

مربع که دربرگیرنده حوضه نمونه ژئوشیمیایی ۳۴۸ میباشد نسبت به عنصر Au ناهنجاری نشان میدهد. با توجه به نقشه زمین‌شناسی موجود واحدهای سنگی مرتبط با این محدوده آنومال ژئوشیمیایی از نوع سنگ آهک و واحدهای نفوذی حدواسط میباشد.

- محدوده امیدبخش ژئوشیمیایی G20 در شرق منطقه مورد مطالعه با مساحت تقریبی ۷۵۰ کیلومتر

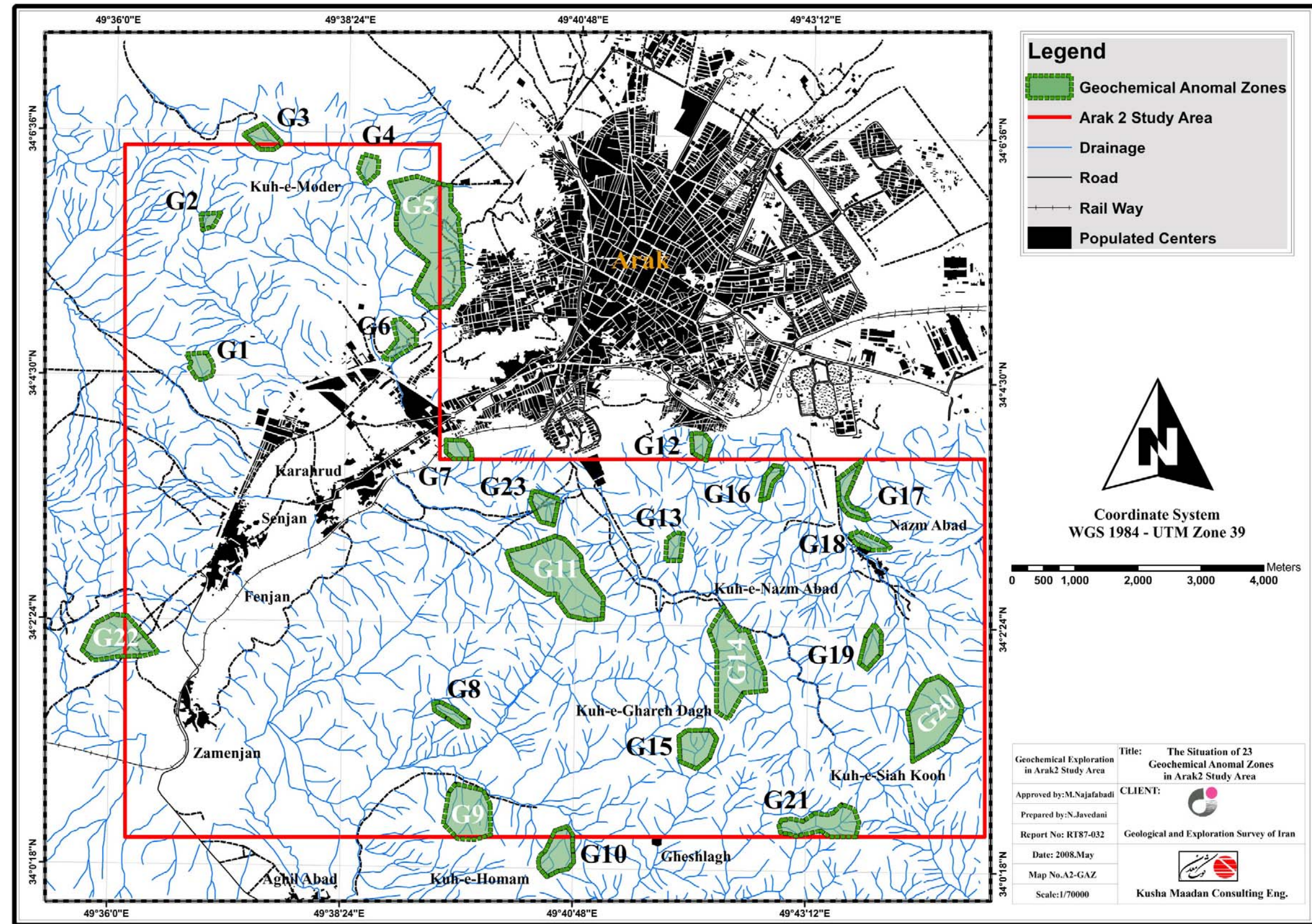
مربع که دربرگیرنده حوضه نمونه ژئوشیمیایی ۱۳۹، ۱۴۰ و ۱۴۱ میباشد نسبت به عناصر Mo و طلال ناهنجاری نشان میدهد. با توجه به نقشه زمین‌شناسی موجود واحدهای سنگی مرتبط با این محدوده آنومال ژئوشیمیایی از نوع سنگ آهک میباشد.

- محدوده امیدبخش ژئوشیمیایی G21 در جنوبشرق منطقه مورد مطالعه با مساحت تقریبی ۴۰ کیلومتر مربع که دربرگیرنده حوضه نمونه ژئوشیمیایی ۲۵۷ میباشد نسبت به عنصر Ba ناهنجاری نشان میدهد. با توجه به نقشه زمین‌شناسی موجود واحدهای سنگی مرتبط با این محدوده آنومال ژئوشیمیایی از نوع سنگ آهک میباشد.

- محدوده امیدبخش ژئوشیمیایی G22 در غرب منطقه مورد مطالعه با مساحت تقریبی ۵۶۰ کیلومتر

مربع که دربرگیرنده حوضه نمونه ژئوشیمیایی ۳۵۱ میباشد نسبت به عنصر Au ناهنجاری نشان میدهد. با توجه به نقشه زمین‌شناسی موجود واحدهای سنگی مرتبط با این محدوده آنومال ژئوشیمیایی از نوع سنگ آهک میباشد.

- محدوده امیدبخش ژئوشیمیایی G23 در شمال منطقه مورد مطالعه با مساحت تقریبی ۱۶۰ کیلومتر مربع که دربرگیرنده حوضه نمونه ژئوشیمیایی ۴۰۷ میباشد نسبت به عنصر Ag ناهنجاری نشان میدهد. با توجه به نقشه زمین‌شناسی موجود واحدهای سنگی مرتبط با این محدوده آنومال ژئوشیمیایی از نوع سنگ آهک میباشد



شکل (۲-۸۸) : محدوده های امیدبخش ژئو شیمیایی در منطقه مطالعاتی



فصل سوم

اکتشافات کانی سنگین



۳- اکتشافات کانی سنگین

۳-۱- روش نمونه برداری و اهداف آن (بند ۲-۳ شرح خدمات)

همانطور که پیش از این نیز بدان اشاره شد با توجه به وسعت نسبتاً زیاد منطقه مطالعاتی استفاده از روش نمونه برداری از رسوبات آبراهه‌ای میتواند مناسبترین روش مطالعاتی در نظر گرفته شود. در این بخش برخلاف روش مطالعات ژئوشیمیایی و برداشت نمونه‌های ژئوشیمی که در آن هدف اندازه‌گیری کل مقدار یک عنصر در سنگ و توزیع آنهاست، در اینجا هدف اندازه‌گیری فاز پیدایش هر عنصر به صورت کانی مستقل آن است. با استفاده از این روش میتوان نسبت به تعیین مناطق ناهنجار، نوع کانیهای درگیر در منطقه، تیپهای احتمالی کانی‌سازی و روابط زایشی کانی‌شناسی (پاراژنزی) در منطقه اقدام نمود. البته این روش محدودیتها را دارا میباشد که از آن جمله میتوان به نیمه‌کمی و حتی کیفی بودن این روش اشاره نمود. در مجموع این روش در کنار روش ژئوشیمیایی می‌تواند بسیار مفید باشد.

۳-۲- طراحی شبکه نمونه برداری و نحوه نمونه برداری و کدگذاری نمونه‌ها

طراحی شبکه نمونه برداری بر اساس شرح خدمات (بند ۲-۳) انجام شده است. با توجه به شرح خدمات مذکور تعداد ۲ نمونه به ازاء هر کیلومتر مربع در نظر گرفته شده است. چگالی مذکور تقریباً حدود یک سوم چگالی نمونه برداری ژئوشیمیایی است. با توجه به مطالب فوق نقشه نمونه برداری کانی سنگین طراحی و در اختیار ناظر محترم قرار گرفت. پس از اعمال نقطه نظرات ناظر محترم نقشه نهایی نمونه برداری کانی سنگین تهیه شد که در آن محل و موقعیت تعداد ۱۷۹ نمونه کانی سنگین طراحی و تایید شده است.

در بخش اجراء عملیات نمونه برداری کانی سنگین با استفاده از الک ۲۰ مش و مطابق با شرح خدمات اقدام به جدایش ذرات کوچکتر از ۲۰ مش رسوبات هر محل نمونه برداری گردید. نمونه‌های برداشت شده دارای حجمی بین ۵ تا ۱۰ لیتر می‌باشند. کلیه نمونه‌ها دارای یک شماره منحصر بفرد و شامل سه کد به شرح زیر میباشد:

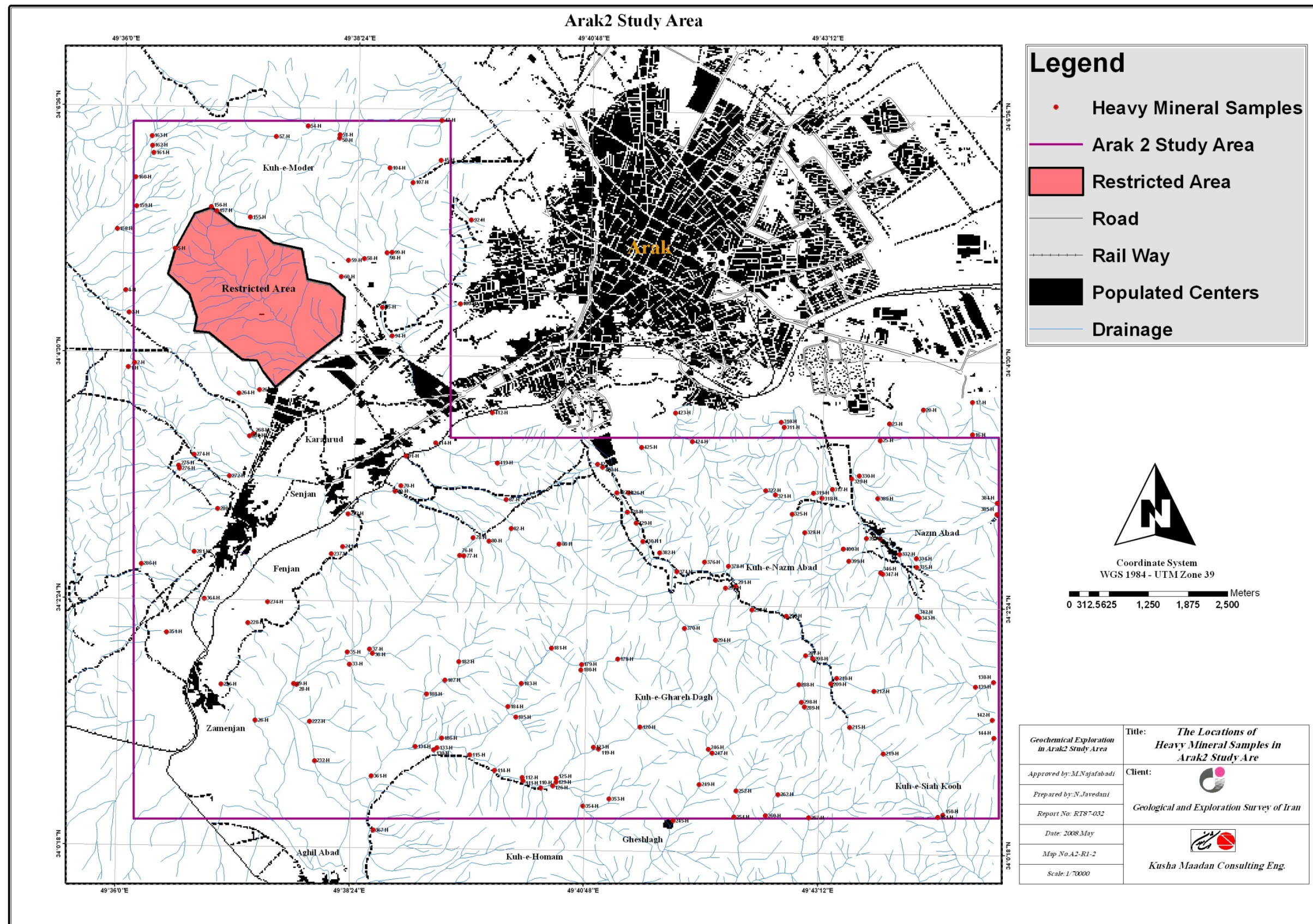
- کد اول معرف نام محل انجام پروژه است که برای کلیه نمونه‌ها (A2) در نظر گرفته شده است.



- کد دوم معرف شماره محل نمونه برداشی که در فاز طراحی تعیین و به همراه مختصات مربوطه در اختیار کارشناسان نمونه بردار قرار گرفته است.
 - کد سوم معرف نوع نمونه برداشت شده است. برای مشخص کردن نمونه های کانی سنگین از کد (H) استفاده شده است. به طور مثال شماره نمونه شماره H-A2-112 معرف نمونه کانی سنگین مربوط به محل شماره ۱۱۲ در منطقه اراک ۲ میباشد.
- پس از اتمام عملیات نمونه برداری کانی سنگین، در مجموع ۱۷۶ نمونه کانی سنگین در این فاز برداشت گردید. محل برداشت نمونه های نهایی کانی سنگین در شکل (۱-۳) تحت عنوان نقشه A2-R1-2 نشان داده شده است. شماره و مختصات محل برداشت نمونه های کانی سنگین نیز در جدول شماره (۱-۳) در بخش پیوست گزارش ارائه شده است.

۳-۳-۳- نحوه آماده سازی نمونه های کانی سنگین

کلیه نمونه های کانی سنگین در کمپ کنترل و به لحاظ حجم نمونه، صحت بسته بندی و شماره نمونه کنترل شده و پس از کنترل تحویل تکنسین نمونه شوی مستقر در محل کمپ شد. نمونه ها پس از طی مراحل حجم سنگی، گل شویی، لاوک شویی و خشک کردن در بسته بندی های مناسب به تهران و آزمایشگاه مربوطه منتقل گردید. نمونه های منتقل شده بر اساس شرح خدمات (بند ۳-۳) مراحل آماده سازی را طی کرده و سپس در اختیار کارشناس مطالعه کننده قرار گرفت. مراحل مطالعه نیز بر طبق شرح خدمات (بند ۳-۵) انجام شده و فایل رقومی آن با فرمات اکسل در اختیار مشاور قرار گرفت.



شكل (۱-۳) : نقشه توزیع محل ۱۷۶ نمونه کانی سنگین برداشت شده در منطقه مطالعاتی



۴-۳-بورسی آماری داده‌ها

۴-۳-۱-بورسی پارامترهای آماری و رسم دیاگرامهای آماری داده‌ها

بر اساس نتایج حاصل از مطالعات انجام شده بر روی ۱۷۶ نمونه کانی سنگین برداشت شده، تعداد ۴۲ مورد کانی مشاهده و گزارش شده که بصورت یک فایل رقومی با فرمت اکسل در اختیار مشاور قرار گرفته است. نتایج کامل مطالعات کانی سنگین انجام شده در جدول (۳-۲) پیوست آورده شده است. در برخی موارد مانند طلا و الکتروم اطلاعات دیگری از قبیل شکل، اندازه و تعداد ذرات مشاهده شده نیز بصورت دستنویس در اختیار مشاور قرار داده شده است. در جدول شماره (۳-۳) نام کانیهای مشاهده شده و همچنین تعداد موارد مشاهده شده مشخص شده است.

جدول (۳-۳): کانیهای مشاهده شده در مطالعات نمونه های کانی سنگین به همراه تعداد نمونه های حاوی هر کانی در منطقه مطالعاتی

| Row | Mineral | Observed Number | Row | Mineral | Observed Number |
|-----|--------------|-----------------|-----|---------------|-----------------|
| 1 | ALT.SIL. | 176 | 22 | HEMATITE | 176 |
| 2 | AMPHIBOL | 7 | 23 | ILMENITE | 2 |
| 3 | ANATASE | 12 | 24 | KIANITE | 18 |
| 4 | ANDALUSITE | 11 | 25 | LEUCOXENE | 42 |
| 5 | AZORITE | 1 | 26 | LIMONITE | 71 |
| 6 | APATITE | 12 | 27 | MAGNETITE | 176 |
| 7 | BARITE | 76 | 28 | MALACHITE | 1 |
| 8 | AMETYSTE | 1 | 29 | MARTITE | 2 |
| 9 | CALCITE | 174 | 30 | MASSICOT | 15 |
| 10 | CHALCOPYRITE | 3 | 31 | MONAZITE | 108 |
| 11 | CHLORITE | 8 | 32 | NATIVE COPPER | 16 |
| 12 | CINNABAR | 1 | 33 | NATIVE LEAD | 4 |
| 13 | CERUSSITE | 58 | 34 | Pyrite (Sum) | 175 |
| 14 | ELECTROM | 5 | 35 | PYROLUSITE | 45 |
| 15 | EPIDOTS | 6 | 36 | PYROXENES | 58 |
| 16 | FELDSPAR | 170 | 37 | RUTILE | 61 |
| 17 | FLOURITE | 2 | 38 | SAPHIRE | 11 |
| 18 | GALENA | 57 | 39 | SERICITE | 134 |
| 19 | GARNET | 12 | 40 | SMITHSONITE | 20 |
| 20 | GOLD | 3 | 41 | SPHENE | 1 |
| 21 | GOETHITE | 171 | 42 | ZIRCON | 82 |



اطلاعات مربوط به ۱۳ پارامتر آماری محاسبه شده برای ۴۲ کانی مورد مطالعه در جدول (۴-۳) آورده شده است. پارامترهای آماری آمده در این جدول شامل تعداد نمونه های معتبر بکار رفته در تحلیل، تعداد نمونه های حذف شده از تحلیل، مقدار میانگین، میانه، مد، انحراف معیار، چولگی، کشیدگی، کمینه، بیشینه و مقادیر نظیر ۲۵٪، ۷۵٪ و ۵۰٪ فراوانی آورده شده است. از آنجاییکه مقدار ۵۰٪ فراوانی معادل مقدار میانه میباشد لذا میتوان گفت که در این جدول ۱۲ پارامتر آماری محاسبه شده است.

همانطورکه با توجه به این جدول مشاهده میشود اغلب کانیهای مورد مطالعه به لحاظ تعداد موارد مشاهده شده در حد نیستند که بتوان از آنها در تحلیلهای آماری استفاده کرد لذا برای هرچه معنی دارتر و معتبر شدن نمودارهای هیستوگرام و فراوانی تجمعی و تحلیلهای آماری از متغیرهایی استفاده شده است که تعداد موارد مشاهده شده در آنها در حد قابل قبول و مناسبی باشد. بنابراین تنها برای ۱۶ متغیر کانی شناسی- Alt-Sil ، Hematite ، Goethite ، Galena ، Feldspar ، Cerussite ، Calcite ، Barite ، Min و Sericite ، Pyroxene ، Pyrolusite ، Monazite ، Magnetite ، Leucoxene امکان ترسیم نمودارهای مذکور وجود دارد که در اشکال (۳-۲) تا (۳-۱۷) بخش پیوست آورده شده است.

با توجه به نمودارهای رسم شده و نتایج پارامترهای آماری مشاهده میشود که تمام متغیرهای مورد مطالعه دارای تابع توزیع نزدیک به لاغرمال و L دارند تعدادی از آنها شاهدی بر پتانسیل کانی سازی نسبی این کانیها در منطقه می باشد. همانطورکه پیش از این نیز بدان اشاره شده است استنباطها و تحلیلهای آماری انجام شده بر روی این داده ها بعلت ماهیت کیفی و نیمه کمی آنها چندان معتبر نیستند لذا در این بخش صرفا به تحلیل نسبی مقادیر حاصله به تفکیک عنصر معرف در هر کانی پرداخته خواهد شد.

جدول (۳-۴) : پارامترهای آماری محاسبه شده براساس مقادیر کافی سنجین در منطقه مطالعه

| Variable | | ALTSIL. | AMPHIBOL | ANATASIE | ANDALUSITE | AZORITE | APATITE | AMETYSTE | BARITE | CALCITE | CHALCOPYRITE | CHLORITE |
|------------------------|----------|----------|----------|----------|------------|----------|---------|----------|--------|----------|--------------|----------|
| N | Valid | 176 | 7 | 12 | 11 | 1 | 12 | 1 | 76 | 174 | 3 | 8 |
| | Missing | 0 | 169 | 164 | 165 | 175 | 164 | 175 | 100 | 2 | 173 | 168 |
| Mean | 200.4 | 0.001 | 0.001 | 0.001 | 0.001 | 0.024 | 0.001 | 0.001 | 3.7 | 1.4 | 0.001 | 1.3 |
| Median | 144 | 0.001 | 0.001 | 0.001 | 0.001 | 0.001 | 0.001 | 0.001 | 0.001 | 0.001 | 0.001 | 0.001 |
| Mode | 108 | 0.001 | 0.001 | 0.001 | 0.001 | 0.001 | 0.001 | 0.001 | 0.001 | 0.001 | 0.001 | 0.001 |
| Std. Deviation | 200.90 | 0.00 | 0.00 | 0.00 | 0.00 | 0.08 | 0.00 | 0.00 | 22.41 | 7.67 | 0.00 | 3.56 |
| Skewness | 1.76 | | | | | | 3.46 | | | 7.17 | 7.93 | 2.83 |
| Std. Error of Skewness | 0.18 | 0.79 | 0.64 | 0.66 | | | 0.64 | | | 0.28 | 0.18 | 1.22 |
| Kurtosis | 3.03 | | | | | | 12.00 | | | 53.97 | 72.38 | 8 |
| Std. Error of Kurtosis | 0.36 | 1.59 | 1.23 | 1.28 | | | 1.23 | | | 0.54 | 0.37 | 1.48 |
| Minimum | 0.9 | 0.001 | 0.001 | 0.001 | 0.001 | 0.001 | 0.001 | 0.001 | 0.001 | 0.001 | 0.001 | 0.001 |
| Maximum | 959 | 0.001 | 0.001 | 0.001 | 0.001 | 0.274 | 0.001 | 0.001 | 180 | 81 | 0.001 | 10 |
| Percentiles | 25 | 66.6 | 0.001 | 0.001 | 0.001 | 0.001 | 0.001 | 0.001 | 0.001 | 0.001 | 0.001 | 0.001 |
| | 50 | 144 | 0.001 | 0.001 | 0.001 | 0.001 | 0.001 | 0.001 | 0.001 | 0.001 | 0.001 | 0.001 |
| | 75 | 267.3 | 0.001 | 0.001 | 0.001 | 0.001 | 0.001 | 0.001 | 0.001 | 0.001 | 0.216 | 0.001 |
| Variable | CINNABAR | CERUSITE | ELECTROM | EPIDOTS | FELDSPAR | FLOURITE | GALENA | GARNET | GOLD | GOETHITE | HEMATITE | |
| N | Valid | 1 | 58 | 5 | 6 | 170 | 2 | 57 | 12 | 3 | 171 | 176 |
| | Missing | 175 | 118 | 171 | 170 | 6 | 174 | 119 | 164 | 173 | 5 | 0 |
| Mean | 0.001 | 3.3 | 0.001 | 0.001 | 0.9 | 10.7 | 3.2 | 0.5 | 0.0 | 69.5 | 321.9 | |
| Median | 0.001 | 0.001 | 0.001 | 0.001 | 0.001 | 10.67 | 0.001 | 0.001 | 0.001 | 7.33 | 237.44 | |
| Mode | 0.001 | 0.001 | 0.001 | 0.001 | 0.001 | 0.001 | 0.001 | 0.001 | 0.001 | 0.001 | 254.4 | |
| Std. Deviation | 15.96 | 0 | 0 | 4.79 | 15.08 | 16.61 | 1.77 | 0 | 186.7 | | 384.40 | |
| Skewness | 5.18 | | | | 6.36 | | 5.50 | 3.46 | | 7.67 | | 2.61 |
| Std. Error of Skewness | 0.31 | 0.91 | 0.85 | 0.19 | 0.32 | 0.64 | 1.22 | 0.19 | 0.18 | | | |
| Kurtosis | 26.05 | | | | 41.96 | | 30.31 | 12.00 | | 76.06 | | 8.65 |
| Std. Error of Kurtosis | 0.62 | 2 | 1.74 | 0.37 | | | 0.62 | 1.23 | | 0.37 | | 0.36 |
| Minimum | 0.001 | 0.001 | 0.001 | 0.001 | 0.001 | 0.001 | 0.001 | 0.001 | 0.001 | 0.001 | 0.001 | |
| Maximum | 91 | 0.001 | 0.001 | 0.001 | 40.500 | 21.333 | 105 | 6 | 0.001 | 2052.160 | 2472 | |
| Percentiles | 25 | 0.001 | 0.001 | 0.001 | 0.001 | 0.001 | 0.001 | 0.001 | 0.001 | 0.001 | 75.71 | |
| | 50 | 0.001 | 0.001 | 0.001 | 0.001 | 10.67 | 0.001 | 0.001 | 0.001 | 7.33 | 237 | |
| | 75 | 0.001 | 0.001 | 0.001 | 0.135 | 21.33 | 0.001 | 0.001 | 0.001 | 70.4 | 424 | |

جدول (۴-۳) : پارامترهای آماری محاسبه شده بر اساس مقادیر کافی سنجین در منطقه مطالعاتی (آمده)

| Variable | | ILMENITE | KIANTITE | LEUCOXENE | LIMONITE | MAGNETITE | MALACHITE | MARITITE | MASSICOT | MONAZITE | NATIVE COPPER |
|------------------------|---------|------------------------|--------------|-----------|----------|-----------|-----------|-------------|----------|----------|---------------|
| N | Valid | 2 | 18 | 42 | 71 | 176 | 1 | 2 | 15 | 108 | 16 |
| | Missing | 174 | 158 | 134 | 105 | 0 | 175 | 174 | 161 | 68 | 160 |
| Mean | 125.3 | 1.6 | 0.5 | 3.7 | 15.3 | 0.001 | 190.0 | 0.001 | 313.2 | 20.5 | |
| Median | 125.3 | 0.001 | 0.001 | 0.001 | 0.001 | 0.001 | 0.001 | 190 | 0.001 | 229 | 0.001 |
| Mode | 0.001 | 0.001 | 0.001 | 0.001 | 0.001 | 0.001 | 0.001 | 100 | 0.001 | 0.001 | 0.001 |
| Std. Deviation | 177.25 | 6.49 | 2.88 | 30.06 | 49.42 | | 127.28 | 0.00 | 347.50 | 82.02 | |
| Skewness | | 4.23 | 6.41 | 8.42 | 4.22 | | | | 1.82 | 4 | |
| Std. Error of Skewness | | 0.54 | 0.37 | 0.28 | 0.18 | | | | 0.58 | 0.23 | 0.56 |
| Kurtosis | | 17.93 | 41.34 | 70.91 | 19.86 | | | | 3.23 | 16 | |
| Std. Error of Kurtosis | | 1.04 | 0.72 | 0.56 | 0.36 | | | | 1.12 | 0.46 | 1.09 |
| Minimum | 0.001 | 0.001 | 0.001 | 0.001 | 0.001 | 0.001 | 0.001 | 100 | 0.001 | 0.001 | 0.001 |
| Maximum | 251 | 27.6 | 18.667 | 253.3 | 327.6 | 0.001 | 280 | 0.001 | 1600 | 328.1 | |
| Percentiles | 25 | 0.001 | 0.001 | 0.001 | 0.001 | 0.001 | 0.001 | 100 | 0.001 | 80 | 0.001 |
| 50 | 125.3 | 0.001 | 0.001 | 0.001 | 0.001 | 0.001 | 0.001 | 190 | 0.001 | 228.7 | 0.001 |
| 75 | 250.7 | 0.001 | 0.001 | 0.001 | 0.758 | 0.001 | 0.001 | 280 | 0.001 | 400 | 0.001 |
| Variable | | NATIVE LEAD PYROLUSITE | PYRRHOMELITE | Pyrite | RUTILE | SAPPHIRE | SERICITE | SMITHSONITE | SPHENONE | ZIRCON | |
| N | Valid | 4 | 45 | 58 | 175 | 61 | 11 | 134 | 20 | 1 | 82 |
| | Missing | 172 | 131 | 118 | 1 | 115 | 165 | 42 | 156 | 175 | 94 |
| Mean | 0.001 | 72.4 | 22.8 | 817.9 | 0.0 | 0.2 | 64.6 | 0.2 | 0.001 | 0.001 | |
| Median | 0.001 | 6.309 | 0.001 | 576 | 0.001 | 0.001 | 22.4 | 0.001 | 0.001 | 0.001 | |
| Mode | 0.001 | 0.001 | 0.001 | 80 | 0.001 | 0.001 | 0.001 | 0.001 | 0.001 | 0.001 | |
| Std. Deviation | 0.00 | 202.14 | 142.1 | 958.6 | 0 | 0.47 | 101.1 | 0.45 | | 0 | |
| Skewness | | 3.96 | 7.39 | 2.424 | | 2.95 | 2.91 | 2.20 | | | |
| Std. Error of Skewness | | 1.01 | 0.35 | 0.31 | 0.184 | 0.31 | 0.66 | 0.21 | 0.51 | 0.27 | |
| Kurtosis | | 17.41 | 55.48 | 7.01 | | 8.91 | 10.83 | 3.29 | | | |
| Std. Error of Kurtosis | | 2.62 | 0.69 | 0.62 | 0.365 | 0.6 | 1.28 | 0.42 | 0.99 | 0.53 | |
| Minimum | 0 | 1119 | 1075 | 5600 | 0.001 | 1.6 | 634.7 | 1.383 | 0.001 | 0.001 | |
| Maximum | 25 | 0.001 | 0.001 | 200 | 0.001 | 0.001 | 3.136 | 0.001 | 0.001 | 0.001 | |
| Percentiles | 50 | 6.309 | 0.001 | 576 | 0.001 | 0.001 | 22.4 | 0.001 | 0.001 | 0.001 | |
| 75 | 0.001 | 24.411 | 0.001 | 1000 | 0.001 | 0.001 | 84 | 0.001 | 0.001 | 0.001 | |



- کانیهای طلادر: با توجه به نتایج حاصل، ۲ مورد کانی حاوی طلا مشاهده شده است که شامل طلای آزاد و الکتروم (آلیاژ طلا و نقره) میباشد. این موارد به ترتیب ۳ مورد برای طلا و ۵ مورد برای الکتروم میباشد. وجود الکتروم در حوضه بالادست یک نمونه کانی سنگین میتواند شاهدی بر عملکرد احتمالی یک سیستم اپیترمال در منطقه باشد. نمونه‌های طلای آزاد در نمونه‌های A2-23-H، A2-414-H و 364-H مشاهده شده است. موارد الکتروم نیز در نمونه‌های ۴۱۹، ۴۱۴، ۳۹۴ و ۲۴۵ مشاهده شده است. ابعاد طلای گزارش شده برای ۸ ذره به شرح زیر می‌باشد: طول بین ۱۰۰ تا ۶۰ میکرون، عرض بین ۵۰ تا ۷۰ میکرون و ضخامت بین ۱۰ تا ۱۵ میکرون.
- کانیهای باریم‌دار: با توجه به نتایج حاصل، تنها کانی باریم‌دار گزارش شده کانی باریت میباشد که در ۷۶ نمونه مشاهده شده است. مقدار گزارش شده متفاوت بوده و در اغلب موارد بصورت یک ذره است. مقدار بیشینه گزارش شده برای این کانی معادل ۱۸۰ PPM است که در نمونه کانی سنگین شماره ۲۵۷ گزارش شده است.
- کانیهای مس‌دار: با توجه به نتایج حاصل، ۴ کانی مس‌دار آزوریت، کالکوپیریت، مالاکیت و مس طبیعی گزارش شده است که به ترتیب در یک، سه، یک و ۱۶ نمونه مشاهده شده اند که همگی در حد مشاهده یک یا چند ذره بوده است. البته در نمونه کانی سنگین شماره ۴۵ مقدار مس طبیعی گزارش شده معادل ۳۲۸ PPM میباشد.
- کانیهای فلوریدار: با توجه به نتایج حاصل، تنها کانی فلوریدار گزارش شده کانی فلوریت میباشد که در ۲ نمونه مشاهده شده است. مقدار گزارش شده در نمونه کانی سنگین ۳۶۴ معادل ۲۱/۳۳ PPM و در نمونه ۹۴ بصورت یک ذره است.
- کانیهای آهن‌دار: با توجه به نتایج حاصل، ۶ کانی آهن‌دار گوتیت با ۱۷۱ مورد، هماتیت با ۱۷۶ مورد، لوکوکسن با ۴۲ مورد، لیمونیت با ۷۱ مورد، منیتیت با ۱۷۶ مورد و مارتیت با دو مورد مشاهده شده گزارش شده است. تمام کانیهای آهن‌دار گزارش شده دارای توزیع لاغنرمال و L میباشند. بیشترین



- مقدار تمرکز مربوط به کانی هماتیت با ۲۴۷۱/۹۲ گرم بر تن در نمونه کانی سنگین شماره ۲۰ میباشد. به لحاظ فراوانی نیز کانیهای هماتیت و منیتیت با ۱۷۶ مورد فراوانترین کانیهای آهن دار محسوب میشوند.
- ۶- کانیهای منگنزدار: با توجه به نتایج حاصل، تنها کانی منگنزدار گزارش شده کانی پیرولوزیت میباشد که در ۴۵ نمونه مشاهده شده است. مقدار بیشینه گزارش شده برای این کانی معادل $1119/36 \text{ PPM}$ است که این مقدار در نمونه کانی سنگین شماره ۲۰ گزارش شده است.
- ۷- کانیهای سربدار: با توجه به نتایج حاصل، ۴ کانی سرب دار سروزیت با ۵۸ مورد، گالن با ۵۷ مورد، ماسیکوت با ۱۵ مورد و سرب طبیعی با ۴ مورد مشاهده شده گزارش شده است. مقادیر مشاهده شده در مورد کانیهای ماسیکوت و سرب طبیعی در حد یک ذره بوده است ولی این موضوع در مورد کانیهای گالن و سروزیت چندان صدق نمیکند و موارد مشاهده شده در برخی نمونه ها قابل توجه بوده است بطوریکه بیشینه مقدار مشاهده شده برای کانی سروزیت معادل ۹۱ گرم بر تن و برای کانی گالن معادل ۱۰۵ گرم بر تن در نمونه کانی سنگین شماره ۱۷۹ میباشد.
- ۸- کانیهای روی دار: با توجه به نتایج حاصل، تنها کانی روی دار گزارش شده کانی اسمیتزو نیت میباشد که در ۲۰ نمونه مشاهده شده است. مقادیر گزارش شده اغلب بصورت مشاهده یک یا چند ذره بوده ولی مقدار بیشینه این کانی در نمونه کانی سنگین مشاهده شده که معادل $1/38 \text{ PPM}$ است.
- ۹- کانیهای تیتانیم دار: با توجه به نتایج حاصل، چهار کانی تیتانیم دار آناتاز با ۱۲ مورد، ایلمنیت با ۲ مورد، روتیل با ۶۱ و اسفن با یک مورد مشاهده شده گزارش شده است. مقادیر مشاهده شده در مورد کانیهای آناتاز، روتیل و اسفن در حد یک ذره بوده است. کانی ایلمنیت نیز در یک نمونه بصورت یک ذره و در نمونه کانی سنگین ۳۶۴ با $250/66 \text{ گرم بر تن}$ دارای بیشینه مقدار در بین کانیهای تیتانیم دار است.
- ۱۰- کانیهای جیوه دار: با توجه به نتایج حاصل، تنها کانی جیوه دار گزارش شده کانی سینابر میباشد که تنها در نمونه کانی سنگین شماره ۴۱۴ بصورت یک ذره مشاهده شده است.



۱۱- کانیهای دارای عناصر نادر خاکی REE : با توجه به نتایج حاصل، یک کانی حاوی عناصر نادر خاکی

مونازیت گزارش شده است که به ترتیب در ۱۰۸ نمونه مشاهده شده است. مقدار مونازیت در ۹ نمونه

بالای ۱۰۰۰ گرم در تن و در ۷۶ نمونه بالای ۱۰۰ گرم در تن میباشد که در این بین نمونه کانی سنگین

۱۸۳ با ۱۶۰۰ گرم در تن دارای بیشینه مقدار مونازیت در بین نمونه‌های برداشت شده است.

۱۲- کانیهای معرف فعالیتهای دگرگونی: با توجه به نتایج حاصل، ۴ کانی معرف فعالیتهای دگرگونی

آنالوژیت با ۱۱ مورد، اپیدوت با ۶ مورد، گارنت با ۱۲ مورد و کیانیت با ۱۸ مورد مشاهده شده گزارش

شده است. مقادیر مشاهده شده در مورد کانیهای آندالوژیت و اپیدوت در حد یک ذره بوده است ولی این

موضوع در مورد کانیهای گارنت و کیانیت در حد جند گرم در تن بوده است.

۱۳- کانی پیریت: با توجه به نتایج حاصل، ۳ نوع پیریت در این گزارش آمده است. این سه نوع پیریت

عبارتند از پیریت، پیریت لیموئیت و پیریت اکسیدی که به ترتیب در ۸۸، ۱۱۲ و ۱۷۵ نمونه مشاهده شده

است. مقادیر مشاهده شده متفاوت بوده و بیشینه مقدار این کانی بصورت کانی پیریت اکسیدی در نمونه

کانی سنگین شماره ۴۷ با مقدار ۵۶۰۰ گرم بر تن گزارش شده است. از آنجاییکه انواع کانیهای پیریت

مشاهده شده بعنوان ردیاب مناسب کانی‌سازیها عمل میکنند لذا یک متغیر جدید که از مجموع انواع

کانیهای پیریت تشکیل شده میتواند بسیار مفید واقع شود. مقدار بیشینه و میانگین این متغیر جدید که

دارای تابع توزیع لاغر نرمال میباشد به ترتیب برابر ۵۶۰۰ و ۸۱۸ گرم بر تن میباشد.



۴-۲-۳- تعیین ضرایب همبستگی

همانطور که از پارامترهای آماری کانیهای سنگین مشخص است اغلب کانیها بواسطه کم بودن موارد مشاهده شده از اعتبار تحلیلهای آماری میکاهند لذا تنها ۱۶ متغیر اشاره شده در بخش ۳-۴-۱ بهمراه ۲ متغیر جدید M (مجموع کانه‌های گزارش شده) و Sum-Ore NM (مجموع باریت و فلورین) در تحلیلهای آماری دو متغیره و چندمتغیره شرکت داده شده‌اند. بدین ترتیب ضرایب همبستگی پیرسون و اسپیرمن متغیرهای ۱۸ گانه محاسبه شد که نتایج آن طی دو جدول (۳-۵) و (۳-۶) آورده شده است. در این جداول برای هر زوج متغیر دو مقدار محاسبه شده است که به ترتیب معرف میزان همبستگی و سطح اعتماد ضریب همبستگی محاسبه شده میباشند. در شرایطی که مقدار ضریب همبستگی در سطح اعتماد ۹۹٪ باشد با علامت دو ستاره و در صورتیکه ضریب همبستگی در سطح اعتماد ۹۵٪ باشد با علامت یک ستاره مشخص شده است. جهت سهولت در تفکیک ضرایب همبستگی این مقادیر طبق بازه‌های زیر رنگ‌آمیزی شده اند:

- رنگ قرمز برای مقادیر ضریب همبستگی بالای ۷/۰
- رنگ سبز برای مقادیر ضریب همبستگی بین ۶/۰ و ۷/۰
- رنگ آبی برای مقادیر ضریب همبستگی بین ۵/۰ و ۶/۰

با توجه به جدول مربوط به ضرایب همبستگی پیرسون جدول (۳-۵) مشاهده میشود که مقادیر ضرایب همبستگی بین متغیرهای ناهنجار منطقه بسیار بالا بوده و در ارتباط مستقیم با متغیرهای آنومال میباشد. که این بدلیل ماهیت داده‌ها و ساختار تابع توزیع این داده‌هاست و روش همبستگی پیرسون شدیداً از این موضوع متاثر است. البته جدول ضرایب همبستگی اسپیرمن (۳-۶) نیز نتایج مشابهی را بهمراه دارد با این تفاوت که کمی از شدت همبستگی‌ها کاسته شده است.



بر اساس هر دو روش کانیهای گالن، سروزیت، اسمیتزوئیت، باریت، پیرولوزیت، مجموع کانیهای (Sum Ore NM) و مجموع کانیهای غیرفلزی (Sum Ore M) در یک گروه قرار میگیرند که میتواند بیانگر کانیسازیهای احتمالی سرب و روی و حتی منگنز و ارتباط آنها با کانیسازیهای باریت و فلورین در منطقه باشد.

کانیهای هماتیت و مونازیت نیز با ضریب همبستگی نسبتا بالا با یکدیگر در ارتباط بوده و در یک گروه قرار میگیرند که با توجه به لیتوژوئی منطقه میتواند در ارتباط با سنگهای آهکی و شیلهای منطقه باشد. کانیهای منیتیت، کلسیت و پیریت در یک گروه قرار میگیرند که میتواند معرف پدیدههای کانیسازی آهن دار مرتبط با سنگهای آهکی منطقه باشد.

۳-۴-۳- آنالیز خوشای

از جمله روشهایی که روابط زایشی ملموسی را بین متغیرها مشخص میکند آنالیز خوشای میباشد. برای ترسیم نمودار شاخه درختی این تحلیل از ۱۸ متغیر کانیسنگین اشاره شده در بخش ۳-۴-۳ که دارای تعداد قابل قبول نمونه مشاهده شده در گزارش میباشند استفاده شده و با چند روش ترسیم شده است. یکی از چندین روش آزمایش شده منجر به یک نمودار دندروگرام مناسبتر به لحاظ روابط زایشی گردید که در شکل (۳-۱۸) آمده است. با توجه به نمودار مذکور مطالب زیر قابل ذکر است:

- نمودار مذکور از سه شاخه اصلی تشکیل شده است. در شاخه فوقانی مجموعه متغیرهای باریت و Sum Ore NM با رابطه زایشی نزدیک وجود دارند که کانیهای سروزیت، گالن و اسمیتزوئیت نیز به این مجموعه متصل شده‌اند. مجموعه متغیرهای فوق بیانگر نوعی فعالیت کانیسازی سرب و روی در منطقه میباشد که توسط نتایج حاصل از ضرایب همبستگی نیز تایید شده است. با فاصله دور منیتیت و سریسیت نیز با این مجموعه در ارتباط میباشند.

- در شاخه مرکزی متغیرهای کانیسنگین پیرولوزیت، لوکوکسن، گوتیت و Sum Ore M حضور دارند که میتواند معرف کانیسازیهای فلزی منگنز و دیگر فلزات و ارتباط آن با کانیهای ثانوی آهن باشد.

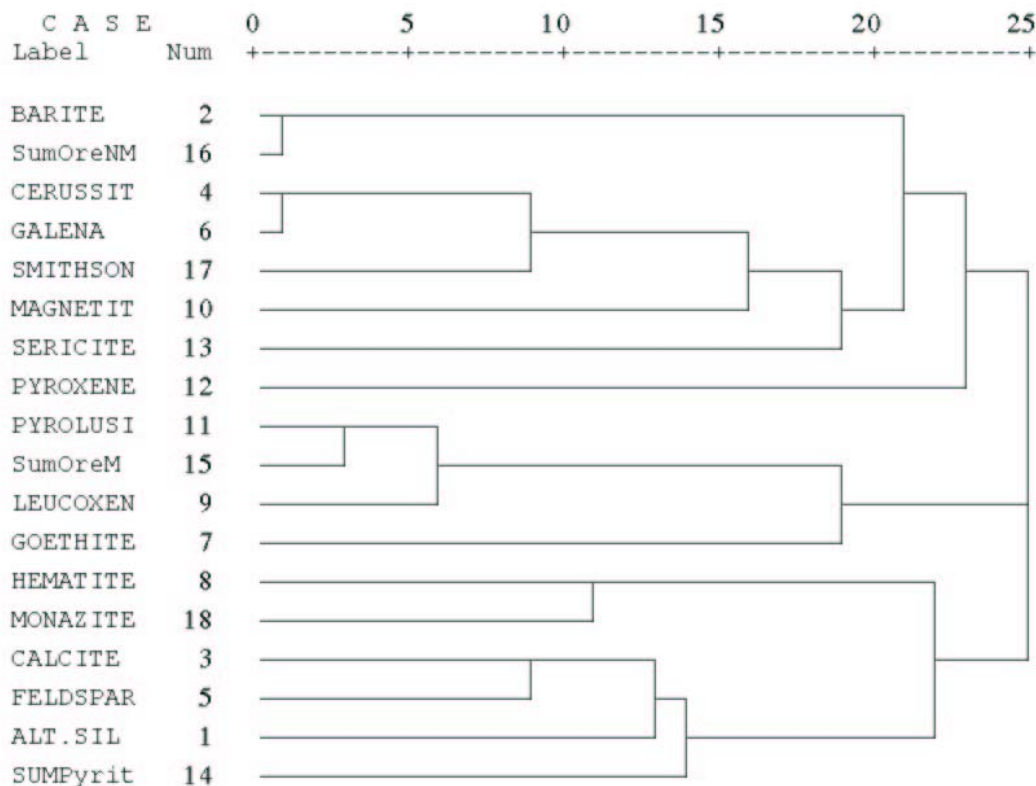


- در شاخه تحتانی این دندروگرام میتوان شاهد رابطه زایشی کانیهای هماتیت و مونازیت بود که در نتایج ضرایب همبستگی نیز این نتیجه حاصل شده بود. با مجموعه فوق کانیهای پیریت، فلدسپار، کانیهای دگرسانی و کلسیت در ارتباط میباشند که در نتایج حاصل از ضرایب همبستگی نیز این مطلب تا حدودی تایید شده بود.

* * * * * H I E R A R C H I C A L C L U S T E R A N A L Y S I S * * * *

Dendrogram using Complete Linkage

Rescaled Distance Cluster Combine



شکل (۳-۱۸): نمودار شاخص درختی ترسیم شده بر اساس نتایج مطالعات کانی سنگین در منطقه



۳-۵- روش تهیه نقشه‌های کانی‌سنگین

پس از انجام پردازشها و بررسیهای آماری اقدام به تهیه نقشه‌های کانی‌سنگین گردید. بدین منظور بر اساس ۴۲ متغیر کانی‌شناسی مطالعه شده متغیرهای Non Metalic Ores ، Pyrite (Sum) ، Metalic Ores محاسبه و در نهایت تعداد ۶ نقشه توزیع فضایی Epidot+Garnet و Monazite ، Sum Fe ، Ores متغیرهای محاسبه شده کانی‌سنگین ترسیم گردید.

از آنجاییکه نمونه‌های برداشت شده از مناطق رخمنودار دارای ماهیت برداری بوده و به بالادست خود نسبت داده میشود لذا برای ترسیم نقشه‌های مربوطه از روش تخمین شبکه‌ای استفاده شده است. با توجه به مطالب گفته شده ترسیم نقشه‌ها در سه مرحله به شرح زیر انجام پذیرفت:

الف- در ابتدا حوضه آبریز مربوط به هر محل برداشت نمونه کانی‌سنگین بصورت یک چندضلعی مشخص گردید.

ت- سپس بر اساس چندضلعی مشخص شده که محدوده پوششی هر نمونه را مشخص میکند و غلظت هر متغیر در هر نقطه با استفاده از الگوریتم تخمین شبکه‌ای نقشه توزیع هر متغیر ترسیم گردید.

ح- مقادیر تخمینی با استفاده از حدود زیر رنگ آمیزی گردید تا نقشه نهایی توزیع هر متغیر در محدوده مطالعاتی مشخص گردد:

- مقادیر تخمینی بالاتر از ۶۶٪ تا بیشینه فراوانی برنگ قرمز
- مقادیر تخمینی ۳۳٪ تا ۶۶٪ فراوانی برنگ زرد
- مقادیر تخمینی پایین‌تر از ۳۳٪ تا کمینه فراوانی برنگ آبی

۳-۶- تعبیر و تفسیر نقشه‌های کانی‌سنگین

با توجه به روش فوق تعداد ۶ نقشه مربوط به متغیرهای کانی‌سنگین تعیین شده مورد تعبیر و تفسیر قرار میگیرند که در زیر آمده است.



نقشه توزیع متغیر کانیهای دگرگونی Epidot+Garnet با شماره A2-H1 دلالت بر آن دارد که تنها محدوده ناهنجار این متغیر در غرب سنجان مشاهده میشود. از آنجاییکه محل این محدوده ناهنجار منطبق بر توده‌های نفوذی مونزونیتی در غرب منطقه میباشد لذا ظاهر شدن کانیهای محصول دگرگونی همبُری در این محل از دیدگاه زمین‌شناسی منطقی بوده و تاییدی بر رخداد چنین پدیده‌ای در غرب منطقه مطالعاتی است.

نقشه توزیع متغیر مونازیت با شماره A2-H2 دلالت بر آن دارد که محدوده‌های ناهنجار این متغیر در شرق تا شمالشرق خامن‌جان، شرق کره‌رود دیده میشود. این متغیر به لحاظ عناصر نادر خاکی (REE) (RE) بسیار با اهمیت میباشد.

نقشه توزیع متغیر کانیهای آهن Sum Fe A2-H3 دلالت بر آن دارد که محدوده‌های ناهنجار این متغیر در نواحی شرق تا شمالشرق خامن‌جان، شرق کره‌رود و شمالشرق نظم‌آباد مشاهده میشود. نقشه توزیع متغیر کانه‌های فلزی (Ore M (Sum)) با شماره A2-H4 دلالت بر آن دارد که در سه محدوده واقع در شمالغرب سنجان در غرب منطقه مطالعاتی، شرق کوه مودر و شمالشرق نظم‌آباد در شمالشرق محدوده مطالعاتی این متغیر دارای مقادیر ناهنجار میباشد که به لحاظ کانی‌سازیهای احتمالی میتواند با اهمیت باشد. با توجه به انطباق نسبی محدوده ناهنجار شمالغرب سنجان با توده نفوذی غرب منطقه مطالعاتی به نظر میرسد که کانی‌سازیها محتمل فلزی در این منطقه در ارتباط با این توده‌های نفوذی قابل توجیه باشند.

نقشه توزیع متغیر کانه‌های غیرفلزی (Ore NM (Sum)) با شماره A2-H5 دلالت بر آن دارد که در دو محدوده واقع در جنوب کوه سیاهکوه در جنوبشرقی منطقه مطالعاتی و غرب فنجان در غرب منطقه مطالعاتی این متغیر دارای مقادیر ناهنجار میباشد که به لحاظ کانی‌سازیهای احتمالی میتواند با اهمیت باشد.

نقشه توزیع متغیر کانیهای پیریت (Pyrite (Sum)) با شماره A2-H6 دلالت بر آن دارد که محدوده‌های ناهنجار این متغیر در شرق کوه مودر و جنوب کوه سیاهکوه مشاهده میشود.



۷-۳- معرفی مناطق امیدبخش کانی سنگین

با مطالعه نقشه‌های ۶ گانه تشریح شده در بخش ۳-۶ میتوان وجود برخی مناطق امیدبخش به لحاظ کانی‌سازی محتمل در منطقه مطالعاتی متذکر شد. در این بخش محدوده‌های آنومال و پرپتانسیل کانی‌سنگین معرفی می‌شود تا پس از تلفیق با نتایج حاصل از مطالعات انجام شده نمونه‌های ژئوشیمیایی (بخش دوم)، نواحی مقدماتی جهت کنترلهای صحرایی معرفی گردد. با توجه به نتایج حاصل از پردازش‌های آماری انجام شده و نقشه‌های ترسیم شده اقدام به معرفی محدوده‌های امیدبخش متغیرهای کانی‌سنگین می‌گردد که در شکل (۱۹-۳) تحت عنوان نقشه A2-HAZ آورده شده است. ۱۶ محدوده امیدبخش متغیرهای کانی‌سنگین با اطلاعاتی در مورد کانی‌های ناهنجار، نمونه‌های ناهنجار و مساحت آن در سطور زیر آورده شده است:

- محدوده امیدبخش کانی‌سنگین H1 در شمال منطقه مطالعاتی و غرب شهر اراک با وسعت حدود ۰/۹۵ کیلومترمربع که در برگیرنده حوضه آبریز نمونه‌های کانی سنگین شماره ۴۴، ۴۵، ۱۰۷ و ۱۰۴ می‌باشد نسبت به متغیرهای سروزیت، گالن، ماسیکوت، مس طبیعی، اسمیت‌زونیت، باریت، مجموعه کانی‌های آهن و مجموعه کانه‌های فلزی دارای مقادیر نانجار می‌باشد.
- محدوده امیدبخش کانی‌سنگین H2 در غرب منطقه مطالعاتی و در شرق تا شمالشرق سنجان با وسعت ۱/۹۷ کیلومترمربع که در برگیرنده حوضه آبریز نمونه‌های کانی سنگین شماره ۱۰، ۱۷۴، ۲۶۴، ۲۶۸ و ۲۶۹ می‌باشد دارای مقادیر ناهنجار نسبت به متغیرهای پیریت، پیروولوزیت، مس طبیعی و مجموعه کانه‌های فلزی می‌باشد. این محدوده امیدبخش منطبق بر توده نفوذی رخمنودار غرب منطقه و اطراف آن می‌باشد.
- محدوده امیدبخش کانی‌سنگین H3 در غرب منطقه مطالعاتی با مساحت تقریبی ۰/۴۹ کیلومترمربع که در برگیرنده حوضه آبریز نمونه کانی‌سنگین شماره ۱ می‌باشد نسبت به متغیر کانی‌سنگین پیریت دارای مقادیر ناهنجار می‌باشد.



- محدوده امیدبخش کانی سنگین H4 در غرب منطقه مطالعاتی با مساحت ۱/۶۳ کیلومترمربع که در برگیرنده حوضه های آبریز نمونه کانی سنگین شماره ۳۶۴ نسبت به متغیر باریت، فلورورین، گالن، طلا، مجموعه کانیهای آهن و مجموعه کانه های غیرفلزی دارای مقادیر ناهنجار می باشد.
- محدوده امیدبخش کانی سنگین H5 در جنوب منطقه مطالعاتی که در برگیرنده حوضه آبریز نمونه ۳۶۷ با مساحتی بالغ بر ۰/۵۳ کیلومترمربع نسبت به متغیرهای کانی سنگین مجموعه کانیهای آهن دارای مقادیر ناهنجار می باشد.
- محدوده امیدبخش کانی سنگین H6 در جنوب منطقه مطالعاتی با مساحت ۰/۱۸ کیلومترمربع در برگیرنده حوضه آبریز نمونه کانی سنگین شماره ۱۹۰ دارای مقادیر ناهنجار طلا می باشد.
- محدوده امیدبخش کانی سنگین H7 در جنوبغرب منطقه مطالعاتی با مساحتی بالغ بر ۰/۶۲ کیلومترمربع که در برگیرنده حوضه آبریز نمونه های کانی سنگین ۲۶، ۲۸، ۲۹، ۳۲، ۳۳، ۳۵، ۳۷ و ۴۱ میباشد نسبت به متغیرهای کانی سنگین مونازیت و مجموعه کانیهای آهن دارای مقادیر آنومال می باشد.
- محدوده امیدبخش کانی سنگین H8 در غرب منطقه مطالعاتی با مساحت ۰/۵۴ کیلومترمربع که در برگیرنده حوضه آبریز نمونه کانی سنگین ۲۴۲ میباشد نسبت به متغیرهای کانی سنگین پیریت و مونازیت دارای مقادیر ناهنجار می باشد.
- محدوده امیدبخش کانی سنگین H9 در شمال منطقه مطالعاتی با مساحتی بالغ بر ۰/۲۷ کیلومترمربع که در برگیرنده حوضه آبریز نمونه های کانی سنگین ۹۰، ۴۱۴، ۴۱۹، ۹۱، ۴۱۷، ۴۲۲، ۴۲۰، ۴۰۴، ۴۱۵ و ۴۲۸ می باشد نسبت به متغیرهای کانی سنگین مس طبیعی، سروزیت، الکتروم، گالن، طلا، مونازیت، باریت، اسمیتزوئنیت و مجموعه کانیهای آهن دارای مقادیر آنومال می باشد.

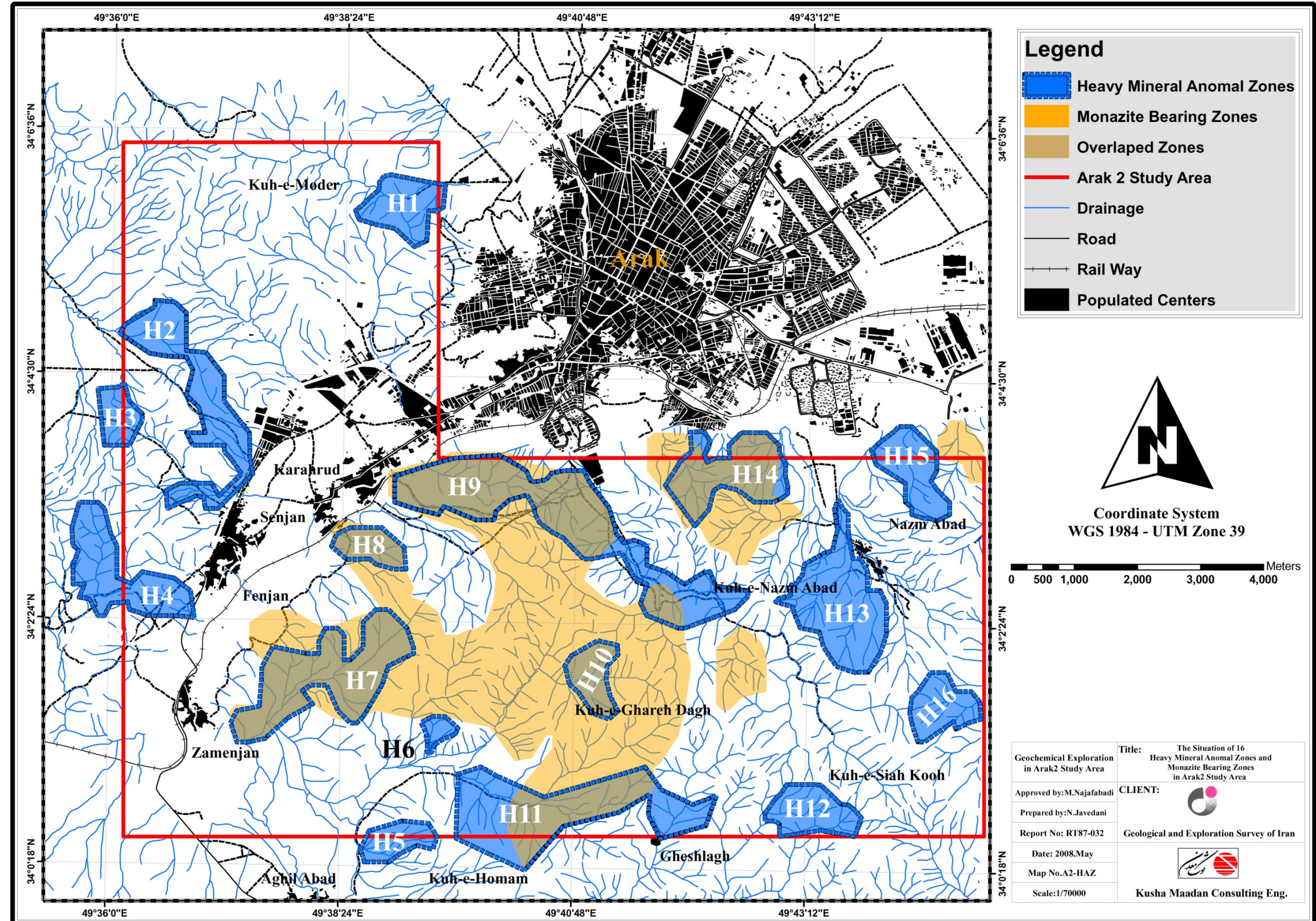


- محدوده امیدبخش کانی سنگین H10 در مرکز منطقه مطالعاتی با مساحتی بالغ بر ۶۵/۰ کیلومترمربع که در برگیرنده حوضه آبریز نمونه کانی سنگین ۱۷۹ می باشد نسبت به متغیرهای کانی سنگین سروزیت، گالن و اسمیت زونیت دارای مقادیر آنومال می باشد.
- محدوده امیدبخش کانی سنگین H11 در جنوب منطقه مطالعاتی با مساحتی بالغ بر ۱۸/۳ کیلومترمربع که در برگیرنده حوضه آبریز نمونه های کانی سنگین ۱۱۰، ۱۱۱، ۱۱۲، ۱۱۴، ۱۱۵، ۱۱۶، ۱۱۷، ۱۲۶، ۱۲۹، ۳۵۳ و ۳۶۳ می باشد نسبت به متغیرهای کانی سنگین الکتروم، پیرولوزیت، مونازیت و پیریت دارای مقادیر آنومال می باشد.
- محدوده امیدبخش کانی سنگین H12 در جنوب غرب منطقه مطالعاتی با مساحتی بالغ بر ۸۸/۰ کیلومترمربع که در برگیرنده حوضه آبریز نمونه های کانی سنگین ۲۵۵، ۲۵۶، ۲۵۷، ۲۵۸ و ۲۶۲ می باشد نسبت به متغیرهای کانی سنگین باریت، مس طبیعی و مجموعه کانه های غیرفلزی دارای مقادیر آنومال می باشد.
- محدوده امیدبخش کانی سنگین H13 در شرق منطقه مطالعاتی با مساحتی بالغ بر ۲۱/۲ کیلومترمربع که در برگیرنده حوضه آبریز نمونه های کانی سنگین ۳۲۹، ۳۹۴، ۴۰۰، ۳۹۹، ۳۴۶ و ۳۴۷ می باشد نسبت به متغیرهای کانی سنگین پیریت، پیرولوزیت، سروزیت، گالن، الکتروم، مجموعه کانه های آهن و مجموعه اپیدوت-گارنت دارای مقادیر آنومال می باشد.
- محدوده امیدبخش کانی سنگین H14 در شمال منطقه مطالعاتی با مساحتی بالغ بر ۶۲/۱ کیلومترمربع که در برگیرنده حوضه آبریز نمونه های کانی سنگین ۳۱۰، ۳۱۱، ۳۱۳، ۴۲۴ و ۴۴۰ می باشد نسبت به متغیرهای کانی سنگین پیریت، الکتروم، مس طبیعی، باریت، مجموعه کانه های آهن و مجموعه کانه های فلزی دارای مقادیر آنومال می باشد.
- محدوده امیدبخش کانی سنگین H15 در شمال شرقی منطقه مطالعاتی با مساحتی بالغ بر ۹۸/۰ کیلومترمربع که در برگیرنده حوضه آبریز نمونه های کانی سنگین ۲۰ و ۲۳ می باشد نسبت به



متغیرهای کانی سنگین پیرولوزیت، طلا، مجموعه کانیهای آهن و مجموعه کانه‌های فلزی دارای مقادیر آنومال می‌باشد.

- محدوده امیدبخش کانی سنگین H16 در جنوبشرقی منطقه مطالعاتی با مساحتی بالغ بر ۷۷ کیلومترمربع که در برگیرنده حوضه آبریز نمونه‌های کانی سنگین ۱۳۸ و ۱۳۹ می‌باشد نسبت به متغیر کانی سنگین پیریت دارای مقادیر آنومال می‌باشد.



شکل (۳-۱۹): محدوده های امیدبخش کانی سنگین بهمراه محدوده های ممتازی دار در منطقه مطالعاتی



فصل چهارم

تعییر و تفسیر داده‌ها



۴- تعبیر و تفسیر داده‌ها (بند ۳-۸ شرح خدمات)

بر اساس بند ۳-۸ شرح خدمات و با توجه به نتایج حاصل از مطالعات انجام شده در فصول گذشته نسبت به معرفی مناطق آنومال جهت کنترل صحرایی اقدام گردید. با توجه به مناطق آنومال معرفی شده ژئوشیمیایی و کانی‌سنگین نسبت به اجراء عملیات کنترل صحرایی اقدام گردید.

۴-۱- کنترل صحرایی (بند ۳-۹ شرح خدمات)

بعد از مشخص شدن محدوده‌های ناهنجار، مرحله کنترل صحرایی مناطق ناهنجار مذکور طبق بند ۳-۹ شرح خدمات انجام گردید. در این مرحله گروه نمونه برداری و کنترل آنومالی‌ها در تاریخ ۱۳۸۶/۱۲/۱۶ در شهرستان اراک واقع در شمال محدوده مستقر شده و کار کنترل آنومالی‌ها و نمونه برداری را شروع کرد که این عملیات در تاریخ ۱۳۸۶/۱۲/۲۶ به پایان رسید. محل استقرار اکیپ مذکور مهمانپذیر صدر در شهرستان اراک بوده است. در انتهای تعداد ۵۱ نمونه مینرالیزه از زونهای کانی‌سازی شده احتمالی، تعداد ۴۰ نمونه کانی‌سنگین، ۴ نمونه برای تهیه مقاطع صیقلی و ۴ نمونه برای تهیه مقاطع نازک میکروسکوپی برداشت گردید. در روی آبراهه‌های درون محدوده‌های کنترلی نقاطی برای برداشت نمونه‌های کانی‌سنگین تعیین شد و نقشه‌های مناطقی که باید کنترل می‌شد در اختیار اکیپ نمونه برداری و کنترل قرار گرفت. اکیپ مذکور درون هر محدوده آنومال به بررسی وضعیت سنگ‌شناسی، ساختاری، کانی‌سازی و التراسیون پرداخته و نمونه‌های لازم را برداشت نمود. لازم به ذکر است در نامگذاری نمونه‌ها از یک کد پنج تایی استفاده شده است. دو رقم اول همه نمونه‌ها A2 است به نشانه محدوده اراک ۲ و سه رقم بعدی شماره نمونه و حرف آخر برای نمونه‌های کانی‌سنگین H و برای نمونه‌های مینرالیزه M است. نتیجه برداشت‌های بعمل آمد که شامل ۴۰ نمونه کانی‌سنگین، ۵۱ نمونه مینرالیزه، ۴ مقاطع صیقلی و ۴ تیغه نازک می‌باشد. مشخصات مربوط به نمونه‌های مذکور در بخش‌های بعدی این گزارش آورده شده است.



۱-۱-۴- نتایج نمونه‌های کانی سنگین

در این مرحله اقدام به برداشت ۴۰ نمونه کانی سنگین با هدف تایید ناهنجاریهای کانی سنگین قبلی و استفاده از اطلاعات بیشتر در مناطق آنومال جهت بالا بردن اعتبار تعبیر و تفسیر انجام شده گردید. شماره نمونه‌های کانی سنگین برداشت شده در این مرحله بهمراه مختصات آنها و متغیرهای آنومال در هر نمونه در جدول (۱-۴) آورده شده است. نتایج مطالعات کانی سنگین برداشت شده در مرحله کنترل صحرایی طی جدول (۲-۴) در بخش پیوست آورده شده است. بعد از فایل‌بندی مناسب این داده‌ها اقدام به تلفیق اطلاعات جدید با اطلاعات کانی سنگین مرحله اول گردید. بعد از تلفیق داده‌ها متغیرهای Fe Minerals، Epidote+Garnet، Ore NM (Sum)، Ore M (Sum)، Pyrite (Sum)، Monazite تعداد ۶ نقشه توزیع فضایی متغیرهای محاسبه شده مجدداً ترسیم گردید. جهت ترسیم نقشه‌های مذکور از منطق تخمین شبکه‌ای با همان الگوریتم مشروح در بند ۳-۵ این گزارش استفاده شد که نتیجه آن نقشه‌های جدید کانی سنگین با شماره‌های A2-H7 تا A2-H12 میباشد. این نقشه‌ها بواسطه وجود ۴۰ نمونه بیشتر از اعتبار بیشتری برخوردار میباشد. این نقشه‌ها در بخش پیوست آورده شده است. شرح نقشه‌های جدید در زیر آمده است.

نقشه توزیع متغیر کانیهای دگرگونی Epidote+Garnet با شماره A2-H7 دلالت بر آن دارد که محدوده‌های آنومال این متغیر بصورت متمرکز در جنوب نظم‌آباد مشاهده میشود.

نقشه توزیع متغیر کانیهای Monazite با شماره A2-H8 دلالت بر آن دارد که محدوده‌های ناهنجار این متغیر بصورت پراکنده در مرکز منطقه مطالعاتی مشاهده میشود. مقادیر ناهنجار این متغیر در شرق تا شمال‌شرق خامن‌جان و شمال کوه قره‌داغ قابل مشاهده میباشند.

نقشه توزیع متغیر کانیهای آهن Fe Minerals با شماره A2-H9 دلالت بر آن دارد که محدوده‌های ناهنجار این متغیر در نواحی پراکنده‌ای از شمال‌شرق تا جنوب‌غرب منطقه مطالعاتی مشاهده میشود. مقادیر ناهنجار این متغیر در شرق خامن‌جان، شمال عقیل‌آباد، شمال‌شرق، غرب و جنوب‌غرب نظم‌آباد مشاهده میشود.



شکل (۴-۱) : نمونه‌های کانی سنگین بواداشت شده در مرحله کنترل صورایی بهمراه مختصات و متغیرهای تأثیرگار در هر نمونه

| ردیف | شماره نمونه | مشخصات | کانی آنمول در نمونه کانی سنگین |
|------|-------------|--------|---|
| ۱ | A2-108-H | X | پاریت، سروزت کالن، منی طیبی و مجموع کانه های فلزی و مجموع کانی های پرورت |
| ۲ | A2-109-H | X | پاریت، سروزت کالن، پریت، پریت پرورت زدرا کن مجموع کانه های فلزی و مجموع کانی های پرورت |
| ۳ | A2-116-H | X | پاریت، زبرکن، مجموع کانه های غیرفلزی و مجموع کانی های پرورت |
| ۴ | A2-117-H | X | پاریت، زبرکن، مجموع کانه های غیرفلزی و مجموع کانی های پرورت |
| ۵ | A2-132-H | X | پاریت، زبرکن، مجموع کانه های غیرفلزی و مجموع کانی های پرورت |
| ۶ | A2-174-H | X | پاریت، میلر، سروزت گالن، منی طیبی، زبرکن، مجموع کانه های غیرفلزی و مجموع کانی های پرورت |
| ۷ | A2-190-H | X | پاریت، طال، زبرکن، مجموع کانی های پرورت |
| ۸ | A2-191-H | X | لرکن، و مجموع کانی های پرورت |
| ۹ | A2-195-H | X | سروزت، کالن، موزارت، پرست، آشپزیدنگن، مجموع کانه های غیرفلزی و مجموع کانی های پرورت |
| ۱۰ | A2-198-H | X | موزارت، سروزت، مجموع کانه های غیرفلزی و مجموع کانی های پرورت |
| ۱۱ | A2-200-H | X | پاریت، سروزت، کالن، موزارت، اسپارا، مجموع کانه های فلزی و مجموع کانی های غیرفلزی و مجموع کانی های پرورت |
| ۱۲ | A2-202-H | X | پاریت، مجموع کانه های غیرفلزی و مجموع کانی های پرورت |
| ۱۳ | A2-205-H | X | پاریت، میلر، سروزت، مجموع کانه های غیرفلزی و مجموع کانی های پرورت |
| ۱۴ | A2-206-H | X | پاریت، میلر، کارست، سروزت، قارن، گرفتار، پرست، آشپزیدنگن، مجموع کانی های غیرفلزی و مجموع کانی های پرورت |
| ۱۵ | A2-24-H | X | پاریت، میلر، کارست، سروزت، قارن، گرفتار، پرست، آشپزیدنگن، مجموع کانی های غیرفلزی و مجموع کانی های پرورت |
| ۱۶ | A2-255-H | X | پاریت، میلر، کارست، سروزت، ماسلکوت، منی طیبی و مجموع کانی های پرورت |
| ۱۷ | A2-256-H | X | پاریت، سروزت، ماسلکوت، منی طیبی و مجموع کانی های پرورت |
| ۱۸ | A2-258-H | X | پاریت، موزارت، و منی طیبی، مجموع کانه های غیرفلزی و مجموع کانی های پرورت |
| ۱۹ | A2-301-H | X | پاریت، موزارت، منی طیبی، مجموع کانه های غیرفلزی و مجموع کانی های پرورت |
| ۲۰ | A2-302-H | X | پاریت، موزارت، منی طیبی، زدرا کن، مجموع کانه های غیرفلزی و مجموع کانی های پرورت |
| ۲۱ | A2-306-H | X | پاریت، منی طیبی، زدرا کن، مجموع کانه های غیرفلزی و مجموع کانی های پرورت |
| ۲۲ | A2-308-H | X | پاریت، موزارت، منی طیبی، مجموع کانه های غیرفلزی و مجموع کانی های پرورت |
| ۲۳ | A2-313-H | X | پاریت، منی طیبی، مجموع کانه های غیرفلزی و مجموع کانی های پرورت |
| ۲۴ | A2-32-H | X | پاریت، موزارت، زدرا کن، مجموع کانه های غیرفلزی و مجموع کانی های پرورت |
| ۲۵ | A2-348-H | X | پاریت، کالن، منی طیبی، مجموع کانه های غیرفلزی و مجموع کانی های پرورت |
| ۲۶ | A2-357-H | X | پاریت، موزارت، هرودت، مجموع کانه های غیرفلزی و مجموع کانی های پرورت |
| ۲۷ | A2-362-H | X | پاریت، میلر، کالن، مجموع کانه های غیرفلزی و مجموع کانی های پرورت |
| ۲۸ | A2-363-H | X | پاریت، موزارت، مجموع کانه های غیرفلزی و مجموع کانی های پرورت |
| ۲۹ | A2-372-H | X | پاریت، موزارت، هرودت، مجموع کانه های غیرفلزی و مجموع کانی های پرورت |
| ۳۰ | A2-373-H | X | پاریت، موزارت، هرودت، مجموع کانه های غیرفلزی و مجموع کانی های پرورت |
| ۳۱ | A2-383-H | X | پاریت، سروزت، سریب، طیبی، زدرا کن، مجموع کانه های غیرفلزی و مجموع کانی های پرورت |
| ۳۲ | A2-397-H | X | پاریت، منی طیبی، زدرا کن، مجموع کانه های غیرفلزی و مجموع کانی های پرورت |
| ۳۳ | A2-404-H | X | پاریت، منی طیبی، مجموع کانه های غیرفلزی و مجموع کانی های پرورت |
| ۳۴ | A2-415-H | X | پاریت، منی طیبی، مجموع کانه های غیرفلزی و مجموع کانی های پرورت |
| ۳۵ | A2-416-H | X | پاریت، منی طیبی، مجموع کانه های غیرفلزی و مجموع کانی های پرورت |
| ۳۶ | A2-41-H | X | پاریت، منی طیبی، مجموع کانه های غیرفلزی و مجموع کانی های پرورت |
| ۳۷ | A2-430-H2 | X | پاریت، منی طیبی، مجموع کانه های غیرفلزی و مجموع کانی های پرورت |
| ۳۸ | A2-440-H | X | پاریت، سروزت، مکرورو، گالن، منی طیبی، مجموع کانه های غیرفلزی و مجموع کانی های پرورت |
| ۳۹ | A2-44-H | X | پاریت، سروزت، کالن، پریت، موزارت، مجموع کانی های غیرفلزی و مجموع کانی های پرورت |
| ۴۰ | A2-90-H | X | پاریت، سروزت، کالن، گرفتار، موزارت، مجموع کانی های غیرفلزی و مجموع کانی های پرورت |



نقشه توزیع متغیر کانه‌های فلزی (Ore M (Sum) A2-H10) با شماره A2-H10 دلالت بر آن دارد که در پنج محدوده واقع در شمالشرق و شمالغرب نظمآباد، شرق کرهرود، شمال کرهرود و غرب سنجان دارای مقادیر ناهنجار میباشد که به لحاظ کانی‌سازی‌های احتمالی میتواند با اهمیت باشد.

نقشه توزیع متغیر کانه‌های غیرفلزی (Ore NM (Sum) A2-H11) با شماره A2-H11 دلالت بر آن دارد که در دو محدوده این متغیر دارای بیشینه مقادیر میباشد. عمدۀ مساحت مربوط به این آنومالی در جنوبشرق منطقه مطالعاتی و غرب فنجان مشاهده میشود.

نقشه توزیع متغیر کانی‌های پیریت (Pyrite (Sum) A2-H12) با شماره A2-H12 دلالت بر آن دارد که محدوده‌های ناهنجار این متغیر در نواحی مختلفی از منطقه مطالعاتی مشاهده میشود. مناطق تحت پوشش مقادیر آنومال این نقشه در نواحی شمالغرب و جنوبشرق نظمآباد، جنوب کرهرود، غرب و شمالغرب سنجان مشاهده میشود.

۴-۱-۲- نتایج نمونه‌های مینرالیزه

در این قسمت اقدام به برداشت نمونه‌های کانی‌سازی شده از فازهای مینرالیزاسیون احتمالی گردید. مشخصات مربوط به نمونه‌های مینرالیزه بهمراه مختصات محل برداشت و عناصر ناهنجار در هر نمونه در جدول (۴-۳) آورده شده است. نتایج آنالیز نمونه‌های مینرالیزه برداشت شده طی جدول (۴-۴) در بخش پیوست آورده شده است. با توجه به اطلاعات حاصل از این جدول میتوان به این نکته اشاره کرد که نمونه‌های مینرالیزه برداشت شده دارای مقادیر ناهنجار قابل توجهی از عناصر Zn ، Mn ، Pb ، Cu ، Ba ، As ، Au در مناطق آنومال کنترل شده میباشد. عنوان مثال میتوان به تعداد یک نمونه با مقدار طلای بالای ۱۰۰ ppb اشاره کرد. در خصوص As نیز یک نمونه دارای ۷۵۰۰ ppm میباشد. در ارتباط با عنصر Ba تعداد ۴ نمونه دارای مقادیر بالای ۱۰۰۰ ppm میباشد. در مورد Cu نیز ۷ نمونه ppm میباشد که در یک از نمونه‌ها این مقدار به ۱۲۴۰۰ ppm میرسد. در مورد میتوان به این نمونه اشاره کرد که در یک از نمونه‌ها این مقدار به ۱۰۰۰ ppm میباشد.

جدول (۴-۳) : شماره نمودهای میزبانی بوداشت شده بهره راه مختصات، شرح نمونه و عناصر ناهمجار

| عنصر آنومال در نمونه میزبانی | شرح | مختصات | | | شماره نمونه | (ردیف) |
|------------------------------|--|---------|---------|-----------|-------------|--------|
| | | Z | Y | X | | |
| - | از یک لاپید تراورتن نمونه بردازی شده است | 3772814 | 376159 | A2-108-M1 | 1 | |
| - | نموده از قطعات سپلت آهکی حاوی اکسید آهن با تالاچو قوس قریبی برداشت چند قطعه در طول آبراهه | 3772719 | 376219 | A2-108-M2 | 2 | |
| - | نموده از رگه سپلیسی حاوی اکسید آهن برداشت گردیده است | 3772636 | 375840 | A2-109-M1 | 3 | |
| Cu-Fe-Ni | - | 2074 | 3764600 | 376926 | A2-110-M2 | 4 |
| Fe | نموده میزبانی از سنگ آهک سپلیسی شده به همراه اکسید آهن برداشت گردیده است | 2063 | 3764620 | 376647 | A2-113-M | 5 |
| Fe-Mn | نموده از سینگ حاوی اکسید آهن با آفر الرسوون سپلیسی برداشت شده است | 2063 | 3764600 | 376628 | A2-117-M | 7 |
| Au-Cu-Fe | نموده از سینگ حاوی اکسید آهن برداشت گردیده است | 3764202 | 377476 | A2-127-M1 | 8 | |
| Fe | نموده از سنگ حاوی اکسید آهن و بینت و کوئیت (آ) برداشت گردیده است | 3764202 | 377476 | A2-127-M2 | 9 | |
| Co-Fe | نموده از یک رگه سپلیسی حاوی اکسید آهن گرفته شد | 3764202 | 377476 | A2-127-M3 | 10 | |
| - | نموده از یک سنگ لیموختی با آفر الرسوون سپلیسی کاریوں گرفته شده است | 3771290 | 3772201 | A2-174-M | 11 | |
| - | نموده از یک سنگ لیموختی با آفر الرسوون سپلیسی کاریوں گرفته شده است | 2071 | 3765719 | 376915 | A2-184-M | 12 |
| Fe-Mn | نموده از محدوده دارای کافی سازی آهن با وست زیاد و عیار کم برداشت شد | 2183 | 3765631 | 376287 | A2-186-M1 | 13 |
| As-Fe | نموده از محدوده دارای کافی سازی آهن با وست زیاد و عیار کم برداشت شد | 2183 | 3765631 | 376287 | A2-186-M2 | 14 |
| Fe-Mn | نموده از محدوده دارای کافی سازی آهن با وست زیاد و عیار کم برداشت شد | 2183 | 3765631 | 376287 | A2-186-M3 | 15 |
| Ba-Fe-Mn | نموده از محدوده دارای کافی سازی آهن با وست زیاد و عیار کم برداشت شد | 2183 | 3765631 | 376287 | A2-186-M4 | 16 |
| - | نموده از سپلیسیون آهکی حاوی پیروت اکسید فراوان گرفته شد | 2190 | 3766543 | 379162 | A2-191-M | 17 |
| - | شیل آهکی دارای رگمه های نازک حاوی پیروت و یک کلزی نازک اشکانیه به حالت نودی گرفته شد | 2128 | 3766930 | 377871 | A2-198-M | 18 |
| - | نموده از شیل آهکی تیره حاوی پیروت نمونه از شیل آهکی تیره حاوی پیروت و یک کلزی نازک اشکانیه به حالت نودی گرفته شد | 2067 | 3766590 | 377690 | A2-200-M | 19 |
| - | نموده از شیل حاوی پیروت گرفته شد | 2154 | 3766478 | 377015 | A2-202-M | 20 |
| - | نموده از یک رگه سپلیسی برداشت شد | 2082 | 3766213 | 376131 | A2-205-M | 21 |
| - | - | 2074 | 3766686 | 376197 | A2-206-M | 22 |
| - | نموده از شیل حاوی پیروت و یک های کارازن کربنات گرفته شده است | 1850 | 3769607 | 382867 | A2-23-M | 23 |
| Ba-Pb-Zn | نموده از یک رگمه باریت بر محل ابراهه برداشت گردیده است | 3764258 | 381739 | A2-255-M1 | 24 | |
| Ba-Pb-Zn | از رگمه باریت برداشت گردیده است | 3764254 | 381719 | A2-255-M2 | 25 | |
| Ba-Sr | نموده از قطعات باریت در طول آبراهه برداشت گردیده است | 3764370 | 381473 | A2-258-M | 26 | |





جدول (۳-۴) : شماره نمونه های مبتنی بر اثاث شده بهراه مختصات، شرح نمونه و عناصر ناهمتا (ادامه)

| عنصر آنومال در نمونه مبتنی برآزه | | شرح | | مختصات | | نمودار نمونه | ردیف |
|----------------------------------|--|---------|---------|-----------|-----------|--------------|------|
| | | Z | Y | X | | | |
| - | Aهک سپلیفلای با اثره پیدا شدن | 3771165 | 372310 | A2-264-M | 27 | | |
| Zn | شامل رگچه های سپلیس حاوی اکسید آهن می باشد | 2001 | 3767269 | 380734 | A2-293-M | 28 | |
| - | شامل رگچه های سپلیس حاوی اکسید آهن می باشد | 3766830 | 380705 | A2-301-M | 29 | | |
| - | شامل رگچه های سپلیس حاوی اکسید آهن می باشد | 2070 | 3766854 | 381580 | A2-308-M | 30 | |
| - | نمونه هاوی کربنات و اکسید های آهن همراه با پیروت از قطعات وابزده داخل آبراهه برداشت گردیده است | 1716 | 3770238 | 381201 | A2-310-M | 31 | |
| - | نمونه از یک رگه که ای لیوپوئیت و سپلیسی گرفته شده است | 1859 | 3769637 | 381004 | A2-311-M | 32 | |
| - | از وابزده های حاوی اکسید آهن پیروت برداشت گردیده است | 1749 | 3769721 | 381066 | A2-313-M | 33 | |
| Sr | از هک حاوی کربنات آهن با آثار الکترونیون الهمفتی و اتکرنسی دارد هک های نمونه برداری شده است | 1934 | 3767367 | 382887 | A2-348-M1 | 35 | |
| - | از یک قلعه جدا شده از رگه که ای کوارتز کربناتی برداشت گردیده است | 2035 | 3767100 | 382831 | A2-348-M2 | 36 | |
| - | از شیل اهکی حاوی پیروت برداشت شده است | 2035 | 3767100 | 382831 | A2-348-M3 | 37 | |
| - | نمونه از قلعه سدیک موخودوریتی حاوی رگه های فلزیات گرفته شده است | 2017 | 3767496 | 383006 | A2-348-M4 | 38 | |
| - | از همین توده دیوریتی و سنگ اسلیتی تا حدی شناور شده برداشت گردیده است | 2173 | 3763935 | 377898 | A2-356-M | 39 | |
| Co-Cu-Fe-Pb-Zn | نمونه از سدیک سپلیسی حاوی اکسید آهن برداشت گردیده است | 2173 | 3763935 | 377898 | A2-356-M | 39 | |
| - | نمونه از یک رگه کاسیستی با اثره اتکرنسی برداشت گردیده است | 3767273 | 371062 | A2-357-M1 | 40 | | |
| - | نمونه از هک حاوی اکسید های آهن با تالو قوسی قرمی برداشت گردیده است | 3767296 | 371057 | A2-357-M2 | 41 | | |
| Co-Cu-Fe-Pb | نمونه از سنگ حاوی اکسید کربنات های آهن برداشت گردیده است | 2131 | 3764151 | 378013 | A2-362-M1 | 42 | |
| Cu | نمونه از سنگ حاوی اکسید آهن و مالاکیت برداشت گردیده است | 2131 | 3764151 | 378013 | A2-362-M2 | 43 | |
| Ag-Fe | نمونه از رگه سپلیسی حاوی اکسید آهن برداشت گردیده است | 2131 | 3764151 | 378013 | A2-362-M3 | 44 | |
| Co-Cu-Fe | نمونه از رگه سپلیسی حاوی اکسید آهن برداشت گردیده است | 2131 | 3764151 | 378013 | A2-362-M4 | 45 | |
| - | شامل رگچه های سپلیس حاوی اکسید آهن می باشد | 2024 | 3767136 | 379613 | A2-371-M | 46 | |
| Co-Fe-Ni | شامل رگچه های سپلیس حاوی اکسید آهن می باشد | 1912 | 3767514 | 379471 | A2-372-M | 47 | |
| Cu-Fe | نمونه از سنگ که در طبع آن لندک پیروت مشاهده شده است، برداشت گردیده است | 1970 | 3768375 | 379480 | A2-383-M | 48 | |
| - | شامل قلعه ای از یک رگه کوارتز کربنات و سنگ درونگیر حاوی پیروت اکسید فلزی گرفته شده است | 1909 | 3768625 | 382987 | A2-397-M | 49 | |
| - | نمونه از یک رگه کوارتز کربنات در محل برداشت گردیده است | 1811 | 3768156 | 382443 | A2-398-M | 50 | |
| - | نمونه از یک رگه کوارتز کربنات در محل برداشت گردیده است | 1741 | 3770334 | 380177 | A2-440-M | 51 | |



دارای مقادیر بالای ۶۰۰ ppm میباشد. بیشینه مقدار این عنصر معادل ۵۳۰۰ ppm میباشد. در مورد نیز ۴ نمونه دارای مقادیر بالای ۱۰۰۰۰ ppm میباشد. بیشینه مقدار این عنصر معادل ۴۷۰۰۰ Mn ppm میباشد. در ارتباط با عنصر Pb تعداد ۴ نمونه دارای مقادیر بالای ۲۰۰۰ ppm میباشد که بیشینه مقدار آن معادل ۶۵۳۰ ppm میباشد. تعداد ۴ نمونه دارای مقادیر Zn بالای ۱۰۰۰ ppm میباشد که مقدار بیشینه آن معادل ۸۷۳۰ ppm میباشد.

برای بررسی پتانسیل محتمل کانی‌سازی در منطقه و ارزیابی عیارهای بدست آمده اقدام به استفاده از حدود استاندارد ژینزبرگ (Ginsburg) گردید. در این بین برای حصول نتایج مناسب علاوه بر حدود فوق‌الذکر از حدود تجربی بدست آمده از داده‌های اطلس ژئوشیمیایی کشور نیز استفاده شد تا از این طریق حدود و نوع کانی‌سازی‌های محتمل تعیین گردد. در نتیجه عملیات فوق، سه طبقه کانی‌سازی به شرح زیر تعریف گردید:

الف - کانی‌سازی عقیم ب - کانی‌سازی پراکنده ۳ - کانی‌سازی غنی‌شده

پس از اعمال تقسیم‌بندی فوق برای ارزش‌گذاری مقادیر آنالیز شده از اعداد ۰، ۱ و ۲ به ترتیب برای سه طبقه کانی‌سازی فوق استفاده گردید. بر اساس نتایج حاصل از آنالیز ویژگی انجام شده بر روی نمونه‌های مینرالیزه پرپتانسیل‌ترین نمونه به لحاظ کانی‌سازی در منطقه مطالعاتی بدست آمد. جدول (۴-۵) نتایج حاصل برای نمونه‌های مینرالیزه و ارزش هر کدام را نشان میدهد.

بر اساس جدول مذکور نمونه‌های M-362-A2-356 و M1-A2-362 به ترتیب دارای بیشترین پتانسیل کانی‌سازی در منطقه میباشند. با کاهش مقادیر محاسبه شده از ارزش کانی‌سازی هر کدام نیز کاسته میشود تا این مقدار به صفر برسد که موید فقدان ارزش کانی‌سازی میباشد.

عملیات مشابهی نیز برای عناصر آنالیز شده در منطقه مطالعاتی انجام پذیرفت که نتایج آن در جدول شماره (۶-۴) آورده شده است. با توجه به این جدول مشخص میشود که پرپتانسیل‌ترین عناصر در منطقه به لحاظ



کانی‌سازی به ترتیب عناصر Cu، Pb و Zn می‌باشند. در این جدول نیز با کاهش مقادیر محاسبه شده برای هر عنصر از ارزش کانی‌سازی آن نیز کاسته می‌شود. در این جدول عناصر با امتیاز صفر آورده نشده‌اند.

جدول ۴-۵: شماره نمونه‌های مینرالیزه بهمراه ارزش کانی‌سازی هر کدام حاصل از آنالیز ویژگی در منطقه مطالعاتی

| Row | Sample | Score |
|-----|-----------|-------|-----|-----------|-------|-----|-----------|-------|-----|-----------|-------|
| 1 | A2-356-M | 167 | 14 | A2-258-M | 78 | 27 | A2-174-M | 16 | 40 | A2-23-M | 0 |
| 2 | A2-362-M1 | 128 | 15 | A2-362-M3 | 75 | 28 | A2-198-M | 16 | 41 | A2-109-M1 | 0 |
| 3 | A2-362-M4 | 120 | 16 | A2-127-M2 | 69 | 29 | A2-264-M | 16 | 42 | A2-108-M1 | 0 |
| 4 | A2-186-M2 | 115 | 17 | A2-127-M3 | 64 | 30 | A2-371-M | 16 | 43 | A2-311-M | 0 |
| 5 | A2-255-M2 | 112 | 18 | A2-117-M | 56 | 31 | A2-108-M2 | 12 | 44 | A2-397-M | 0 |
| 6 | A2-113-M | 104 | 19 | A2-186-M1 | 51 | 32 | A2-205-M | 12 | 45 | A2-313-M | 0 |
| 7 | A2-186-M4 | 100 | 20 | A2-186-M3 | 51 | 33 | A2-348-M3 | 2 | 46 | A2-32-M | 0 |
| 8 | A2-293-M | 94 | 21 | A2-116-M | 39 | 34 | A2-348-M1 | 2 | 47 | A2-357-M2 | 0 |
| 9 | A2-255-M1 | 92 | 22 | A2-206-M | 33 | 35 | A2-348-M2 | 0 | 48 | A2-357-M1 | 0 |
| 10 | A2-362-M2 | 90 | 23 | A2-191-M | 17 | 36 | A2-398-M | 0 | 49 | A2-310-M | 0 |
| 11 | A2-372-M | 90 | 24 | A2-184-M | 17 | 37 | A2-348-M4 | 0 | 50 | A2-109-M2 | 0 |
| 12 | A2-127-M1 | 84 | 25 | A2-202-M | 17 | 38 | A2-200-M | 0 | 51 | A2-440-M | 0 |
| 13 | A2-383-M | 78 | 26 | A2-301-M | 17 | 39 | A2-308-M | 0 | | | |

جدول ۴-۶: عناصر مهم آنالیز شده در نمونه‌های مینرالیزه بهمراه ارزش کانی‌سازی هر کدام حاصل از آنالیز ویژگی در منطقه مطالعاتی

| Row | Variable | Score | Row | Variable | Score |
|-----|----------|-------|-----|----------|-------|
| 1 | Cu | 164 | 10 | Bi | 50 |
| 2 | Pb | 142 | 11 | Ba | 48 |
| 3 | Zn | 123 | 12 | Co | 47 |
| 4 | Ni | 90 | 13 | Ag | 39 |
| 5 | As | 65 | 14 | Au | 38 |
| 6 | Mo | 63 | 15 | Sn | 24 |
| 7 | Cd | 62 | 16 | Sr | 8 |
| 8 | Sb | 57 | 17 | P | 2 |
| 9 | Mn | 53 | 18 | Ti | 2 |



۴-۱-۳- مطالعات میکروسکوپی

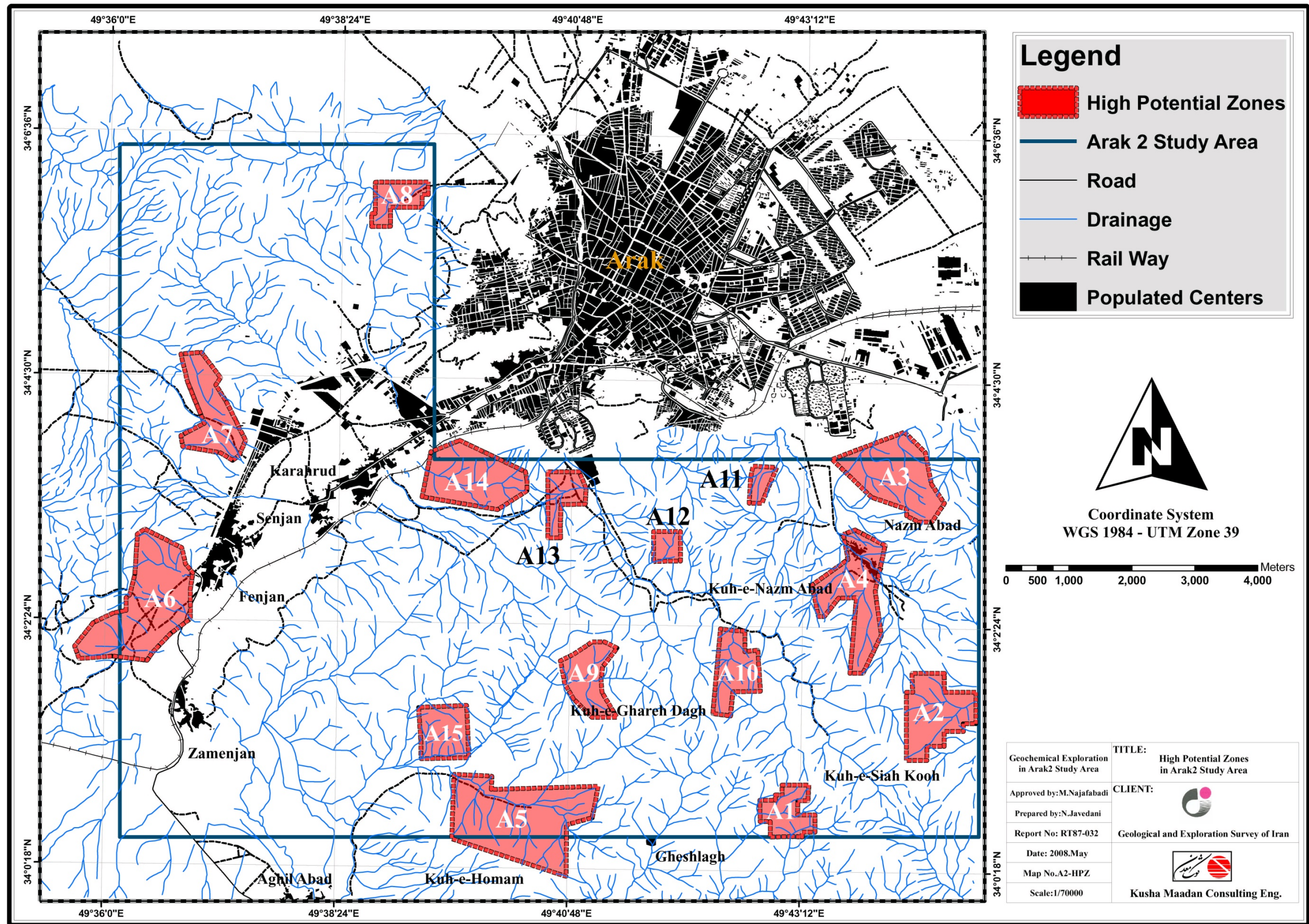
نمونه‌های برداشت شده برای تهیه مقاطع میکروسکوپی منجر به تهیه ۴ مقطع میکروسکوپی و ۴ مقطع نازک گردید که پس از مطالعه در تعبیر و تفسیر و مدلسازی از آن استفاده گردید. شرح هریک از مطالعات میکروسکوپی انجام شده در بخش شرح آنومالیها (بخش ۳-۴) آورده شده است.

۴-۲- مناطق ناهنجار نهایی

با توجه به مطالب فوق تعداد ۱۵ محدوده نهایی مشخص شد که در شکل (۱-۴) تحت عنوان نقشه A2-HPZ آورده شده است. مشخصات مربوط به آنومالیهای مشخص شده شامل موقعیت جغرافیایی، مساحت، تصویر ماهواره‌ای، واحدهای سنگی، نمونه‌های ژئوشیمیایی، کانی‌سنگین و مینرالیزه برداشت شده بهمراه متغیرهای ناهنجار در هر نمونه و عکسهای برداشت شده از محل نمونه برداری مینرالیزه و شرح مقاطع میکروسکوپی تهیه شده بهمراه عکسهای میکروسکوپی در زیر آورده شده است.

۴-۲-۱- محدوده ناهنجار A1

این آنومالی در ۱/۴ کیلومتری جنوب غربی کوه سیاه کوه واقع شده است. با توجه به شکل (۲-۴) مشاهده می شود که این که این محدوده آنومالی در منطقه نسبتاً ناهمواری واقع شده است که از سمت شرق به ارتفاعات محدود می شود. مساحت این حوضه بالغ بر ۵/۰ کیلومتر مربع است. عنصر Ba در این منطقه آنومال می باشد. سنگهای موجود در بالادست آن عبارتند از: سنگ آهک اسلیتی، اسلیت آهکی، اسلیت ماسه ای، سنگ آهک، اسلیت سیلتی، اسلیت آرژیلتی. در مشاهدات صحرایی این منطقه شیل و نیز آثار آلتراسیون لیمونیتی در آهک ها مشاهده شده است.



شکل (۱-۴) : محدوده های پریتانسیل امیدبخش در منطقه مطالعاتی



شکل شماره (۴-۲) : تصویر ماهواره‌ای محدوده آنومال A1

از منطقه فوق شش نمونه کانی سنگین به شرح ذیل برداشت شده است:

- نمونه کانی سنگین شماره A2-255-H که از محل نمونه ژئوشیمیایی ۲۵۵ برداشت شده است و نسبت به

کانی باریت غنی شدگی نشان می دهد.

- نمونه کانی سنگین شماره A2-256-H که از محل نمونه ژئوشیمیایی ۲۵۶ برداشت شده است و نسبت به

کانیهای باریت، سروزیت، ماسیکوت و مس طبیعی غنی شدگی نشان می دهد.

- نمونه کانی سنگین شماره A2-257-H که از محل نمونه ژئوشیمیایی ۲۵۷ برداشت شده است و نسبت به

کانی باریت غنی شدگی نشان می دهد.



- نمونه کانی سنگین شماره A2-258-H که از محل نمونه ژئوشیمیایی ۲۵۸ برداشت شده است که نسبت به کانیهای باریت، مونازیت و مس طبیعی غنی شدگی نشان می دهد.

- نمونه کانی سنگین شماره A2-260-H که از محل نمونه ژئوشیمیایی ۲۶۰ برداشت شده است که نسبت به کانیهای باریت، هماتیت، مونازیت و زیرکن غنی شدگی نشان می دهد.

- نمونه کانی سنگین شماره A2-262-H که از محل نمونه ژئوشیمیایی ۲۶۲ برداشت شده است که نسبت به کانیهای باریت، سروزیت، گالن و مونازیت غنی شدگی نشان می دهد.

همچنین از ناحیه فوق سه نمونه مینرالیزه برداشت شده که شرح آنها بصورت زیر است:

- نمونه مینرالیزه شماره A2-255-M1 از مختصات جهانی (۳۸۱۷۳۹ و ۳۷۶۴۲۵۸) که نمونه از یک رگچه باریت در محل آبراهه برداشت شده است. این نمونه نسبت به عناصر Zn, Ba, Pb, Re آنومال می باشد.

- نمونه مینرالیزه شماره A2-255-M2 از مختصات جهانی (۳۸۱۷۱۹ و ۳۷۶۴۲۵۴) که نمونه از رگچه باریت برداشت شده است. این نمونه نسبت به عناصر Zn, Ba, Pb, Re آنومال می باشد.

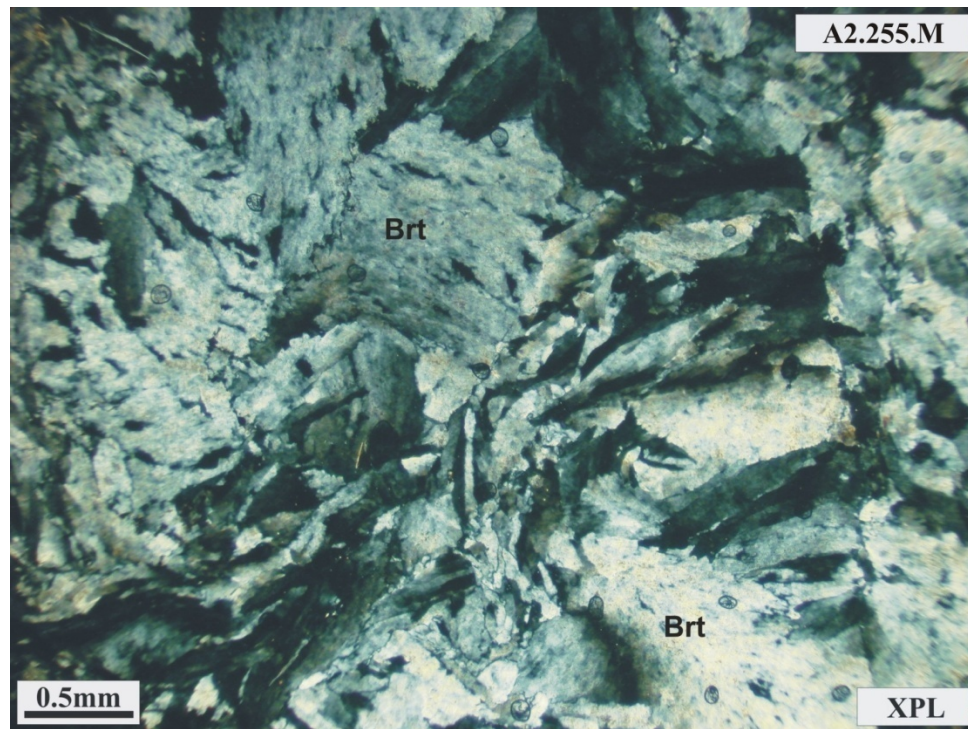
در ادامه نتایج مطالعات میکروسکوپی مقطع نازک تهییه شده از نمونه مینرالیزه شماره A2-255-M آمده است:

شکل شماره (۳-۴)

شرح شکل شماره (۳-۴): نمونه مربوط به یک سنگ تک مینرال بوده و ناخالصی های ناچیزی در آن یافت میشود. باریت به صورت بلورهای تیغه ای و بعضا با بافت شعاعی و بلورهای خمیده تشکیل دهنده اصلی سنگ محسوب می شود. ناخالصی ها عمدتا در فضای شکستگیهای ریز و بعضا بین بلوری بوده و از نوع کلسیت، دولومیت و ترکیبات نیمه شفاف و اپاک آهن دار است. در مجموع مقدار این ناخالصی ها حداکثر یک درصد است.

در شکل (۴-۴) محل نمونه ۲۵۵ نمایش داده شده است که قطعاتی از باریت درون سیلت آهکی را نشان می دهد.

- نمونه مینرالیزه شماره A2-258-M از مختصات جهانی (۳۸۱۴۷۳ و ۳۷۶۴۳۷۰) که نمونه از قطعات باریت در طول آبراهه برداشت شده است. این نمونه نسبت به عناصر Sr, Ba, Re آنومال می باشد.



شکل شماره (۴-۳): تصویر میکروسکوپی مریبوط به نمونه تیغه نازک A2-255-M ، نام سنگ باریت



شکل شماره (۴-۴): تصویر محل برداشت نمونه A2-255-M ، باریت درون سیلت آهکی



۴-۲-۲-۴- محدوده فاهنجار A2

این محدوده آنومال در ۸۵ کیلومتری شمال کوه سیاه کوه واقع شده است. با توجه به شکل (۵-۴) مشاهده می شود که این محدوده آنومالی در منطقه نسبتا ناهمواری واقع شده است که از سمت غرب به ارتفاعات و از سمت شرق به دره تنگی می رسد. مساحت این حوضه بالغ بر یک کیلومتر مربع است. با مساحتی در حدود ۳۱ کیلومترمربع و عناصر Au، Cr و Sn نیز در این منطقه آنومال می باشند.



شکل شماره (۵-۴) : تصویر ماهواره‌ای محدوده آنومال A2

سنگهای موجود در بالادست آن عبارتند از: سنگ آهک اسلیتی، اسلیت آهکی، اسلیت ماسه ای، سنگ آهک، اسلیت سیلتی و اسلیت آرژیلیتی. در مشاهدات صحرایی این منطقه اسلیت آرژیلیتی مشاهده شده است. از منطقه فوق دو نمونه کانی سنگین به شرح ذیل برداشت شده است:



- نمونه کانی سنگین شماره A2-138-H که از محل نمونه ژئوشیمیایی ۱۳۸ برداشت شده است و نسبت به کانی های گوتیت و پیریت اکسید غنی شدگی نشان می دهد.
- نمونه کانی سنگین شماره A2-139-H که از محل نمونه ژئوشیمیایی ۱۳۹ برداشت شده است و نسبت به کانی های گوتیت و پیریت اکسید غنی شدگی نشان می دهد.
به دلیل محدودیت در تعداد نمونه ها، از این ناحیه نمونه مینرالیزه برداشت نشده است.

۴-۲-۳- محدوده فاهنجار A3

این آنومالی در ۱/۱۵ کیلومتری شمال روستای نظم آباد واقع شده است. با توجه به شکل شماره (۴) مشاهده می شود که این محدوده آنومالی نیز در منطقه نسبتا ناهمواری واقع شده است که از سمت جنوب و شرق به ارتفاعات کوه پرواز و غرب به محدوده شهر اراک ختم می شود. مساحت این حوضه بالغ بر ۱/۴۵ کیلومتر مربع است.

- عنصر Sb در این منطقه آنومال می باشد. سنگهای موجود در بالادست آن عبارتند از: سنگ آهک اسلیت آهکی ، اسلیت ماسه ای ، سنگ آهک، اسلیت سیلتی و اسلیت آرژیلیتی. در مشاهدات صحرایی این منطقه شیل مشاهده شده است. از منطقه فوق چهار نمونه کانی سنگین به شرح ذیل برداشت شده است:
- نمونه کانی سنگین شماره A2-20-H که از محل نمونه ژئوشیمیایی ۲۰ برداشت شده است و نسبت به کانیهای باریت، گوتیت، هماتیت، مگنتیت، لوکوکسن، پیرولوزیت و زیرکن غنی شدگی نشان می دهد.
 - نمونه کانی سنگین شماره A2-23-H که از محل نمونه ژئوشیمیایی ۲۳ برداشت شده است و نسبت به کانیهای باریت، طلا، مس طبیعی ، پیرولوزیت و زیرکن غنی شدگی نشان می دهد.
 - نمونه کانی سنگین شماره A2-24-H که از محل نمونه ژئوشیمیایی ۲۴ برداشت شده است و نسبت به کانیهای باریت، بروکانتیت، سروزیت، فلوریت، گالن، گوتیت، کیانیت، مگنتیت، مالاکیت، مس طبیعی ، پیرولوزیت و زیرکن غنی شدگی نشان می دهد.



شکل شماره (۶-۴) : تصویر ماهواره‌ای محدوده آنومال A3

- نمونه کانی سنگین شماره A2-25-H که از محل نمونه ژئوشیمیایی ۲۵ برداشت شده است نسبت به کانی

پیرولوزیت غنی شدگی نشان می دهد.

همچنین از ناحیه فوق تنها یک نمونه مینرالیزه به شماره A2-23-M از مختصات جهانی (۳۷۶۹۶۰.۷ و ۳۸۲۸۶۷)

که این نمونه از شیل حاوی پیریت و رگه های کوارتز کربنات برداشت شده است. این نمونه نسبت به

هیچ یک از عناصر آنومال نمی باشد.

A4-۴-۲-۴ - محدوده ناهنجار

این آنومالی در محدوده روستای نظم آباد و اطراف آن واقع شده است. با توجه به شکل شماره (۶-۴) مشاهده می



شکل شماره (۷-۴) : تصویر ماهواره‌ای محدوده آنومال A4

شود که این محدوده آنومالی در منطقه نسبتاً ناهمواری واقع شده است که از سمت جنوب به ارتفاعات و از سمت شمال به دره روستای نظم آباد متنه می‌شود. مساحت این حوضه بالغ بر $1/24$ کیلومتر مربع است. عنصر Au با مساحتی در حدود $1/7$ کیلومتر مربع در این منطقه آنومال می‌باشد. سنگهای موجود در بالادست آن عبارتند از: سنگ آهک اسلیتی، اسلیت آهکی، اسلیت ماسه‌ای، سنگ آهک، اسلیت سیلتی، اسلیت آرزیلیتی، مونزودیوریت و مونزوگابرو. در مشاهدات صحرایی این منطقه سنگهای دیوریت، کلسیت، فیلیت و شیل و نیز آتراسیون لیمونیتی مشاهده شده است. از منطقه فوق هشت نمونه کانی سنگین به شرح ذیل برداشت شده است:

- نمونه کانی سنگین شماره H-A2-332 که از محل نمونه ژئوشیمیایی ۳۳۲ برداشت شده است که نسبت به کانیهای سروزیت، گالن و پیرولوزیت غنی شدگی نشان می‌دهد.



- نمونه کانی سنگین شماره A2-346-H که از محل نمونه ژئوشیمیایی ۳۴۶ برداشت شده است که نسبت به کانیهای باریت، سروزیت و گالن غنی شدگی نشان می دهد.
- نمونه کانی سنگین شماره A2-347-H که از محل نمونه ژئوشیمیایی ۳۴۷ برداشت شده است که نسبت به کانیهای باریت، سروزیت، گالن، لوکوکسن و زیرکن غنی شدگی نشان می دهد.
- نمونه کانی سنگین شماره A2-348-H که از محل نمونه ژئوشیمیایی ۳۴۸ برداشت شده است که نسبت به هیچ کانی غنی شدگی نشان نمی دهد.
- نمونه کانی سنگین شماره A2-393-H که از محل نمونه ژئوشیمیایی ۳۹۳ برداشت شده است که نسبت به کانیهای گوتیت، هماتیت و مونازیت غنی شدگی نشان می دهد.
- نمونه کانی سنگین شماره A2-394-H که از محل نمونه ژئوشیمیایی ۳۹۴ برداشت شده است که نسبت به کانیهای باریت، سروزیت، الکتروم، گالن، هماتیت، مگنتیت، مونازیت، مس طبیعی و اسمیت زونیت غنی شدگی نشان می دهد.
- نمونه کانی سنگین شماره A2-397-H که از محل نمونه ژئوشیمیایی ۳۹۷ برداشت شده است که نسبت به کانیهای باریت، مس طبیعی و زیرکن غنی شدگی نشان می دهد.
- نمونه کانی سنگین شماره A2-399-H که از محل نمونه ژئوشیمیایی ۳۹۹ برداشت شده است که نسبت به کانیهای سروزیت، گالن، هماتیت، مونازیت و زیرکن غنی شدگی نشان می دهد.
- همچنین از ناحیه فوق شش نمونه مینرالیزه برداشت شده که شرح آنها بصورت زیر است:
- نمونه مینرالیزه شماره A2-348-M1 از مختصات جهانی (۳۷۶۷۳۶۷ و ۳۸۲۸۸۷) که از یک قطعه جدا شده از رگه‌ی کوارتز کربناتی برداشت شده است. این نمونه نسبت به عنصر Si آنومال می باشد.
- نمونه مینرالیزه شماره A2-348-M2 از مختصات جهانی (۳۷۶۷۱۰۰ و ۳۸۲۸۳۱) که از شیل آهکی حاوی پیریت درشت دانه و ریز دانه‌ی فراوان برداشت شده است. این نمونه نسبت به هیچ کدام از عناصر آنومال نمی باشد.



- نمونه مینرالیزه شماره A2-348-M3 از مختصات جهانی (۳۷۶۷۱۰۰ و ۳۸۲۸۳۱) که نمونه از قطعه سنگ

مونزودیوریتی حاوی رگچه های فلدرسپات گرفته شده است. این نمونه نسبت به هیچ کدام از عناصر آنومال نمی باشد.

- نمونه مینرالیزه شماره A2-348-M4 از مختصات جهانی (۳۷۶۷۴۹۶ و ۳۸۳۰۰۶) که از همبری توده دیبوریتی و سنگ اسلیتی تا حدی متامورف شده برداشت شده است. این نمونه نسبت به هیچ کدام از عناصر آنومال نمی باشد.

- نمونه مینرالیزه شماره A2-397-M از مختصات جهانی (۳۷۶۸۶۲۵ و ۳۸۲۹۸۷) برداشت شده است. شامل قطعاتی از یک رگه کوارتز کربنات و سنگ درونگیر حاوی پیریت اکسید فراوان گرفته شده است. این نمونه نسبت به هیچ کدام از عناصر آنومال نمی باشد.

- نمونه مینرالیزه شماره A2-398-M از مختصات جهانی (۳۷۶۸۱۵۶ و ۳۸۲۴۴۳) برداشت شده است. این نمونه نسبت به هیچ کدام از عناصر آنومال نمی باشد.

۴-۲-۵- محدوده ناهنجار A5

این آنومالی در دو کیلومتری شمال شرق روستای عقیل آباد واقع شده است. با توجه به شکل شماره (۴-۸) مشاهده میشود که این محدوده آنومالی نیز در منطقه ناهمواری واقع شده است که از سمت جنوب به ارتفاعات کوه حمام (هما) و از سمت شمال به دره بازی منتهی می شود. مساحت این حوضه در حدود ۲/۳۶ کیلومتر مربع است.

عناصر As,Cu در این منطقه آنومال می باشند. سنگهای موجود در بالادست آن عبارتند از: سنگ آهک اسلیت آهکی ، اسلیت ماسه ای ، سنگ آهک، اسلیت سیلتی و اسلیت آرژیلیتی. در مشاهدات صحرایی این منطقه سنگهای سیلیس، کربنات ، کوارتز و شیل و نیز آتراسیون سیلیسی در آهکها مشاهده شده است. از منطقه فوق نه نمونه کانی سنگین به شرح ذیل برداشت شده است:

- نمونه کانی سنگین شماره A2-110-H که از محل نمونه ژئوشیمیایی ۱۱۰ برداشت شده است و نسبت به کانی گالن غنی شدگی نشان می دهد.



شکل شماره (۴-۸) : تصویر ماهواره‌ای محدوده آنومال A5

- نمونه کانی سنگین شماره A2-111-H که از محل نمونه ژئوشیمیایی ۱۱۱ برداشت شده است و نسبت به کانیهای مونازیت و زیرکن غنی شدگی نشان می دهد.

- نمونه کانی سنگین شماره A2-114-H که از محل نمونه ژئوشیمیایی ۱۱۴ برداشت شده است نسبت به هیچ کانی غنی شدگی نشان نمی دهد.

- نمونه کانی سنگین شماره A2-116-H که از محل نمونه ژئوشیمیایی ۱۱۶ برداشت شده است که نسبت به کانیهای باریت و زیرکن غنی شدگی نشان می دهد.

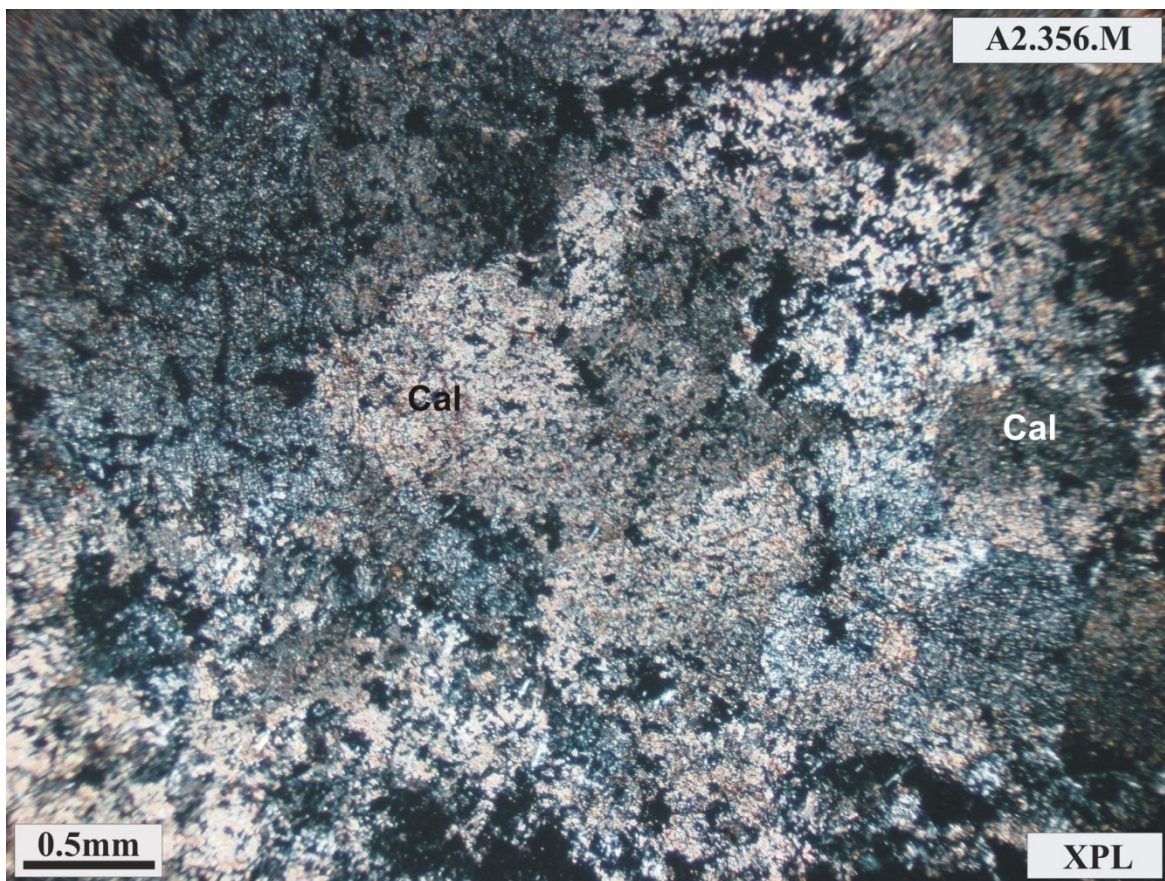
- نمونه کانی سنگین شماره A2-117-H که از محل نمونه ژئوشیمیایی ۱۱۷ برداشت شده است که نسبت به کانیهای باریت و زیرکن غنی شدگی نشان می دهد.



- نمونه کانی سنگین شماره A2-125-H که از محل نمونه ژئوشیمیایی ۱۲۵ برداشت شده است نسبت به کانیهای مونازیت و زیرکن غنی شدگی نشان می دهد.
 - نمونه کانی سنگین شماره A2-126-H که از محل نمونه ژئوشیمیایی ۱۲۶ برداشت شده است که نسبت به کانیهای مونازیت و زیرکن غنی شدگی نشان می دهد.
 - نمونه کانی سنگین شماره A2-129-H که از محل نمونه ژئوشیمیایی ۱۲۹ برداشت شده است که نسبت به کانیهای پیریت اکسید و پیرولوزیت غنی شدگی نشان می دهد.
 - نمونه کانی سنگین شماره A2-362-H که از محل نمونه ژئوشیمیایی ۳۶۲ برداشت شده است که نسبت به کانی باریت غنی شدگی نشان می دهد.
- همچنین از ناحیه فوق یازده نمونه مینرالیزه برداشت شده که شرح آنها بصورت زیر است:
- نمونه مینرالیزه شماره A2-113-M از مختصات جهانی (۳۷۶۴۶۰۰ و ۳۷۶۹۲۶) برداشت شده است. این نمونه نسبت به عناصر Fe, Ni, Re و Cu آنومال می باشد.
 - نمونه مینرالیزه شماره A2-116-M از مختصات جهانی (۳۷۶۴۶۲۰ و ۳۷۶۴۷) که این نمونه مینرالیزه از سنگ آهک سیلیسی شده به همراه اکسید آهن برداشت شده است. این نمونه نسبت به عناصر Fe و Re آنومال می باشد.
 - نمونه مینرالیزه شماره A2-117-M از مختصات جهانی (۳۷۶۴۶۰۰ و ۳۷۶۶۲۸) که این نمونه از سنگ حاوی اکسید آهن با آثار آلتراسیون سیلیسی برداشت شده است. همچنین در این محل آلتراسیون سیلیسیفیکاسیون مشاهده شده است. این نمونه نسبت به عناصر Fe, Mn, Re آنومال می باشد.
 - نمونه مینرالیزه شماره A2-127-M1 از مختصات جهانی (۳۷۶۴۲۰۲ و ۳۷۷۴۷۶) که این نمونه از سنگ حاوی پیریت فراوان و اکسید آهن برداشت شده است. این نمونه نسبت به عناصر Au, Cu, Fe آنومال می باشد.



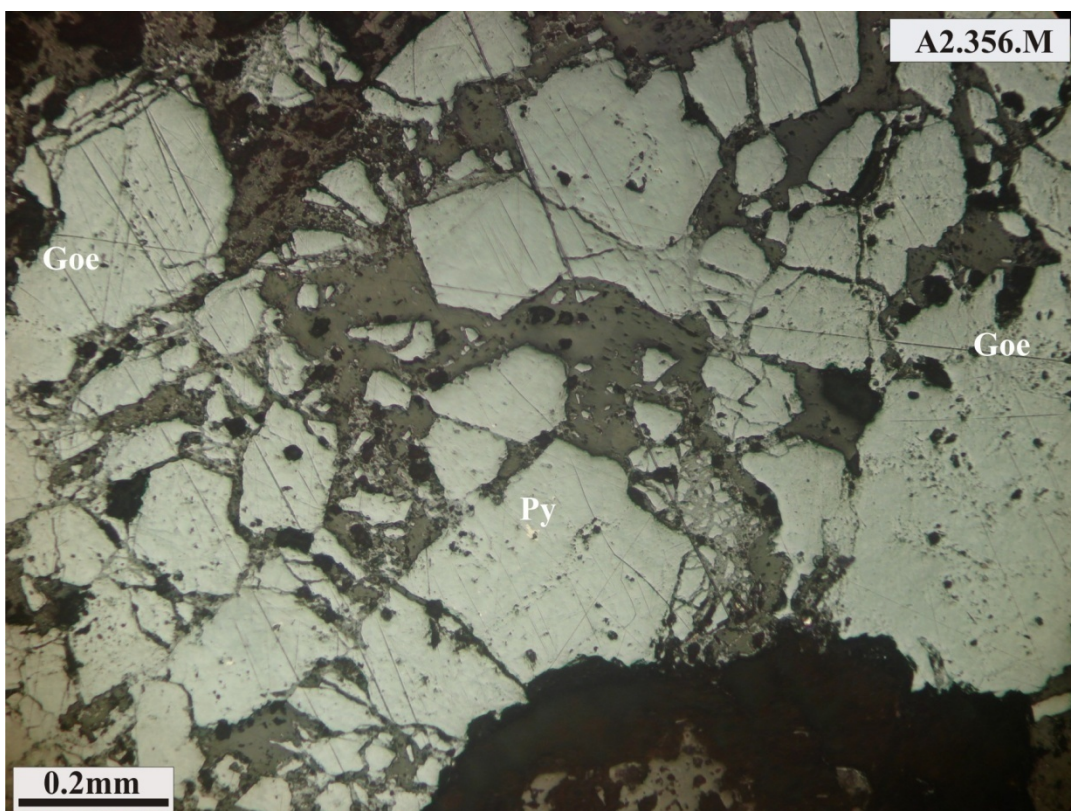
- نمونه مینرالیزه شماره A2-127-M2 از مختصات جهانی (۳۷۶۴۲۰۲ و ۳۷۷۴۷۶) که این نمونه از سنگ حاوی اکسید آهن و برنيت و کوپريت گرفته شد. اين نمونه نسبت به عناصر Fe و Re آنومال می باشد.
- نمونه مینرالیزه شماره A2-127-M3 از مختصات جهانی (۳۷۶۴۲۰۲ و ۳۷۷۴۷۶) که این نمونه از سنگ حاوی اکسید آهن برداشت شده است. اين نمونه نسبت به عناصر Co و Fe آنومال می باشد.
- نمونه مینرالیزه شماره A2-356-M از مختصات جهانی (۳۷۷۸۹۸ و ۳۷۶۳۹۳۵) که این نمونه از سنگ سيلیسي حاوی اکسید آهن برداشت شده است. اين نمونه نسبت به عناصر Co, Cu, Fe, Pb, Zn آنومال می باشد. در ادامه نتایج مطالعات میکروسکوپی تیغه نازک و مقطع صیقلی نمونه شماره A2.356.M آمده است. در ادامه نتایج مطالعات میکروسکوپی تیغه نازک و مقطع صیقلی نمونه شماره A2-356-M آمده است. شکل های شماره (۹-۴) و (۱۰-۴)



شکل شماره (۹-۴): تصویر میکروسکوپی مربوط به نمونه تیغه نازک A2-356-M نام سنگ میکرایت آهن دار



شرح شکل شماره (۹-۴): این شرح مربوط به تیغه نازک نمونه مینرالیزه A2-356-M میباشد. نمونه سنگ کربناته ریز بلور بوده و به مقدار قابل توجه حاوی ترکیبات نیمه شفاف و اپاک آهن دار (هماتیت و گوتیت) می باشد. زمینه اصلی سنگ کلسیت ریز بلور است که توسط شکستگی های فراوان و ظریف قطع شده است. این شکستگی ها به وسیله ترکیبات رنگی آهن دار و برخی از شکستگی ها به ضخامت حداقل یک میلیمتر با کلسیت پر شده است. در برخی از قسمت های نمونه که شکستگی ها کمتر است بلورهای درشت کلسیت با بافت موزاییکی و شبیه مرمر قابل مشاهده است بنابر این احتمال وجود دارد که نمونه اولیه سنگ آهک متبلور بوده و در نتیجه شکستگی و پرشدگی به صورت برشی و ریز بلور در آمده باشد. در برخی از رگچه ها و همیچنین به صورت بین بلوری قطعاتی با ویژگی کانی باریت قابل مشاهده است. با توجه به شواهد میکروسکوپی وجود دولومیت و آنکریت در نمونه منتفی نیست. بخش هایی از نمونه که احتمالاً نرم بوده است در حین آماده سازی تیغه نازک خالی شده و از بین رفته است.



شکل شماره (۱۰-۴): تصویر میکروسکوپی مربوط به مقطع صیقلی نمونه M

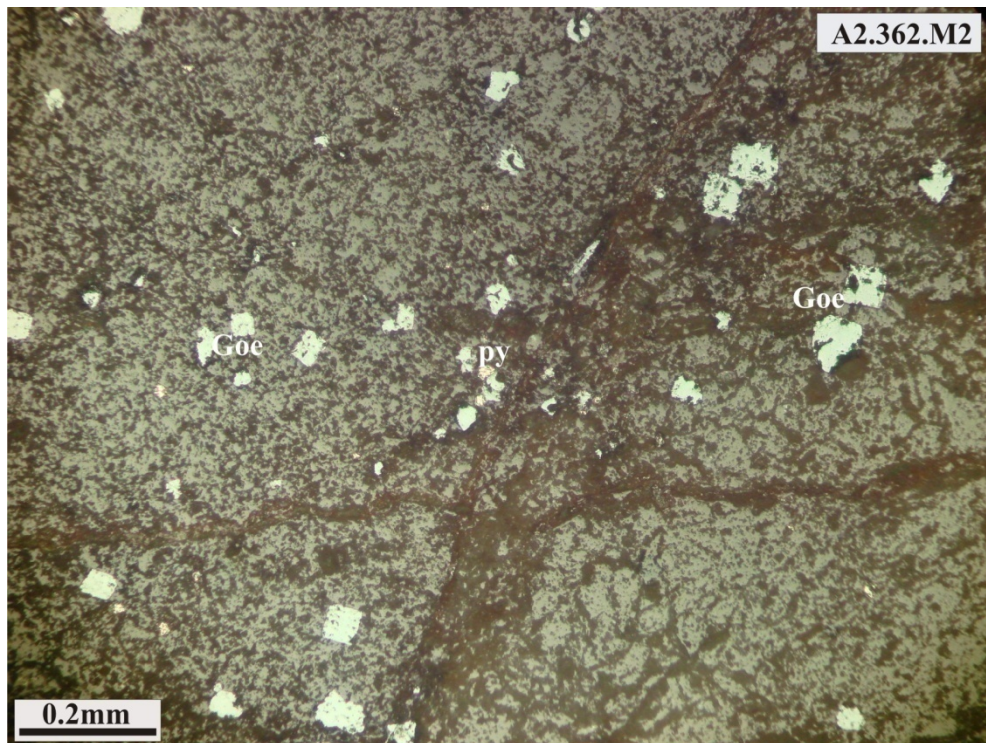


شرح شکل شماره (۱۰-۴): این شرح مربوط به مقطع صیقلی نمونه مینرالیزه A2-356 میباشد. بخش اعظم نمونه را ترکیبات شفاف همراه با آغشته‌گی به ترکیبات هیدروکسید آهن تشکیل داده است. به صورت موضعی در نمونه قطعات شکل دار و نیمه شکل دار در ابعاد حداکثر یک میلی متر دیده می‌شوند که توسط گوتیت و هماتیت جایگزین شده اند و به احتمال زیاد مربوط به بلورهای پیریت هستند. مقدار گوتیت و هماتیت موجود در سنگ در حدود ۱۲-۱۵ درصد برآورد شده است.

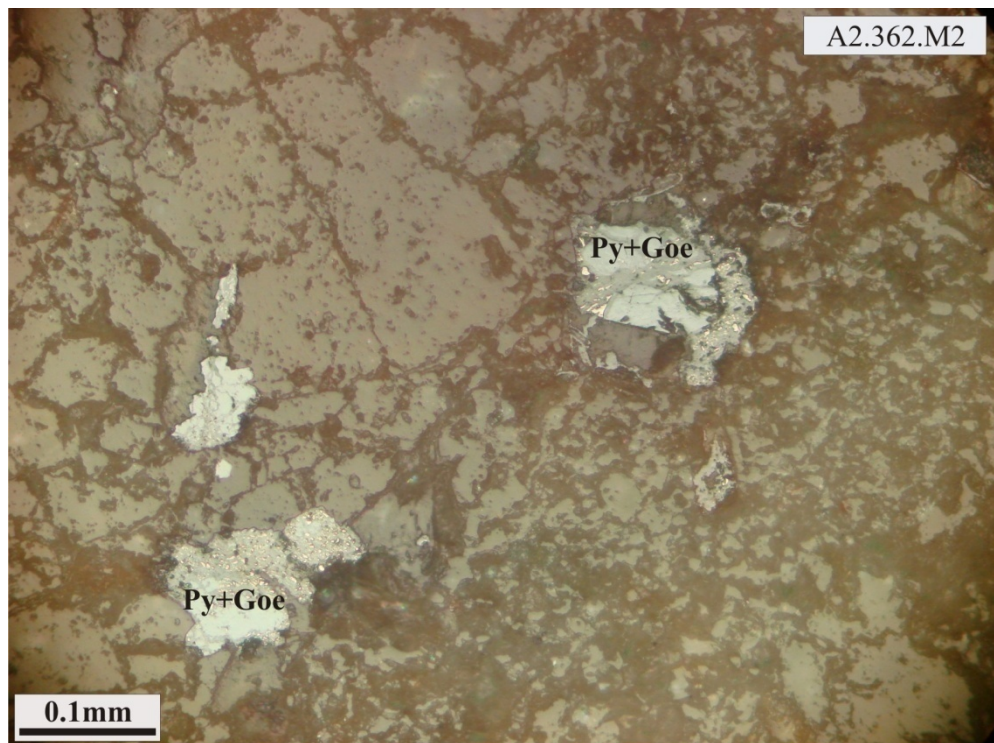
- نمونه مینرالیزه شماره A2-362-M1 از مختصات جهانی (۳۷۸۰۱۳ و ۳۷۶۴۱۵۱) که این نمونه از سنگی حاوی اکسید و کربنات‌های آهن برداشت شده است. این نمونه نسبت به عناصر Re, Co, Cu، Fe, Pb و آنومال می‌باشد.

- نمونه مینرالیزه شماره A2-362-M2 از مختصات جهانی (۳۷۸۰۱۳ و ۳۷۸۴۱۵۱) که این نمونه از سنگ سیلیسی حاوی اکسید اهن و مالاکیت برداشت شده است. این نمونه نسبت به عنصر Cu آنومال می‌باشد. در ادامه نتایج مطالعات میکروسکوپی مقطع صیقلی نمونه شماره A2-362-M2 آمده است. شکلهای شماره (۴-۱۱) و (۱۲-۴)

شرح شکلهای شماره (۱۱-۴) و (۱۲-۴): این شرح مربوط به مقطع صیقلی نمونه مینرالیزه A2-362-M2 میباشد. ترکیبات نیمه شفاف در نمونه عمدها از نوع گوتیت به مقدار حداکثر دو درصد وجود داشته که بخشی از آنها در فضای شکستگی‌ها متumerکز بوده و بخشی دیگر به صورت ذرات پراکنده در متن سنگ دیده می‌شود. با توجه به شواهد موجود بیشتر گوتیت به صورت جانشینی بجای پیریت است و ذرات ریز پیریت (اغلب کوچکتر از ۱۰ میکرون) بعضاً از داخل قطعات گوتیتی یافت می‌شوند. مالاکیت به صورت آغشته‌گی در فضای شکستگی‌ها و بعضاً پرشدگی حفرات به مقدار حداکثر یک درصد قابل ذکر است. از کانه‌های سولفیدی مس در نمونه اثری یافت نمی‌شود.



شکل شماره (۱۱-۴): تصویر میکروسکوپی مربوط به مقطع صیقلی نمونه A2.362.M2



شکل شماره (۱۲-۴): تصویر میکروسکوپی مربوط به مقطع صیقلی نمونه A2.362.M2



- نمونه مینرالیزه شماره A2-362-M3 از مختصات جهانی (۳۷۸۰۱۳ و ۳۷۶۴۱۵۱) که این نمونه از رگه سیلیسی

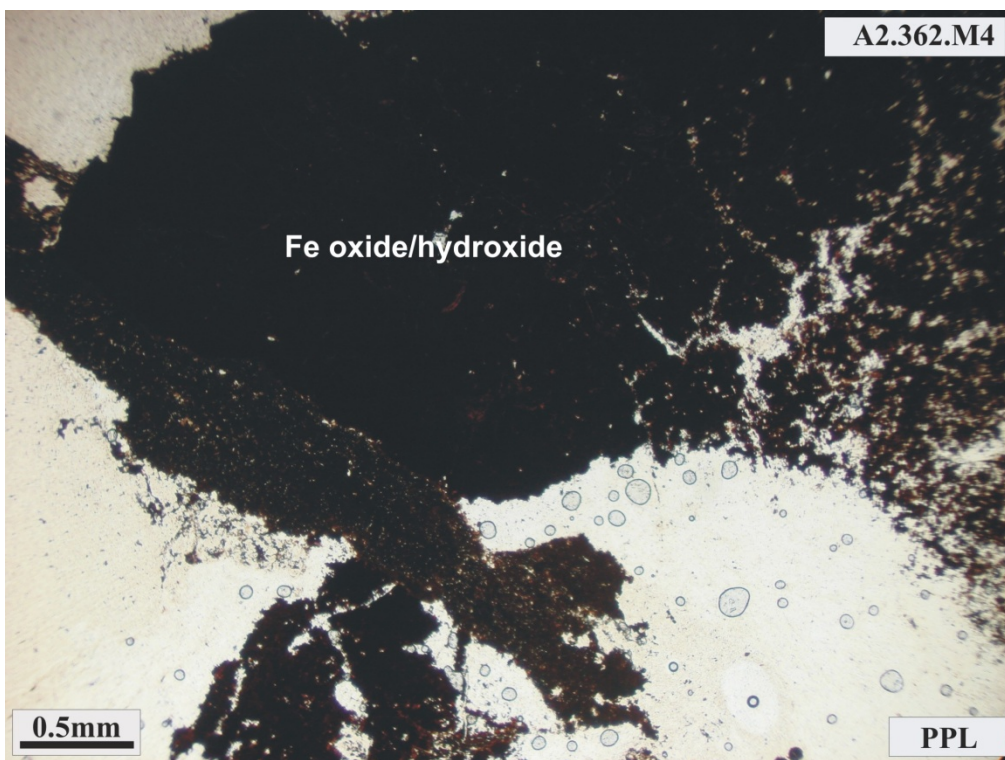
حاوی اکسید آهن برداشت شده است. این نمونه نسبت به عناصر Fe، Ag و Re آنومال می باشد.

- نمونه مینرالیزه شماره A2-362-M4 از مختصات جهانی (۳۷۸۰۱۳ و ۳۷۶۴۱۵۱) که این نمونه از رگه

سیلیسی حاوی اکسید آهن و پیریت برداشت شده است. این نمونه نسبت به عناصر Fe, Co, Cu و Re آنومال

می باشد. در ادامه نتایج مطالعات میکروسکوپی تیغه نازک نمونه شماره A2-362-M4 آمده است شکل شماره

(۱۳-۴)



شکل شماره (۱۳-۴): تصویر میکروسکوپی مربوط به نمونه تیغه نازک A2-362-M4 نام سنگ اکسید و هیدروکسید آهن

شرح شکل شماره (۱۳-۴): این شرح مربوط به تیغه نازک نمونه مینرالیزه A2-362-M4 میباشد. بخش عمده نمونه

در حین تهیه تیغه نازک از بین رفته است و در آن تنها قطعات پراکنده حاوی اکسید و هیدروکسید آهن (هماتیت و

لیمونیت) باقی مانده است. اکثر قطعات حاوی ترکیبات آهن دار نیمه شفاف بوده و به ندرت ماهیت اپاک نشان می

دهند. با توجه به کیفیت تیغه ماهیت سنگ اصلی و تشکیل دهنده های آن (غیر از موارد ذکر شده) مشخص نمی



باشد. در صورت نیاز باید مجدد تیغه نازک تهیه و مطالعه کرد.

۴-۶-۲-۴- محدوده فاهنجار A6

این آنومالی در ۶۵ کیلومتری جنوب غرب فنجان واقع شده است. با توجه به شکل شماره (۱۴-۴) مشاهده می شود که این محدوده آنومالی در منطقه نسبتا همواری واقع شده است که از سمت شمال به ارتفاعات پست و از سمت جنوب به دره سرسبز سنجان متنه می شود. مساحت این حوضه بالغ بر دو کیلومتر مربع است.



شکل شماره (۱۴-۴) : تصویر ماهواره‌ای محدوده آنومال A6

عنصر Au در این منطقه آنومال می باشد. سنگهای موجود در بالادست آن عبارتند از: سنگ آهک اسلیتی، اسلیت آهکی ، اسلیت ماسه ای ، سنگ آهک، اسلیت سیلتی و اسلیت آرژیلیتی. در مشاهدات صحرابی این منطقه شیل و نیز آلتراسیون لیمونیتی مشاهده شده است. از منطقه فوق پنج نمونه کانی سنگین به شرح ذیل برداشت



شده است:

- نمونه کانی سنگین شماره A2-281-H که از محل نمونه ژئوشیمیایی ۲۸۱ برداشت شده است که نسبت به کانیهای باریت، سروزیت، گالن، مس طبیعی، پیرولوزیت و زیرکن غنی شدگی نشان می دهد.
 - نمونه کانی سنگین شماره A2-268-H که از محل نمونه ژئوشیمیایی ۲۶۸ برداشت شده است که نسبت به کانی پیریت غنی شدگی نشان می دهد.
 - نمونه کانی سنگین شماره A2-351-H که از محل نمونه ژئوشیمیایی ۳۵۱ برداشت شده است که نسبت به هیچ یک از کانیها غنی شدگی نشان نمی دهد.
 - نمونه کانی سنگین شماره A2-357-H که از محل نمونه ژئوشیمیایی ۳۵۷ برداشت شده است که نسبت به کانیهای باریت و مونازیت غنی شدگی نشان می دهد.
 - نمونه کانی سنگین شماره A2-364-H که از محل نمونه ژئوشیمیایی ۳۶۴ برداشت شده است که نسبت به کانیهای باریت، سروزیت، فلوریت، طلا، گوتیت، هماتیت، گالن، ایلمنیت، پیریت لیمونیت، پیرولوزیت، اسمیت زونیت و زیرکن غنی شدگی نشان می دهد.
- همچنین از ناحیه فوق دو نمونه مینرالیزه برداشت شده که شرح آنها بصورت زیر است:
- نمونه مینرالیزه شماره A2-357-M1 از مختصات جهانی (۳۷۱۰۶۲ و ۳۷۶۷۲۷۳) که نمونه از یک رگه کلسیتی با آلتره آنکریتی برداشت شده است. این نمونه نسبت به هیچ کدام از عناصر آنومال نمی باشد.
 - نمونه مینرالیزه شماره A2-357-M2 از مختصات جهانی (۳۷۱۰۵۷ و ۳۷۶۷۲۹۶) که نمونه از آهک حاوی اکسید های آهن با تلالو قوس قزحی برداشت شده است. این نمونه نسبت به عنصر Re آنومال می باشد.

A7-۴-۲-۷- محدوده فاهنجار

- این آنومالی در ۰/۷۵ کیلومتری شمال سنجان و اطراف آن واقع شده است. با توجه به شکل شماره ۴-۱۵ مشاهده می شود که این محدوده آنومالی نیز در منطقه نسبتا نا همواری واقع شده است که از سمت شرق و



شکل شماره (۱۵-۴) : تصویر ماهواره‌ای محدوده آنومال ۷

شمال شرقی به ارتفاعات از سمت جنوب غربی به دره سرسبز سنجان ختم می‌شود. مساحت این حوضه در حدود ۹۳ کیلومتر مربع است. عناصر Zn و Ti در این منطقه آنومال می‌باشند. سنگ‌های موجود در بالادست آن سنگ آهک اسلیتی، اسلیت آهکی، اسلیت ماسه‌ای، سنگ آهک، اسلیت سیلتی، اسلیت آرژیلیتی، مونزودیوریت و مونزو گابرو می‌باشد. در مشاهدات صحرابی این منطقه سنگ‌های سیلیس و نیز آلتراسیون‌های سیلیسی و لیمونیتی مشاهده شده است. از منطقه فوق چهار نمونه کانی سنگین به شرح زیر برداشت شده است:

- نمونه کانی سنگین شماره A2-147-H که از محل نمونه ژئوشیمیایی ۳۵۱ برداشت شده است که نسبت به کانیهای باریت، سینابر، سروزیت، گالن، مس طبیعی و زیرکن غنی شدگی نشان می‌دهد.



- نمونه کانی سنگین شماره A2-264-H که از محل نمونه ژئوشیمیایی ۲۶۴ برداشت شده است که نسبت به

کانیهای باریت، سروزیت، گوتیت، لوکوکسن، سرب طبیعی، پیریت اکسید، پیریت لیمونیت، پیرولوزیت و زیرکن غنی شدگی نشان می دهد.

- نمونه کانی سنگین شماره A2-268-H که از محل نمونه ژئوشیمیایی ۲۶۸ برداشت شده است که نسبت به

کانیهای باریت، سروزیت، گالن، هماتیت، لوکوکسن، پیرولوزیت، سفیر، اسمیت زونیت، زیرکن و مجموع کانی های آهن، مجموع کانه های فلزی و مجموع کانه های غیرفلزی غنی شدگی نشان می دهد.

- نمونه کانی سنگین شماره A2-269-H که از محل نمونه ژئوشیمیایی ۲۶۹ برداشت شده است که نسبت به

کانیهای باریت، سروزیت، گالن، گوتیت، لوکوکسن، هماتیت، اسمیت زونیت، پیرولوزیت و زیرکن غنی شدگی نشان می دهد.

همچنین از ناحیه فوق دو نمونه مینرالیزه برداشت شده که شرح آنها بصورت زیر است:

- نمونه مینرالیزه شماره A2-174-M از مختصات جهانی (۳۷۷۱۲۹۰ و ۳۷۲۲۰۱) که نمونه از یک رگه سیلیسی حاوی اکسید آهن برداشت شد. این نمونه نسبت به عنصر Re آنومال می باشد.

- نمونه مینرالیزه شماره A2-264-M از مختصات جهانی (۳۷۷۱۱۶۵ و ۳۷۲۲۳۱۰) برداشت شده است. شامل آهک سیلیفای با آلتره پیریتی میباشد. این نمونه نسبت به عنصر Re آنومال می باشد.

۴-۲-۸- محدوده ناهنجار A8

این آنومالی در ۸۷ کیلومتری شرق کوه مودر واقع شده است. با توجه به شکل شماره (۴-۱۶) مشاهده می شود که این محدوده آنومالی نیز در منطقه نسبتا همواری واقع شده است که از سمت غرب به ارتفاعات و از سمت شرق به دره منطقه همواری متنه می شود. مساحت این حوضه بالغ بر ۴/۰ کیلومتر مربع است.

- عنصر La با مساحت ۴۶/۰ کیلومتر مربع و همچنین عنصر As در این منطقه آنومال می باشند. سنگهای موجود در بالادست آن عبارتند از: سنگ آهک اسلیتی، اسلیت آهکی، اسلیت ماسه ای، سنگ آهک،



شکل شماره (۱۶-۴) : تصویر ماهواره‌ای محدوده آنومال A8

اسلیت سیلتی و اسلیت آرژیلیتی. در مشاهدات صحرایی این منطقه شیل مشاهده شده است. از منطقه

فوق دو نمونه کانی سنگین به شرح ذیل برداشت شده است:

نمونه کانی سنگین شماره A2-45-H که از محل نمونه ژئوشیمیایی ۴۵ برداشت شده است و نسبت به کانیهای

باریت، سروزیت، گالن، هماتیت، مگنتیت، ماسیکوت، مس طبیعی، پیرولوزیت، پیریت اکسید، اسمیت زونیت و زیرکن

غنى شدگى نشان مى دهد.

- نمونه کانی سنگین شماره A2-107-H که از محل نمونه ژئوشیمیایی ۱۰۷ برداشت شده است که نسبت به

کانیهای باریت، مگنتیت، پیریت اکسید و زیرکن غنى شدگى نشان مى دهد.

به دلیل محدودیت در تعداد نمونه ها، از این ناحیه نمونه مینرالیزه برداشت نشده است.



A9-۴-۲-۹ - محدوده فاهنجار ۹

این آنومالی در ۷ کیلومتری شمال کوه قره داغ واقع شده است. با توجه به شکل شماره (۱۷-۴) مشاهده می‌شود که این محدوده آنومالی نیز در منطقه نسبتاً ناهمواری واقع شده است که از اطراف به ارتفاعات منتهی می‌شود در مرکز این محدوده آبراهه‌ای وجود دارد که از ارتفاعات اطراف تعذیه می‌شود. مساحت این حوضه بالغ بر ۶۶ کیلومتر مربع است.



شکل شماره (۱۷-۴) : تصویر ماهواره‌ای محدوده آنومال A9

عنصر Pb در این منطقه آنومال می‌باشد. سنگ‌های موجود در بالادست آن عبارتند از: سنگ آهک اسلیتی، اسلیت آهکی، اسلیت ماسه‌ای، سنگ آهک، اسلیت سیلتی و اسلیت آرژیلیتی. در مشاهدات صحرایی این منطقه شیل مشاهده شده است. از منطقه فوق تنها یک نمونه کانی سنگین به شماره H-A2-179 که از محل نمونه ژئوشیمیایی ۱۷۹ برداشت شده است که نسبت به کانیهای باریت، سروزیت، گالن، مونازیت، پیریت،



اسمیت زونیت و زیرکن غنی شدگی نشان میدهد.

به دلیل محدودیت در تعداد نمونه ها، از این ناحیه نمونه میترالیزه برداشت نشده است.

A10-۴-۲-۴ - محدوده ناهنجار

این آنومالی در جنوب کوه نظم آباد واقع شده است. با توجه به شکل شماره (۱۸-۴) مشاهده می شود که این محدوده آنومالی نیز در منطقه نسبتا ناهمواری واقع شده است جنوب به ارتفاعات کوه ناصر شaque و از سمت شمال به دره تنگی منتهی می شود . مساحت این حوضه بالغ بر ۶۸ کیلومتر مربع است.



شکل شماره (۱۸-۴) : تصویر ماهواره‌ای محدوده آنومال A10

عناصر Cd,Pb و S در این منطقه آنومال می باشند. سنگهای موجود در بالادست آن عبارتند از: سنگ آهک اسلیتی، اسلیت آهکی ، اسلیت ماسه ای ، سنگ آهک، اسلیت سیلیتی و اسلیت آرژیلیتی. در مشاهدات



صحرایی این منطقه شیل مشاهده شده است. از منطقه فوق سه نمونه کانی سنگین به شرح ذیل برداشت شده

است:

- نمونه کانی سنگین شماره H-A2-293 که از محل نمونه ژئوشیمیایی ۲۹۳ برداشت شده است که نسبت به کانی مونازیت غنی شدگی نشان می دهد.

- نمونه کانی سنگین شماره H-A2-301 که از محل نمونه ژئوشیمیایی ۳۰۱ برداشت شده است که نسبت به

به

کانیهای باریت، مونازیت، مس طبیعی و پیریت غنی شدگی نشان می دهد.

- نمونه کانی سنگین شماره H-A2-302 که از محل نمونه ژئوشیمیایی ۳۰۲ برداشت شده است که نسبت به کانیهای باریت و مونازیت غنی شدگی نشان می دهد

همچنین از ناحیه فوق دو نمونه مینرالیزه برداشت شده که شرح آنها بصورت زیر است:

- نمونه مینرالیزه شماره M-A2-293 از مختصات جهانی (۳۸۰۷۳۴ و ۳۷۶۷۲۶۹) برداشت شده است. شامل رگچه های سیلیس حاوی اکسید آهن می باشد. این نمونه نسبت به عنصر Zn آنومال می باشد.

- نمونه مینرالیزه شماره M-A2-301 از مختصات جهانی (۳۸۰۷۰۵ و ۳۷۶۸۳۰) برداشت شده است. شامل رگچه های حاوی اکسید آهن می باشد. این نمونه نسبت به هیچ کدام از عناصر آنومال نمی باشد.

A11-۴-۲-۱- محدوده ناهنجار

این آنومالی در ۱/۶ کیلومتری شمال غرب روستای نظم آباد واقع شده است. با توجه به شکل شماره (۱۹-۴) مشاهده میشود که این محدوده آنومالی نیز در منطقه نسبتا ناهمواری واقع شده است که از سمت جنوب به ارتفاعات پست و از سمت شمال به منطقه همواری که به شهر اراک متنه می شود، می رسد. مساحت این حوضه بالغ بر ۱۷ کیلومتر مربع است. عناصر Pb و Cu در این منطقه آنومال می باشند. سنگهای موجود در بالادست آن عبارتند از: سنگ آهک اسلیتی، اسلیت آهکی، اسلیت ماسه‌ای، سنگ آهک، اسلیت سیلتی و اسلیت آرژیلیتی. در مشاهدات صحرایی این منطقه شیل و نیز آلتراسیون های لیمونیتی و بطور محدود سیلیسی مشاهده



شکل شماره (۱۹-۴) : تصویر ماهواره‌ای محدوده آنومال A11

شده است. از منطقه فوق تنها یک نمونه کانی سنگین به شماره A2-313-H که از محل نمونه ژئوشیمیایی ۳۱۳ برداشت شده است که نسبت به کانیهای باریت، مس طبیعی و پیریت اکسید غنی شدگی نشان میدهد.

همچنین از ناحیه فوق دو نمونه مینرالیزه برداشت شده که شرح آنها بصورت زیر است:

- نمونه مینرالیزه شماره A2-311-M از مختصات جهانی (۳۷۶۹۶۳۷ و ۳۸۱۰۰۴) که این نمونه از یک رگه ی لیمونیتی و سیلیسی گرفته شده است. این نمونه نسبت به هیچ کدام از عناصر آنومال نمی باشد. در ادامه طی شکل (۲۰-۴) محل نمونه ۳۱۱ نمایش داده شده است که رگه سیلیسی - لیمونیتی درون سیلت کربناتی را نشان می دهد.



شکل شماره (۴-۲۰): تصویر محل برداشت نمونه M-311-A2، رگه سیلیسی - لیمونیتی درون سیلت کربناتی

- نمونه مینرالیزه شماره A2-313-M از مختصات جهانی (۳۸۱۰۶۶ و ۳۷۶۹۷۲۱) که این نمونه از واریزه های حاوی اکسید آهن پیریت برداشت شده است. این نمونه نسبت به هیچ کدام از عناصر آنومال نمی باشد.

۱۲-۲-۴- محدوده فاصله از A12

این آنومالی در ۱/۷ کیلومتری شمال غرب کوه نظم آباد واقع شده است. با توجه به شکل شماره (۴-۲۱) مشاهده میشود که این محدوده آنومالی نیز در منطقه نسبتا ناهمواری است که در ارتفاعات کوه نظم آباد واقع شده است. مساحت این حوضه بالغ بر ۰/۲ کیلومتر مربع است.

عنصر Ag در این منطقه آنومال می باشد. سنگهای موجود در بالادست آن عبارتند از: سنگ آهک اسلیتی، اسلیت آهکی، اسلیت ماسه‌ای، سنگ آهک، اسلیت سیلتی و اسلیت آرژیلیتی. در مشاهدات صحرایی این منطقه شیل و نیز آتراسیون های لیمونیتی و بطور محدود سیلیسی مشاهده شده است. از منطقه فوق تنها یک نمونه کانی



شکل شماره (۴-۲۱): تصویر ماهواره‌ای محدوده آنومال A12

سنگین به شماره A2-383-H که از محل نمونه ژئوشیمیایی ۳۸۳ برداشت شده است و نسبت به کانیهای باریت، سروزیت، سرب طبیعی و زیرکن غنی شدگی نشان میدهد. همچنین از ناحیه فوق تنها یک نمونه مینرالیزه به شماره A2-383-M از مختصات جهانی (۳۷۶۸۳۷۵ و ۳۷۹۴۸۰) که نمونه از سنگی که در سطح آن اندکی برნیت میباشد، برداشت گردیده است. این نمونه نسبت به عناصر Fe و Cu آنومال می باشد.

۱۳-۲-۴ - محدوده ناهنجار A13

این آنومالی در ۵۶ کیلومتری جنوب شرقی کوه مستوفی واقع شده است. با توجه به شکل شماره (۴-۲۲) این آنومالی می شود که این محدوده آنومالی نیز در منطقه نسبتاً ناهمواری واقع شده است که از سمت جنوب به



شکل شماره (۴-۲۲) : تصویر ماهواره‌ای محدوده آنومال A13

ارتفاعات کوه سرخ و از سمت شمال به محدوده شهر اراک منتهی می‌شود. مساحت این حوضه بالغ بر ۳۸.^۰ کیلومتر مربع است. عنصر Ag در این منطقه آنومال می‌باشد. سنگ‌های موجود در بالادست آن عبارتند از: سنگ آهک اسلیتی، اسلیت آهکی، اسلیت ماسه‌ای، سنگ آهک، اسلیت سیلتی و اسلیت آرژیلیتی. در مشاهدات صحرایی این منطقه شیل مشاهده شده است. از منطقه فوق سه نمونه کانی سنگین به شرح ذیل برداشت شده است:

- نمونه کانی سنگین شماره A2-404-H که از محل نمونه ژئوشیمیایی ۴۰۴ برداشت شده است و نسبت به کانیهای باریت، هماتیت، مونازیت، مس طبیعی و زیرکن غنی شدگی نشان می‌دهد.
- نمونه کانی سنگین شماره A2-420-H که از محل نمونه ژئوشیمیایی ۴۲۰ برداشت شده است که نسبت به کانیهای باریت، سروزیت، گالن، گوتیت، هماتیت، کیانیت، مگنتیت، ماسیکوت، مونازیت، مس طبیعی، پیرولوزیت، اسمیت زونیت و زیرکن غنی شدگی نشان می‌دهد.



- نمونه کانی سنگین شماره A2-422-H که از محل نمونه ژئوشیمیایی ۴۲۲ برداشت شده است که نسبت به کانیهای باریت، کالکوپیریت، سروزیت، گالن، هماتیت، کیانیت، مونازیت، مس طبیعی، پیرولوزیت، اسمیت زونیت و زیرکن غنی شدگی نشان می دهد.
به دلیل محدودیت در تعداد نمونه ها، از این ناحیه نمونه مینرالیزه برداشت نشده است.

A14-۲-۴ - محدوده ناهنجار

این آنومالی در جنوب کوه مستوفی واقع شده است. با توجه به شکل شماره (۲۳-۴) مشاهده می شود که این محدوده آنومالی نیز در منطقه نسبتا ناهمواری واقع شده است که از سمت شمال و شمال شرقی به ارتفاعات ملایمی و از سمت غرب و جنوب غربی به محدوده شهر اراک منتهی می شود. مساحت این حوضه بالغ بر $\frac{1}{3}$ کیلومتر مربع است.



شکل شماره (۲۳-۴) : تصویر ماهواره‌ای محدوده آنومال A14



عناصر Zn و $\text{Pb}, \text{Cu}, \text{Sn}, \text{Sb}, \text{Cd}$ در این منطقه آنومال می باشند. سنگهای موجود در بالادست آن عبارتند از: سنگ آهک اسلیتی، اسلیت آهکی، سنگ آهک، اسلیت سیلیتی و اسلیت آرژیلیتی. در مشاهدات صحرایی این منطقه شیل مشاهده شده است. از منطقه فوق چهار نمونه کانی سنگین به شرح ذیل برداشت شده است:

- نمونه کانی سنگین شماره A2-414-H که از محل نمونه ژئوشیمیایی ۴۱۴ برداشت شده است و نسبت به کانیهای سینابر، سروزیت، الکتروم، گالن، طلا، گوتیت، هماتیت، مگنتیت، مونازیت، اسمیت زونیت و زیرکن غنی شدگی نشان می دهد.
- نمونه کانی سنگین شماره A2-415-H که از محل نمونه ژئوشیمیایی ۴۱۵ برداشت شده است که نسبت به کانیهای باریت و مس طبیعی غنی شدگی نشان می دهد.
- نمونه کانی سنگین شماره A2-416-H که از محل نمونه ژئوشیمیایی ۴۱۶ برداشت شده است که نسبت به کانیهای باریت، هماتیت و مونازیت غنی شدگی نشان می دهد.
- نمونه کانی سنگین شماره A2-419-H که از محل نمونه ژئوشیمیایی ۴۱۹ برداشت شده است که نسبت به کانیهای باریت، الکتروم و مونازیت غنی شدگی نشان می دهد.
به دلیل محدودیت در تعداد نمونه ها، از این ناحیه نمونه مینرالیزه برداشت نشده است.

۴-۲-۱۵- محدوده ناهنجار A15

این آنومالی در ۱/۶ کیلومتری غرب کوه قره داغ واقع شده است. با توجه به شکل شماره (۲۴-۴) مشاهده می شود که این محدوده آنومالی در منطقه نسبتا ناهمواری واقع شده است که از سمت شمال و شمال شرقی به ارتفاعات و از سمت غرب و جنوب غربی به دره ای که شامل آبراهه اصلی است منتهی می شود. مساحت این حوضه بالغ بر ۶۲ کیلومتر مربع است.



شکل شماره (۴-۲۴) : تصویر ماهواره‌ای محدوده آنومال A15

عناصر As و Sb در این منطقه آنومال می‌باشد. سنگ‌های موجود در بالادست آن عبارتند از: سنگ آهک اسلیتی، اسلیت آهکی، اسلیت ماسه‌ای، سنگ آهک، اسلیت سیلتی، اسلیت آرژیلیتی و مونزوودیوریت و مونزوگابرو. در مشاهدات صحرایی این منطقه شیل و نیز آلتراسیونهای لیمونیتی، هماتیتی و سیلیسی مشاهده شده است. از منطقه فوق دو نمونه کانی سنگین به شرح ذیل برداشت شده است:

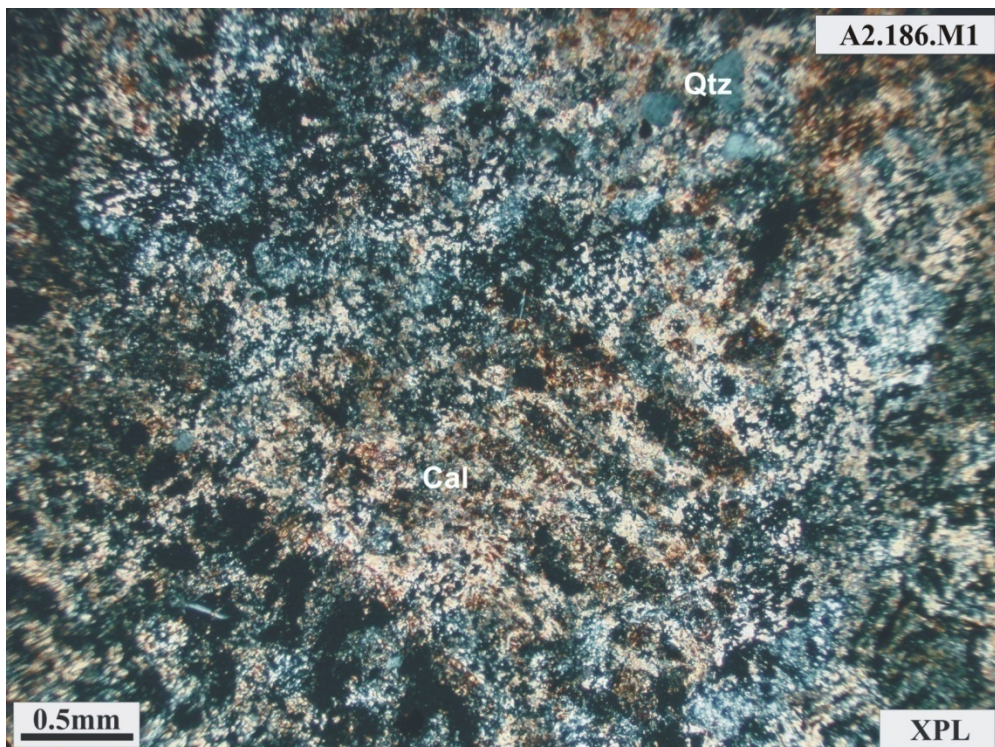
- نمونه کانی سنگین شماره A2-186-H که از محل نمونه ژئوشیمیایی ۱۸۶ برداشت شده است که نسبت به کانی مونازیت غنی شدگی نشان می‌دهد.
- نمونه کانی سنگین شماره A2-190-H که از محل نمونه ژئوشیمیایی ۱۹۰ برداشت شده است که نسبت به کانی‌های باریت و طلا غنی شدگی نشان می‌دهد.



- همچنین از ناحیه فوق چهار نمونه مینرالیزه برداشت شده که شرح آنها بصورت زیر است:

نمونه مینرالیزه شماره A2-186-M1 از مختصات جهانی (۳۷۶۵۶۳۱ و ۳۷۶۲۸۷) که نمونه از محدوده دارای کانی سازی آهن با وسعت زیاد و عیار کم برداشت گردیده است. این نمونه نسبت به عناصر Fe, Mn آنومال می باشد. در ادامه نتایج مطالعات میکروسکوپی تیغه نازک و مقطع صیقلی نمونه شماره A2-186-M1 آمده است.

شکل‌های شماره (۲۵-۴) و (۲۶-۴)

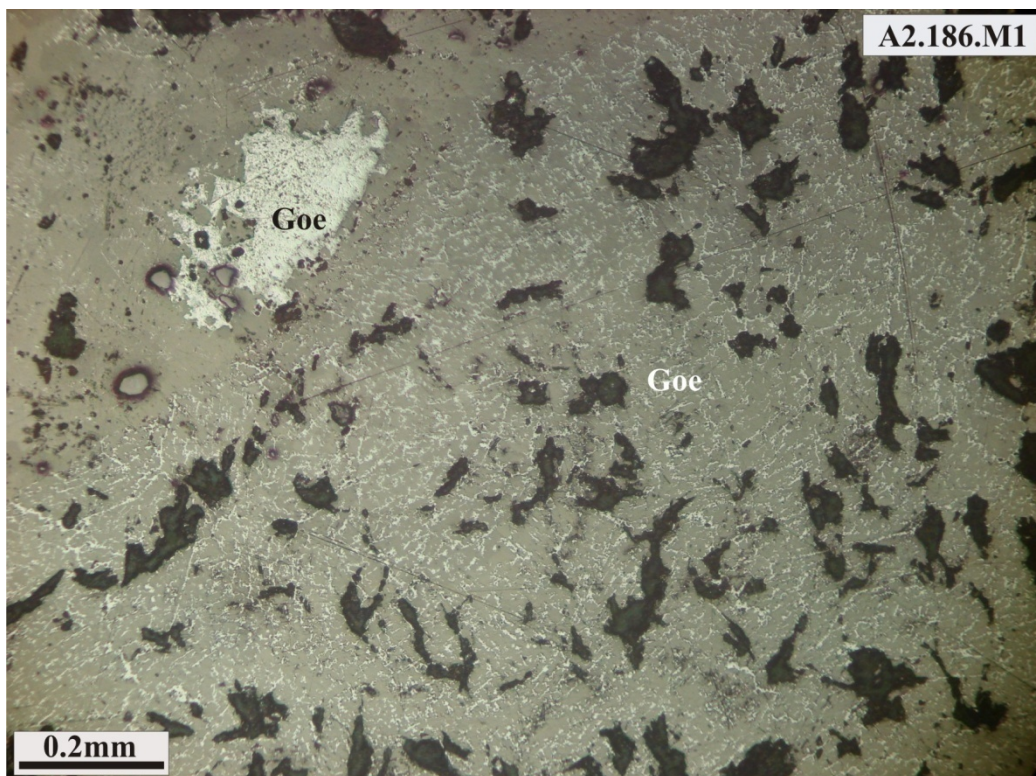


شکل شماره (۲۵-۴): تصویر میکروسکوپی مربوط به تیغه نازک نمونه A2.186.M1 نام سنگ: میکرات آهن دار

شرح شکل شماره (۲۵-۴): این شرح مربوط به تیغه نازک نمونه مینرالیزه A2-186-M1 میباشد. نمونه سنگ کربناته ریز بلور بوده و به مقدار فراوان (حدود ۱۵ درصد) دارای ترکیبات آهن دار به صورت اکسید و هیدروکسید (هماتیت و لیمونیت) می باشد. کلسیت کانی اصلی تشکیل دهنده سنگ بوده و به شکل بلورهای ریز (میکرات) تا میکرو اسپارایت) یافت می شود. فضای بین بلورهای کلسیتی را ترکیبات آهن دار اشغال کرده است. کوارتز به صورت قطعات بی شکل و در حدود یک تا دو درصد در فضای شکستگی ها و همچنین در متن سنگ مشاهده



می شود. رگچه های متعددی با ضخامت کمتر از یک میلیمتر نمونه را قطع کرده است که اغلب با کلسیت و بعضاً با کوارتز و به ندرت با آپاک و نیمه شفاف پر شده است. در نمونه چند لکه کوچک سیاه رنگ که احتمالاً مربوط به ترکیبات آلی می شود قابل ذکر است. بر بخش هایی از نمونه بافت برشی ضعیف همراه با سیلیسی شدن وجود دارد.



شکل شماره (۲۶-۴): تصویر میکروسکوپی مربوط به مقطع صیقلی نمونه A2.186.M1

شرح شکل شماره (۲۶-۴): این شرح مربوط به تیغه نازک مقطع صیقلی A2-186-M1 میباشد. نمونه مورد مطالعه حاوی ذرات پیریت به فرم شبکه‌ای از هیدروکسیدهای آهن (عمدتاً گوتیت) بوده و در مواردی نیز قطعات شکل‌دار- نیمه‌شکل‌دار در اندازه‌های حداقل یک میلی‌متر به صورت اشکال دروغین با گوتیت جانشین شده اند (پیریت و اکسید آهن اولیه). مقدار گوتیت در نمونه حدود ۱۲ تا ۱۵ درصد برآورد می‌شود. در ادامه شکل (۲۷-۴) از محل نمونه ۱۸۶ نمایش داده شده است که خرد شدگی آهک و سیمان شدن آن توسط محلولهای کلسیتی ثانویه را نشان می‌دهد.



شکل شماره (۴-۲۷): تصویر محل برداشت نمونه‌های مینرالیزه A2-186، رگهای مربوط به اکسید و هیدروکسیدهای آهن

- نمونه مینرالیزه شماره A2-186-M2 از مختصات جهانی (۳۷۶۵۶۳۱ و ۳۷۶۲۸۷) که نمونه از محدوده دارای کانی سازی آهن با وسعت زیاد و عیار کم برداشت گردیده است. این نمونه نسبت به عناصر Fe, As آنومال می باشد.
- نمونه مینرالیزه شماره A2-186-M3 از مختصات جهانی (۳۷۶۵۶۳۱ و ۳۷۶۲۸۷) که نمونه از محدوده دارای کانی سازی آهن با وسعت زیاد و عیار کم برداشت گردیده است. این نمونه نسبت به عناصر Fe, Mn آنومال می باشد.

- **شرح شکل شماره (۴-۲۷):** در این منطقه رگهایی با ترکیب اکسید و هیدروکسیدهای آهن با ضخامت چند متر و گسترش چند صد متر در منطقه وجود دارد که همگی نمونه‌های مینرالیزه این منطقه از این رگهای برداشت شده- و گسترش چند صد متر در این عکس برنج زرد و قرمز مشاهده می‌شوند.



- نمونه مینرالیزه شماره A2-186-M4 از مختصات جهانی (۳۷۶۵۶۳۱ و ۳۷۶۲۸۷) که نمونه از محدوده دارای کانی سازی آهن با وسعت زیاد و عیار کم برداشت گردیده است. این نمونه نسبت به عناصر آنومال Fe,Mn,Ba می باشد.

۴-۳-۳- مطالعه رابطه آنومالیها با ساختارهای تکتونیکی

۴-۳-۱- روش مطالعه

در این پژوهش روش مطالعه دانسیته شکستگیها، که می توان آن را متناسب با دانسیته شکستگیها فرض کرد به شرح زیر بوده است:

۱- رقومی نمودن گسلهای موجود در نقشه زمین‌شناسی و ژئوفیزیک هوایی با استفاده از نرم افزار مناسب.

۲- انتخاب مبدأ مختصات در گوشه جنوب غربی برگه.

۳- رسم شبکه مربعی برای با ابعاد 250×250 متر.

۴- اندازه گیری طول شکستگیها موجود در هر واحد شبکه و سپس محاسبه حاصل جمع آنها بازه واحد سطح. در این مورد شکستگیهایی که دارای امتداد مختلف هستند، طول آنها بدون در نظر گرفتن امتدادشان در نظر گرفته می‌شود. زیرا اثر آنها در ایجاد شکستگی‌ها مشابه فرض می‌شود. این حاصل جمع طول شکستگیها به مرکز همان واحد شبکه نسبت داده می‌شود.

۵- مطالعه آماری مجموع طول شکستگیها و سپس رسم نقشه توزیع آن در هر برگه.

۶- رسم نقشه توزیع متغیر دانسیته شکستگیها از طریق تخمین کریجینگ.

۷- کاربرد نقشه توزیع سیستم شکستگی‌ها در مدل سازی آنومالی‌ها.

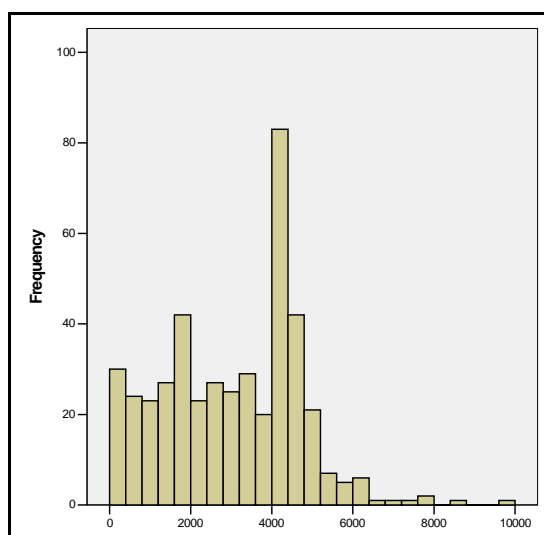
۴-۳-۲- تحلیل داده شکستگی‌ها

پس از انجام مراحل مشروح در بندهای ۱، ۲، ۳ و ۴ فوق، نتایج مربوط به مجموع طول شکستگیها در هر واحد شبکه، بدست آمد.



شکل (۲۶-۴) هیستوگرام توزیع دانسیته شکستگیها را بر حسب متر بر کیلومترمربع نشان می‌دهد.

همانطورکه ملاحظه می‌شود این کمیت توزیع فراوانی نزدیک به لاغ نرمال با چولگی مثبت دارد. با توجه به جدول شماره (۷-۴) که مربوط به پارامترهای آماری متغیر دانسیته شکستگیها می‌باشد، متوسط دانسیته شکستگیهای موجود در واحدهای شبکه دارای شکستگی، ۳۵۴۹ متر بر کیلومترمربع می‌باشد. حداقل مقدار دانسیته موجود در یک واحد شبکه ۱۲۹۳۰ متر بر کیلومترمربع و حداقل آن ۹/۳۷ متر بر کیلومترمربع بوده است.



شکل شماره (۲۸-۴): هیستوگرام توزیع دانسیته شکستگیها بر حسب متر(شکستگی) بر کیلومترمربع(مساحت) در منطقه مطالعاتی

جدول (۷-۴): پارامترهای آماری دانسیته شکستگیها در منطقه مطالعاتی

| | | |
|----------------|---------|----------|
| N | Valid | 441 |
| | Missing | 0 |
| Mean | | 3013.05 |
| Median | | 3198.657 |
| Mode | | 4060.581 |
| Std. Deviation | | 1686.631 |
| Skewness | | 0.175997 |
| Kurtosis | | -0.09429 |
| Minimum | | 0.00342 |
| Maximum | | 9789.211 |
| Percentiles | 25 | 1638.949 |
| | 50 | 3198.657 |
| | 75 | 4260.362 |



۴-۳-۳- تخمین و ترسیم نقشه دانسیته شکستگیها

با استفاده از منطق معکوس فاصله اقدام به تخمین توزیع مقادیر متغیر دانسیته شکستگیها گردید.

۴-۳-۴- انطباق محدوده آنومالیهای نهایی با محدوده زونهای با شکستگی زیاد

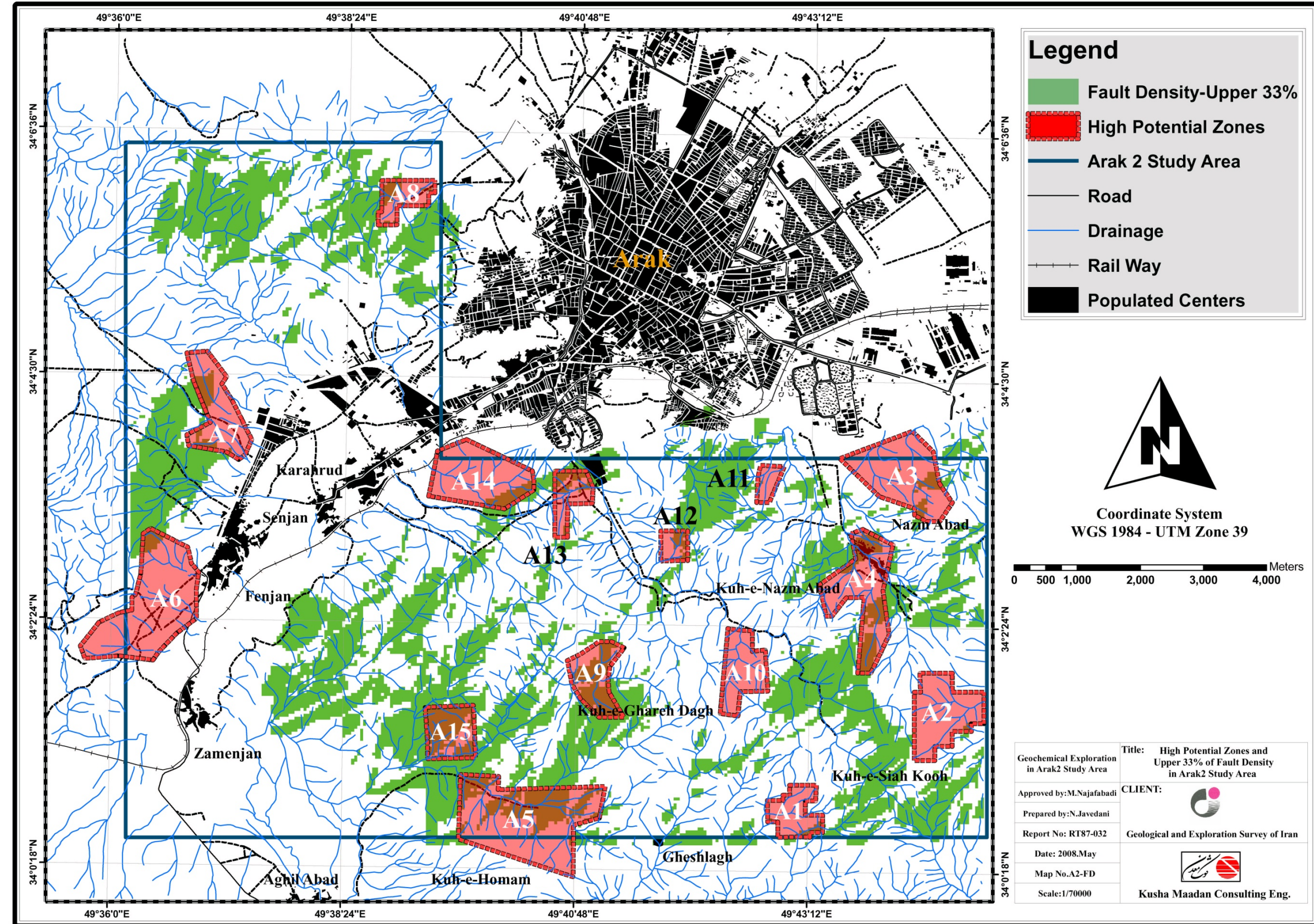
شکل شماره (۲۹-۴) تحت عنوان نقشه A2-FD چگونگی انطباق محدوده مناطق آنومال با زونهای شکستگی را در منطقه مورد بررسی نشان می دهد. در این شکل محدوده های سبزرنگ که معرف ۳۳٪ فوقانی مقادیر تخمینی متغیر دانسیته شکستگیها می باشد نشان داده شده است. با توجه به این شکل که در آن مناطق ناهنجار نهایی نیز نشان داده شده است میتوان در مورد انطباق این مناطق ناهنجار نسبت به مناطق با شکستگی بالا اظهارنظر کرد. بر اساس این شکل ملاحظه می شود که اکثر محدوده های پرپتانسیل بخصوص در جنوبشرق، شمال و غرب منطقه مطالعاتی در حاشیه محدوده های با شکستگی بالا می باشد که به لحاظ اکتشافی دارای اهمیت می باشد. جدول (۸-۴) نتیجه انطباق محدوده های پرپتانسیل با زونهای با شکستگی بالا را نشان می دهد.

جدول (۴-۸): میزان انطباق محدوده های آنومال با زونهای شکستگی شدید در منطقه مطالعاتی

| میزان انطباق مناطق ناهنجار با زون شکستگی بالا | منطقه ناهنجار |
|---|-----------------------|
| انطباق زیاد | A9, A15 |
| انطباق متوسط | A4, A5, A8 |
| انطباق کم | A3, A6, A7, A12, A13 |
| عدم انطباق | A1, A2, A10, A11, A14 |

۴-۴- مطالعه رابطه آنومالیها با لیتولوژی و پدیده های دگر سانی منطقه مطالعاتی

با توجه به نقشه لیتولوژی مقیاس ۱:۱۰۰۰۰۰ موجود مشاهده می شود که غیر از بخش های محدودی در منطقه مطالعاتی که دارای ترکیب سنگ شناسی آذرین نفوذی حد واسط می باشد اکثر مساحت این منطقه مطالعاتی از یک



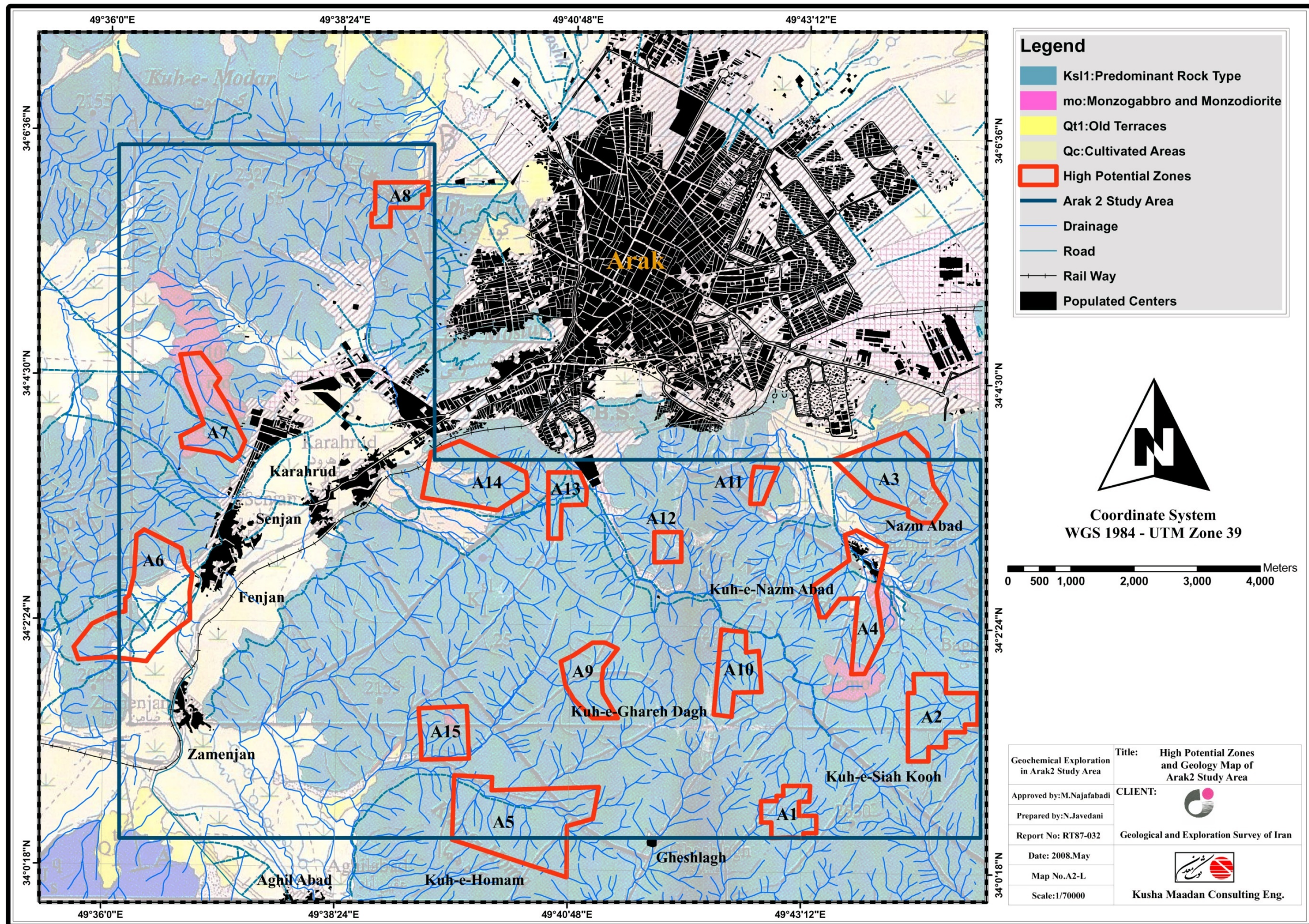
شکل (۲۹-۴) : محدوده های پتانسیل و محدوده های با شکستگی بالا در منطقه مطالعاتی

واحد لیتولوژیکی با ترکیب سنگ آهک، آهک اسلیتی و اسلیت آهکی تشکیل شده است که با توجه به شکل (۳۰-۴) تحت عنوان نقشه A2-LT انطباق محدوده‌های آنومال معرفی شده با لیتولوژی منطقه قابل بیان است. همانطور که ملاحظه می‌شود محدوده‌های آنومال A7، A4 و A15 علاوه بر واحد غالب منطقه (آهک اسلیتی و اسلیت آهکی) در بخش‌هایی تحت پوشش واحد لیتولوژیک آذرین نفوذی حدواتر منطقه مطالعاتی می‌باشد. بقیه محدوده‌های آنومال تحت پوشش لیتولوژیک آهک اسلیتی و اسلیت آهکی غالب منطقه می‌باشد.

به لحاظ فعالیتهای دگرسانی می‌توان گفت عمدۀ دگرسانی‌ها در منطقه از نوع آرژیلیتی بوده (بخصوص در مناطق اسلیتی) که تمام محدوده‌های آنومال را شامل می‌شود. دگرسانی نوع سیلیسی نیز در محدوده‌های آنومال A5، A7، A11 و A15 مشاهده شده است. دگرسانی‌های مربوط به محصولات ثانوی آهن از قبیل لیمونیت، گوتیت و هماتیت در ارتباط با محدوده‌های آنومال A1، A3، A4، A5، A7، A9، A12 و A15 مشاهده می‌شود. با توجه به مطالب فوق می‌توان ملاحظه کرد که محدوده‌های آنومال A5، A7 و A15 دارای محصولات دگرسانی متنوعی می‌باشند. با توجه به نتایج موجود می‌توان گفت دگرسانی‌های سیلیسی در درجه اول و دگرسانی‌های مرتبط با محصولات ثانوی آهن در درجه دوم به نوعی کنترل کننده‌های اصلی کانی‌سازی‌های احتمالی در منطقه قلمداد می‌شود. ذکر این نکته ضروری است که اغلب رخساره‌های دگرسانی فوق الذکر می‌توانند محصول هوازدگی نیز باشند که جدایش آنها نیازمند مطالعات بیشتر (بخصوص مطالعات ایزوتوپی) است.

۴-۵- مدلسازی مناطق امیدبخش

در این پروژه، اساس اولویت بندی مناطق امیدبخش را درجه سازگاری مجموعه پارامترهای مشاهده شده و یا اندازه گیری شده در محل توسعه هر آنومالی تشکیل می‌دهد. این درجه سازگاری به صورت درصد انطباق مجموعه خواص مشاهده شده با تیپ‌های استاندارد کانساری مورد ارزیابی قرار گرفته است و نتایج آن در ستون آخر جداول ارائه شده در مدل سازی آورده شده است. مدل‌های با امتیاز بیش از ۱۰٪ به عنوان اولویت اول، مدل‌های



شکل (۳۰-۴) : محدوده های پتانسیل بهمراه نقشه زمین شناسی منطقه مطالعاتی



با امتیاز بین ۵ تا ۱۰ درصد به عنوان اولویت دوم و بالاخره مدل‌های با امتیاز کمتر از ۵٪ به عنوان اولویت سوم طبقه بندی می‌گردند. در این برگه علاوه بر امتیازهای (Score) بدست آمده، نظر کارشناسی و مشاهدات صحرایی انجام شده نیز در اولویت بندی آنومالی‌ها مؤثر بوده است. در این منطقه مطالعاتی ۱۵ محدوده آنومال تشخیص داده شده است که ۱۴ منطقه جزء مناطق معتبر حساب می‌شود که شامل آنومالی‌های A1، A3، A4، A7، A8، A9، A10، A11، A12، A13، A14 و A15 بوده و آنومالی A2 فاقد نتیجه مدلسازی می‌باشد.

با توجه به جداول مدلسازی نهایی، مقادیر امتیاز براساس معیار ذیل آنومالی‌ها را به درجات مختلف تقسیم می‌کند:

اولویت اول- آنومالی‌های با امتیاز بیشتر از ۱۰٪،

اولویت دوم- آنومالی‌های با امتیاز بین ۵ تا ۱۰٪

اولویت سوم- آنومالی‌های با امتیاز کمتر از ۵٪.

۴-۵-۱- نتیجه مدل‌سازی مناطق امیدبخش

مطابق ملاک‌های معرفی شده در بند فوق آنومالی‌های این برگه بر حسب مقدار Score آنها به سه گروه بیشتر از ۱۰، بین ۱۰ تا ۵ و کمتر از ۵ درصد تقسیم می‌شوند که به ترتیب اولویت‌های اول تا سوم را شامل می‌گردد.

۴-۵-۱-۱- مناطق با اولویت اول شامل مناطق A1، A5 و A15

شرح منطقه A1 : این آنومالی در ۱/۴ کیلومتری جنوب غربی کوه سیاه کوه واقع شده است. مدل‌های مربوط به آن در جدول A1 و در بخش پیوست آمده است. اولین مدل آن، کانسار تیپ روی آپالاشی با ۸۰/۱۰٪ امتیاز می‌باشد. مدل‌های بعدی با امتیاز مثبت به شرح زیر می‌باشد: تیپ باریت لایه ای با ۹٪ امتیاز، تیپ سرب و روی با میزان ماسه سنگی با ۳۰/۵٪ امتیاز، کانسارمس، سرب و روی تیپ کیپوشی با ۷۰/۳٪ امتیاز و کانسار سرب و روی تیپ می‌سی سی پی (میسوری) با ۶۰/۳٪ امتیاز.



A1

| FINAL CALC-N MODELING RESULTS | | |
|-------------------------------|----------|-----------|
| Probable Types of Ore Deposit | Rank (%) | Score (%) |
| Appalachian Zn | 83 | 10.80 |
| Bedded Barite | 90 | 9.00 |
| Sandstone Hosted Pb-Zn | 65 | 5.30 |
| Kipushi Cu-Pb-Zn | 28 | 3.70 |
| Missouri Pb-Zn | 35 | 3.60 |

این آنومالی دارای وسعتی بالغ بر ۵۰ هکتار بوده سنگهای موجود در بالادست آن عبارتند از: سنگ آهک اسلیتی، اسلیت آهکی، اسلیت ماسه ای، سنگ آهک، اسلیت سیلتی، اسلیت آرژیلیتی. در مشاهدات صحرایی این منطقه شیل دیده شده است. در این منطقه آنومالی ژئوشیمیایی از عنصر Ba وجود دارد. نمونه های مینرالیزه برداشت شده از آن شامل عناصر Ba، Pb، Sr و Zn در حد آنومال بوده است. همچنین نمونه های کانی سنگین در این محل دارای کانی های باریت، سروزیت، گالن، هماتیت، ماسیکوت، مونازیت، مس طبیعی، زیرکن، مجموع کانه های فلزی و مجموع کانه های غیر فلزی در حد غنی شده می باشند. در مشاهدات صحرایی آثار آتراسیون لیمونیتی در آهک ها در این منطقه دیده شده است.

شرح منطقه A5 : این آنومالی در دو کیلومتری شمال شرق روستای عقیل آباد واقع شده است. مدل های مربوط به آن در جدول A5 و در بخش پیوست آمده است. اولین مدل آن، کانسار سرب و روی تیپ می سی سی پی (میسوری) با ۱۱/۶۰٪ امتیاز می باشد. مدل های بعدی با امتیاز مثبت به شرح زیر می باشد: کانسار مس، سرب و روی تیپ کیپوشی با ۴۰/۹٪ امتیاز، تیپ سرب و روی رسویی اگزالاتیو با ۶۰/۶٪ امتیاز، تیپ منگنز رسویی با ۶۰/۵٪ امتیاز، تیپ پلی متالیک جانشینی با ۱۰/۵٪ امتیاز.

این آنومالی دارای وسعتی در حدود ۲۳۶ هکتار بوده و سنگهای موجود در بالادست آن عبارتند از: سنگ آهک اسلیتی، اسلیت آهکی، اسلیت ماسه ای، سنگ آهک، اسلیت سیلتی و اسلیت آرژیلیتی. در مشاهدات صحرایی این منطقه سنگهای سیلیس، کربنات، کوارتز و شیل و نیز آتراسیون سیلیسی در آهکها مشاهده شده است. در این منطقه آنومالی ژئوشیمیایی از عناصر Cu و As وجود دارد. نمونه های مینرالیزه برداشت شده از آن شامل عناصر Ag، Au، Co، Fe، Cu، Mn، Pb، Ni و Zn در حد آنومال بوده است. همچنین نمونه های کانی سنگین



در این محل دارای کانی‌های باریت، گالن، مونازیت، پیرولوزیت، پیریت اکسید، زیرکن، مجموع کانی‌های پیریت و مجموع کانه‌های فلزی در حدغنی شده می‌باشند.

A5

| FINAL CALC-N MODELING RESULTS | | |
|-------------------------------|----------|-----------|
| Probable Types of Ore Deposit | Rank (%) | Score (%) |
| Missouri Pb-Zn | 80 | 11.60 |
| Kipushi Cu-Pb-Zn | 63 | 9.40 |
| Sedimentary exhalative Zn-Pb | 15 | 6.60 |
| Sedimentary Mn | 70 | 5.60 |
| Polymetallic-Replacement | 8 | 5.10 |

شرح منطقه A15 : این آنومالی در ۱/۶ کیلومتری غرب کوه قره داغ واقع شده است. مدل‌های مربوط به آن در جدول A15 و در بخش پیوست آمده است. اولین مدل آن، کانسار تیپ منگنز رسوی با ۱۷/۱۰٪ امتیاز می‌باشد. مدل بعدی با امتیاز مثبت کانسار مس، سرب و روی تیپ کیپوشی با ۳/۴۰٪ امتیاز می‌باشد.

A15

| FINAL CALC-N MODELING RESULTS | | |
|-------------------------------|----------|-----------|
| Probable Types of Ore Deposit | Rank (%) | Score (%) |
| Sedimentary Mn | 98 | 17.10 |
| Kipushi Cu-Pb-Zn | 3 | 3.40 |
| Disseminated-Ag-Au | 3 | -3.20 |
| Bedded Barite | 80 | -4.80 |
| Appalachian Zn | 43 | -6.50 |

این آنومالی دارای وسعتی بالغ بر ۶۲ هکتار بوده و سنگ‌های موجود در بالادست آن عبارتند از: سنگ آهک اسلیتی، اسلیت آهکی، اسلیت ماسه‌ای، سنگ آهک، اسلیت سیلتی، اسلیت آرژیلیتی و مونزوودیوریت و مونزوگایرو. در مشاهدات صحرایی این منطقه شیل و نیز آتراسیونهای لیمونیتی، هماتیتی و سیلیسی مشاهده شده است. در این منطقه آنومالی ژئوشیمیایی از عناصر Sb و As وجود دارد. نمونه‌های مینرالیزه برداشت شده از آن شامل عناصر Fe، Ba، As و Mn در حد آنومال بوده است. همچنین نمونه‌های کانی سنگین در این محل



دارای کانه‌های باریت، سروزیت، اپیدوت، گالن، طلا، مونازیت، زیرکن و مجموع کانه‌های فلزی در حدغنی شده می‌باشند.

در این منطقه رگه‌های با ترکیب اکسیدو هیدروکسیدهای آهن با ضخامت چند متر و گسترش چندصد متر وجود دارند که نمونه‌های مینرالیزه برداشت شده از آنها دارای مقادیر ناهنجار Fe , AS و Mn می‌باشند.

۴-۵-۲-مناطق با اولویت دوم شامل مناطق A3، A7 و A11

شرح منطقه A3 : این آنومالی در ۱/۱۵ کیلومتری شمال روستای نظم آباد واقع شده است. مدل‌های مربوط به آن در جدول A3 و در بخش پیوست آمده است. اولین مدل آن، کانسار تیپ منگنز رسوی با ۸/۳۰٪ امتیاز می‌باشد که تنها مدل بدست آمده با امتیاز مثبت است.

A3

| FINAL CALC-N MODELING RESULTS | | |
|-------------------------------|----------|-----------|
| Probable Types of Ore Deposit | Rank (%) | Score (%) |
| Sedimentary Mn | 98 | 8.30 |
| Sedimentary exhalative Zn-Pb | 5 | -2.20 |
| Sandstone Hosted Pb-Zn | 63 | -6.00 |
| Appalachian Zn | 10 | -9.40 |
| Bedded Barite | 73 | -9.90 |

این آنومالی دارای وسعتی در حدود ۱۴۵ هکتار بوده و سنگ‌های موجود در بالادست آن شامل سنگ آهک اسلیت آهکی، اسلیت ماسه ای، سنگ آهک، اسلیت سیلتی و اسلیت آرژیلیتی می‌باشد. همچنین در مشاهدات صحرایی این منطقه شیل مشاهده شده است. در این منطقه آنومالی ژئوشیمیایی از عنصر Sb وجود دارد. در نمونه مینرالیزه برداشت شده هیچ عنصری در حد آنومال موجود نمی‌باشد، اما در نمونه‌های کانی سنگین کانه‌های باریت، بروکانتیت، سروزیت، فلوریت، گالن، طلا، گوتیت، هماتیت، کیانیت، لوکوکسن، مگنتیت، مالاکیت، مس طبیعی، پیروفیزیت، زیرکن، مجموع کانه‌های آهن، مجموع کانه‌های فلزی و مجموع کانه‌های غیر فلزی در حدغنی شده می‌باشند.



شرح منطقه A7 : این آنومالی در ۷۵ کیلومتری شمال سنجان و اطراف آن واقع شده است. مدل های مربوط به آن در جدول A7 و در بخش پیوست آمده است. اولین مدل آن، کانسار تیپ منگنز رسوی با ۶۴٪ امتیاز می باشد که تنها مدل بدست آمده با امتیاز مثبت است.

A7

| FINAL CALC-N MODELING RESULTS | | |
|-------------------------------|----------|-----------|
| Probable Types of Ore Deposit | Rank (%) | Score (%) |
| Sedimentary Mn | 95 | 6.80 |
| Polymetallic-Replacement | 8 | -0.40 |
| Appalachian Zn | 75 | -8.90 |
| Bedded Barite | 58 | -10.70 |
| Sandstone Hosted Pb-Zn | 20 | -11.80 |

این آنومالی دارای وسعتی در حدود ۹۳ هکتار بوده و سنگ های موجود در بالادست آن شامل مونزو دیوریت ، مونزو گابرو، سنگ آهک اسلیتی، اسلیت ماسه ای ، سنگ آهک، اسلیت سیلتی و اسلیت آرژیلیتی می باشد. در این منطقه آنومالی ژئوشیمیایی از عنصر Zn وجود دارد. در نمونه مینرالیزه برداشت شده هیچ عنصری در حد آنومال موجود نمی باشد، اما نمونه های کانی سنگین در این محل دارای کانی های باریت، سیناپر، سروزیت، گالن، لوکوکسن، مس طبیعی، سرب طبیعی، پیرولوزیت، سافیر، اسمیت زونیت، زیرکن، مجموع کانی های پیریت و مجموع کانه های فلزی در حد غنی شده می باشند. در مشاهدات صحرایی آثار آلتراسیون های سیلیسی و لیمونیتی در این منطقه دیده شده است.

شرح منطقه A11 : این آنومالی در ۱/۶ کیلومتری شمال غرب روستای نظم آباد واقع شده است. مدل های مربوط به آن در جدول A11 و در بخش پیوست آمده است. اولین مدل آن، کانسار تیپ مس با میزبان رسوی با ۵۰٪ امتیاز می باشد. مدل های بعدی با امتیاز مثبت به شرح زیر می باشد: تیپ سرب و روی رسوی اگزالاتیو با ۴۰٪ امتیاز، تیپ پلی متالیک جانشینی با ۴۰٪ امتیاز .

این آنومالی دارای وسعتی در حدود ۱۷ هکتار بوده و سنگ های موجود در بالادست آن شامل سنگ آهک اسلیتی، اسلیت آهکی، اسلیت ماسه ای، سنگ آهک، اسلیت سیلتی و اسلیت آرژیلیتی می باشد. در این منطقه آنومالی



ژئوشیمیایی از عناصر Cu و Pb وجود دارد. در نمونه مینرالیزه برداشت شده در این محدوده هیچ عنصری در حد آنومال موجود نمی باشد، اما نمونه کانی سنگین در این محل دارای کانی های باریت، مس طبیعی و پیریت اکساید در حد غنی شده می باشند. در مشاهدات صحرایی آثار آلتراسیون لیمونیتی و بطور محدود سیلیسی در این منطقه دیده شده است.

A11

| FINAL CALC-N MODELING RESULTS | | |
|-------------------------------|----------|-----------|
| Probable Types of Ore Deposit | Rank (%) | Score (%) |
| Sediment Hosted Cu | 93 | 6.50 |
| Sedimentary exhalative Zn-Pb | 10 | 2.60 |
| Polymetallic-Replacement | 3 | 2.40 |
| Sedimentary Mn | 3 | -0.10 |
| Bedded Barite | 65 | -1.00 |

سنگ های موجود در این منطقه شامل سنگ آهک اسلیتی، اسلیت ماسه ای، سنگ آهک، اسلیت سیلیتی و اسلیت آرژیلیتی می باشد. در این منطقه آنومالی ژئوشیمیایی از عناصر Cu و Pb وجود دارد. در نمونه مینرالیزه برداشت شده در این محدوده هیچ عنصری در حد آنومال موجود نمی باشد، اما نمونه کانی سنگین در این محل دارای کانی های باریت، مس طبیعی و پیریت اکساید در حد غنی شده می باشند. در مشاهدات صحرایی آثار آلتراسیون لیمونیتی و بطور محدود سیلیسی در این منطقه دیده شده است.

۴-۵-۱-۳-مناطق با اولویت سوم شامل مناطق A14، A13، A12، A10، A9، A8، A6، A4 و A1

شرح منطقه A4 : این آنومالی در محدوده روستای نظم آباد و اطراف آن واقع شده است. مدل های مربوط به آن در جدول A4 و در بخش پیوست آمده است. اولین مدل آن، کانسارتیپ منگنز رسوی با $3/10\%$ امتیاز می باشد. مدل های بعدی با امتیاز مثبت به شرح زیر می باشد: تیپ طلای ساپرولیت لاتریتی با 3% امتیاز، تیپ سرب و روی با میزان ماسه سنگی با $2/5\%$ امتیاز، تیپ پلی متالیک جانشینی با $2/40\%$ امتیاز و تیپ باریت لایه ای با $0/6\%$ امتیاز.



A4

| FINAL CALC-N MODELING RESULTS | | |
|-------------------------------|----------|-----------|
| Probable Types of Ore Deposit | Rank (%) | Score (%) |
| Sedimentary Mn | 93 | 3.10 |
| Lateritic-Saprolite Au | 10 | 3.00 |
| Sandstone Hosted Pb-Zn | 5 | 2.50 |
| Polymetallic-Replacement | 3 | 2.40 |
| Bedded Barite | 55 | 0.60 |

این آنومالی دارای وسعتی در حدود ۱۲۴ هکتار بوده و سنگهای موجود در بالادست آن عبارتند از: سنگ آهک اسلیتی، اسلیت آهکی، اسلیت ماسه ای، سنگ آهک، اسلیت سیلتی، اسلیت آرژیلیتی، مونزوودیوریت و مونزوگابرو. در مشاهدات صحرایی این منطقه سنگهای دیوریت، کلسیت، فیلیت و شیل و نیز آلتراسیون لیمونیت مشاهده شده است. در این منطقه آنومالی ژئوشیمیایی از عنصر Au وجود دارد. نمونه مینرالیزه برداشت شده از آن شامل عنصر Sr در حد آنومال بوده است. همچنین نمونه‌های کانی سنگین در این محل دارای کانی‌های باریت، سروزیت، الکتروم، گالن، گوتیت، هماتیت، لوکوکسن، مگنتیت، مونازیت، مس طبیعی، پیرولوزیت، اسمیت زونیت، زیرکن، مجموع کانی‌های آهن و مجموع کانه‌های فلزی در حدغنی شده می‌باشند.

شرح منطقه A6 : این آنومالی در ۶۵/۰ کیلومتری جنوب غرب فنجان واقع شده است. مدل‌های مربوط به آن در جدول ۶ A و در بخش پیوست آمده است. اولین مدل آن، کانسار تیپ رگه اپی ترمال کومستاک با ۳۰/۲٪ امتیاز می‌باشد که تنها مدل بدست آمده با امتیاز مثبت است.

این آنومالی دارای وسعتی بالغ بر ۲۰۰ هکتار بوده و سنگهای موجود در بالادست آن عبارتند از: سنگ آهک اسلیتی، اسلیت آهکی، اسلیت ماسه ای، سنگ آهک، اسلیت سیلتی و اسلیت آرژیلیتی. در مشاهدات صحرایی این منطقه شیل و نیز آلتراسیون لیمونیت مشاهده شده است. در این منطقه آنومالی ژئوشیمیایی از عنصر Au وجود دارد. در نمونه مینرالیزه برداشت شده هیچ عنصری در حد آنومال موجود نمی‌باشد، اما نمونه‌های کانی سنگین در این محل دارای کانی‌های باریت، سروزیت، فلوریت، گالن، طلا، گوتیت، هماتیت، ایلمنیت، مونازیت، مس طبیعی، پیرولوزیت، اسمیت زونیت، زیرکن و مجموع کانه‌های فلزی در حدغنی شده می‌باشند.



A6

| FINAL CALC-N MODELING RESULTS | | |
|-------------------------------|----------|-----------|
| Probable Types of Ore Deposit | Rank (%) | Score (%) |
| Comstock Epithermal Veins | 5 | 2.30 |
| Bedded Barite | 93 | -1.20 |
| Sedimentary Mn | 88 | -2.40 |
| Lateritic-Saprolite Au | 18 | -4.70 |
| Sandstone Hosted Pb-Zn | 58 | -6.20 |

شرح منطقه A8 : این آنومالی در ۸۷ کیلومتری شرق کوه مودر واقع شده است. مدل های مربوط به آن در جدول A8 و در بخش پیوست آمده است. اولین مدل آن، کانسار تیپ ماسیو سولفید بشی با ۲۰٪ امتیاز می باشد که تنها مدل بدست آمده با امتیاز مثبت است.

A8

| FINAL CALC-N MODELING RESULTS | | |
|-------------------------------|----------|-----------|
| Probable Types of Ore Deposit | Rank (%) | Score (%) |
| Besshi-Massive Sulfide | 3 | 2.20 |
| Appalachian Zn | 88 | -0.20 |
| Bedded Barite | 80 | -0.30 |
| Sedimentary Mn | 43 | -1.80 |
| Sedimentary exhalative Zn-Pb | 18 | -1.90 |

این آنومالی دارای وسعتی بالغ بر ۴۰ هکتار بوده و سنگهای موجود در بالادست آن عبارتند از: سنگ آهک اسلیتی، اسلیت آهکی ، اسلیت ماسه ای ، سنگ آهک، اسلیت سیلیتی و اسلیت آرژیلیتی. همچنین در مشاهدات صحرایی این منطقه شیل مشاهده شده است. در این منطقه آنومالی ژئوشیمیایی از عناصر As و Al وجود دارد. نمونه مینرالیزه در این محدوده برداشت نشده است. همچنین نمونه های کانی سنگین در این محل دارای کانی های باریت، سروزیت، گالن، [مگنتیت، ماسیکوت، مس طبیعی، پیریت اکساید، پیرولوزیت، اسمیت زونیت، زیرکن، مجموع کانی های آهن، مجموع کانی های پیریت، مجموع کانه های غیر فلزی و مجموع کانه های فلزی در حدغنی شده می باشند.

شرح منطقه A9 : این آنومالی در ۷/۰ کیلومتری شمال کوه قره داغ واقع شده است. مدل های مربوط به آن در جدول A9 و در بخش پیوست آمده است. اولین مدل آن، کانسارتیپ پلی متالیک جانشینی با ۲٪ امتیاز می باشد که تنها مدل بدست آمده با امتیاز مثبت است.

این آنومالی دارای وسعتی بالغ بر ۶۶ هکتار بوده و سنگهای موجود در بالادست آن عبارتند از: سنگ آهک اسلیتی، اسلیت آهکی، اسلیت ماسه‌ای، سنگ آهک، اسلیت سیلتی و اسلیت آرژیلیتی. در مشاهدات صحرایی این منطقه شیل مشاهده شده است. در این منطقه آنومالی ژئوشیمیایی از عنصر Pb وجود دارد. نمونه مینرالیزه در این محدوده برداشت نشده است. نمونه کانی سنگین در این محل دارای کانی های باریت، سروزیت، گالن، مونازیت، اسمنیت زونیت، زیرکن، مجموعه کانه های فلزی و مجموع کانه های غیر فلزی در حدغنی شده می باشند.

A9

| FINAL CALC-N MODELING RESULTS | | |
|-------------------------------|----------|-----------|
| Probable Types of Ore Deposit | Rank (%) | Score (%) |
| Polymetallic-Replacement | 3 | 2.00 |
| Appalachian Zn | 88 | -5.10 |
| Sedimentary exhalative Zn-Pb | 18 | -5.60 |
| Sandstone Hosted Pb-Zn | 73 | -8.60 |
| Bedded Barite | 70 | -8.80 |

شرح منطقه A10 : این آنومالی در جنوب کوه نظم آباد واقع شده است. مدل های مربوط به آن در جدول A10 و در بخش پیوست آمده است. اولین مدل آن، کانسارتیپ باریت لایه ای با ۳/۷۰٪ امتیاز می باشد. مدل‌های بعدی با امتیاز مثبت به شرح زیر می باشد: تیپ روی آپالاشی با ۲/۲۰٪ امتیاز، تیپ سرب و روی با میزبان ماسه سنگی با ۱٪ امتیاز، این آنومالی دارای وسعتی بالغ بر ۶۸ هکتار بوده و سنگهای موجود در بالادست آن عبارتند از: سنگ آهک اسلیتی، اسلیت آهکی، اسلیت ماسه ای، سنگ آهک، اسلیت سیلتی و اسلیت آرژیلیتی. در مشاهدات صحرایی این منطقه شیل مشاهده شده است. در این منطقه آنومالی ژئوشیمیایی از عناصر Cd، P، S و Pb وجود



دارد. نمونه مینرالیزه برداشت شده از آن شامل عنصر Zn در حد آنومال بوده است. نمونه های کانی سنگین در این محل دارای کانی های باریت، مونازیت، مس طبیعی و مجموع کانی های پیریت در حدغنى شده می باشند.

A10

| FINAL CALC-N MODELING RESULTS | | |
|-------------------------------|----------|-----------|
| Probable Types of Ore Deposit | Rank (%) | Score (%) |
| Bedded Barite | 95 | 3.70 |
| Appalachian Zn | 83 | 2.20 |
| Sandstone Hosted Pb-Zn | 65 | 1.00 |
| Missouri Pb-Zn | 5 | -3.80 |
| Polymetallic-Replacement | 8 | -4.30 |

شرح منطقه A12 : این آنومالی در ۱/۷ کیلومتری شمال غرب کوه نظم آباد واقع شده است. مدل های مربوط به آن در جدول A12 و در بخش پیوست آمده است. اولین مدل آن، کانسارتیپ مس با میزان رسوی با ۴/۸۰٪ امتیاز می باشد. مدل های بعدی با امتیاز مثبت به شرح زیر می باشد: تیپ ماسیو سولفید بشی با ۳/۲۰٪ امتیاز، تیپ پلی متالیک جانشینی با ۲/۸۰٪ امتیاز.

A12

| FINAL CALC-N MODELING RESULTS | | |
|-------------------------------|----------|-----------|
| Probable Types of Ore Deposit | Rank (%) | Score (%) |
| Sediment Hosted Cu | 100 | 4.80 |
| Besshi-Massive Sulfide | 10 | 3.20 |
| Polymetallic-Replacement | 5 | 2.80 |
| Kipushi Cu-Pb-Zn | 13 | -0.30 |
| Sedimentary exhalative Zn-Pb | 3 | -3.70 |

این آنومالی دارای وسعتی بالغ بر ۲۰ هکتار می باشد و سنگهای موجود در بالادرست آن عبارتند از: سنگ آهک اسلیتی، اسلیت آهکی، اسلیت ماسه‌ای، سنگ آهک، اسلیت سیلتی و اسلیت آرژیلیتی. در مشاهدات صحرا ای این منطقه شیل و نیز آلتراسیون های لیمونیتی و بطور محدود سیلیسی مشاهده شده است. در این منطقه آنومالی ژئوشیمیایی از عنصر Ag وجود دارد. نمونه مینرالیزه برداشت شده از آن شامل عناصر Cu و Fe در حد آنومال



بوده است. نمونه های کانی سنگین در این محل دارای کانی های باریت، سروزیت، مس طبیعی و زیرکن در حدغنی شده می باشند.

شرح منطقه A13 : این آنومالی در ۵۶٪ کیلومتری جنوب شرقی کوه مستوفی واقع شده است. مدل های مربوط به آن در جدول A13 و در بخش پیوست آمده است. اولین مدل آن، کانسارتیپ ماسیو سولفید بشی با ۹۰٪ امتیاز می باشد. مدل بعدی با امتیاز مثبت، تیپ سرب و روی اگزالاتیو رسوبی با ۸۰٪ امتیاز می باشد.

A13

| FINAL CALC-N MODELING RESULTS | | |
|-------------------------------|----------|-----------|
| Probable Types of Ore Deposit | Rank (%) | Score (%) |
| Besshi-Massive Sulfide | 10 | 2.90 |
| Sedimentary exhalative Zn-Pb | 8 | 2.80 |
| Bedded Barite | 83 | -0.10 |
| Sandstone Hosted Pb-Zn | 60 | -1.00 |
| Sedimentary Mn | 70 | -1.90 |

این آنومالی دارای وسعتی بالغ بر ۳۸ هکتار می باشد سنگهای موجود در بالادست آن عبارتند از: سنگ آهک اسلیت آهکی ، اسلیت ماسه ای ، سنگ آهک، اسلیت سیلتی و اسلیت آرژیلیتی. در مشاهدات صحرایی این منطقه شیل مشاهده شده است. در این منطقه آنومالی ژئوشیمیایی از عنصر Ag وجود دارد. نمونه مینرالیزه در این محدوده برداشت نشده است. نمونه های کانی سنگین در این محل دارای کانی های باریت، کالکوپیریت، گالن، سروزیت، گوتیت، هماتیت، ماسیکوت، مونازیت، مس طبیعی، پیرولوزیت، اسمیت زونیت ، زیرکن، مجموع کانی های آهن، مجموع کانه های فلزی، مجموع کانه های غیر فلزی در حدغنی شده می باشند.

شرح منطقه A14 : این آنومالی در جنوب کوه مستوفی واقع شده است.. مدل های مربوط به آن در جدول A14 و در بخش پیوست آمده است. اولین مدل آن، کانسارتیپ سرب و روی با میزان ماسه سنگی با ۴٪ امتیاز می باشد. مدل های بعدی با امتیاز مثبت به شرح زیر می باشد: کانسار سرب و روی تیپ می سی سی پی(میسوری) با



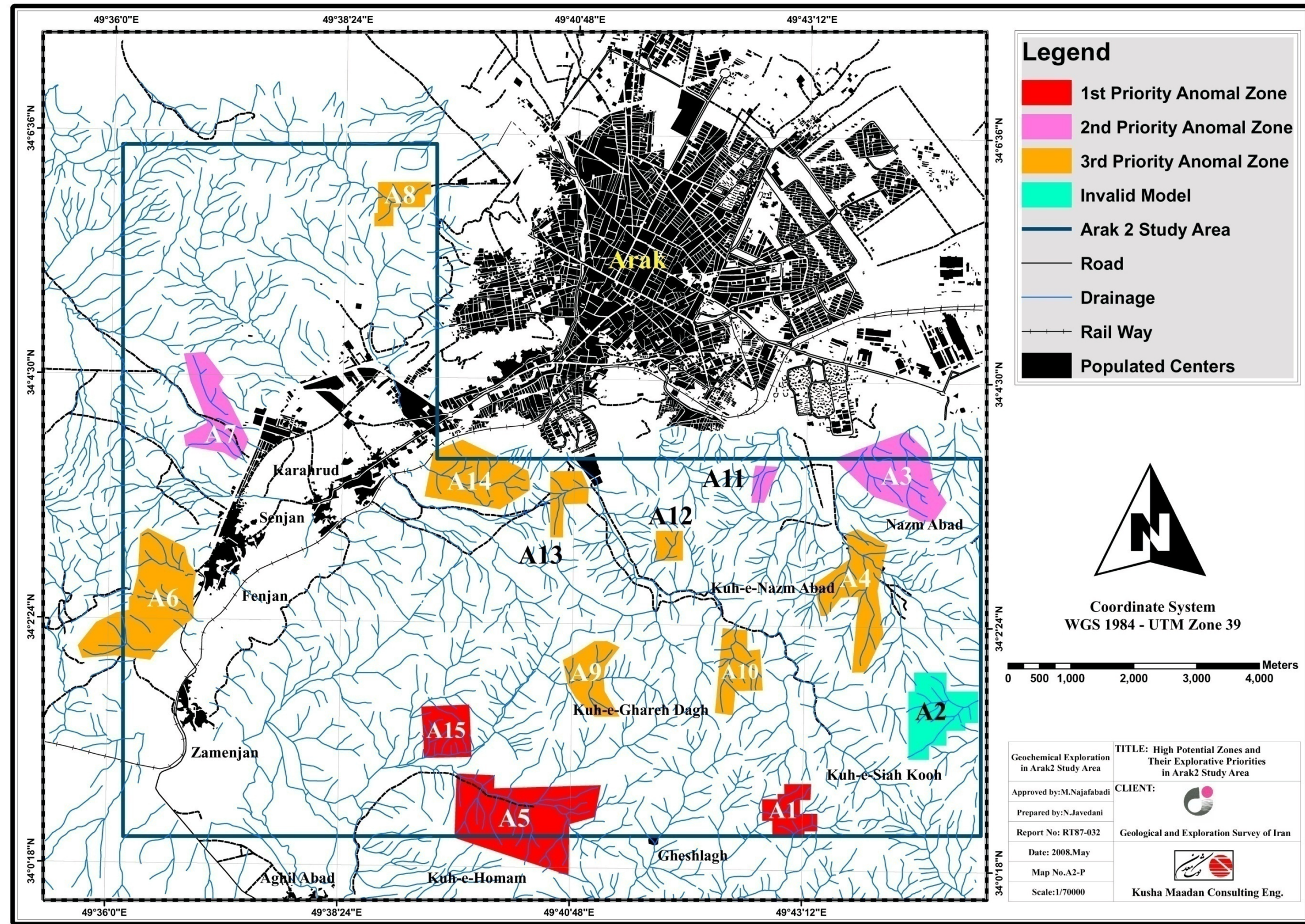
۸۰٪/۳ امتیاز، تیپ پلی متالیک جانشینی با ۳۰٪/۳ امتیاز، تیپ باریت لایه ای با ۶۰٪/۲ امتیاز و تیپ سرب و روی اگزالاتیو رسوبی با ۲۰٪/۲ امتیاز.

این آنومالی دارای وسعتی بالغ بر ۱۳۰ هکتار می باشد سنگهای موجود در بالادست آن عبارتند از: سنگ آهک اسلیتی، اسلیت آهکی، اسلیت ماسه ای، سنگ آهک، اسلیت سیلتی و اسلیت آرژیلیتی. در مشاهدات صحرایی این منطقه شیل مشاهده شده است. در این منطقه آنومالی ژئوشیمیایی از عناصر Zn, Pb, Cu, Sn, Sb, Cd وجود دارد. نمونه مینرالیزه در این محدوده برداشت نشده است. نمونه های کانی سنگین در این محل دارای کانی های باریت، سینابر، سروزیت، الکتروم، گالن، طلا، هماتیت، مونازیت، مس طبیعی، اسمیت زونیت، زیرکن، مجموع کانی های آهن، مجموع کانه های فلزی، مجموع کانه های غیر فلزی در حدغنی شده می باشند.

A14

| FINAL CALC-N MODELING RESULTS | | |
|-------------------------------|----------|-----------|
| Probable Types of Ore Deposit | Rank (%) | Score (%) |
| Sandstone Hosted Pb-Zn | 75 | 4.20 |
| Missouri Pb-Zn | 10 | 3.80 |
| Polymetallic-Replacement | 5 | 3.30 |
| Bedded Barite | 58 | 2.60 |
| Sedimentary exhalative Zn-Pb | 13 | 2.20 |

نتیجه مدلسازی بعمل آمده و اولویت‌بندی‌های حاصل طی شکل شماره (۴-۳۱) تحت عنوان نقشه A2-P آورده شده است.



شکل (۳۱-۴) : محدوده های پریتابسیل بهمراه اولویتهای اکتشافی هر کدام در منطقه مطالعاتی



فصل پنجم

نتیجه‌گیری و پیشنهادها



۵- نتیجه‌گیری و پیشنهادها

۵-۱- ارزیابی اکتشافی و اقتصادی یافته‌ها

بطور کلی با توجه به نتایج حاصل از مدلسازی می‌توان کانی‌سازیهای محتمل در این منطقه را عمدتاً در ارتباط با کانی‌سازیهای تیپ رسوبی قلمداد کرد. از این نتایج میتوان نتیجه گرفت که کانی‌سازیهای معمول در این منطقه از نوع سرب و روی می‌سی‌سی‌پی (میسوری)، منگنز رسوبی و روی آپالاشی می‌باشد. کانی‌سازیهای دیگری مانند باریت لایه‌ای نیز در این منطقه محتمل می‌باشد. ذکر این نکته ضروری است که بعلت عدم وجود مدل عددی برای کانی‌سازی تیپ باریت رگه‌ای در صورت موجود بودن تیپ اخیر مدل تیپ باریت لایه‌ای بجای آن معرفی می‌گردد. در واقع با توجه به آثار رگه‌های باریت در منطقه می‌توان به وجود باریت رگه‌ای در منطقه امیدوار بود نه تیپ باریت لایه‌ای. از کانی‌سازیهای محتمل دیگر که از اولویت کمتری برخوردارند میتوان به مس با میزان رسوبی اشاره کرد. مشاهده شیوه‌های کربن‌دار در فاز کتترل صحرایی احتمال رخداد تیپ کانی‌سازی مس با میزان رسوبی را بواسطه تامین محیط احياء جهت رسوبگذاری این عناصر تا حد کمی بالا می‌برد. البته در این منطقه کانی‌سازیهای جانشینی چندفلزی، ماسیوسولفاید بشی و طلای اپی‌ترمال نیز یعنوان مدلهای با احتمال کم بدست آمده است که با محیط زمین‌شناسی منطقه سازگاری چندانی ندارند.

نکته جالب توجه در این منطقه بالا بودن عیار مونازیت در نمونه‌های کانی‌سنگین بخش مرکزی منطقه تحت پوشش است. از آنجاییکه مونازیت بواسطه دارا بودن عناصر نادر خاکی (REE) بسیار با اهمیت می‌باشد لذا مطالعات بیشتر در این منطقه بالاهمیت است.

۵-۲- ارائه پیشنهاد در خصوص ادامه عملیات اکتشافی

با توجه به مطالب این گزارش، تعبیر و تفسیر و نتایج مدلسازیهای بعمل آمده، ادامه فعالیتهای اکتشافی در فاز نیمه‌تفصیلی توصیه می‌شود. در این بین بر اساس راهنمای اکتشافی ذکر شده در بند ۴-۵ و ۱-۵ این گزارش اقدام به انتخاب نواحی امیدبخش گردید تا مطالعات و اکتشافات تفصیلی سیستماتیک در آن صورت



گیرد. مناطق نهایی برای عملیات اکتشاف سیستماتیک نیمه تفصیلی بر اساس اولویت‌بندی‌های بعمل آمدۀ در انتهای فصل چهارم (در خصوص مواد فلزی) و محدوده امیدبخش به لحاظ غنی‌شدگی مونازیت انتخاب و معرفی شده است. با توجه به مراتب فوق مناطق امیدبخش در سه گروه به شرح زیر معرفی می‌گردد:

۱- مناطق با اولویت اول به لحاظ احتمال رخداد کانی‌سازی شامل محدوده‌های آنومال A1، A5 و

A15

۲- مناطق با اولویت دوم به لحاظ احتمال رخداد کانی‌سازی شامل محدوده‌های آنومال A3، A7 و

A11

۳- مناطق پرپتانسیل احتمالی به لحاظ عناصر نادر خاکی (REE) منطبق بر توزیع مونازیت

مساحت مناطق پیشنهادی نهایی برای سه گروه فوق به ترتیب برابر ۳۴۸، ۲۴۵ و ۱۵۷ هکتار می‌باشد که در مجموع معادل ۶/۸٪ از کل منطقه مطالعاتی می‌باشد.

در شکل (۱-۵) تحت عنوان نقشه A2-۹ محدوده پرپتانسیل اولیه با اولویتهای سه‌گانه اکتشافی، محدوده‌های غنی‌شدگی شدت بالای کانی مونازیت، توزیع ۲۵٪ فوقانی فراوانی دانسیته شکستگی‌ها آورده شده است.

۳-۵- شرح خدمات پیشنهادی برای مناطق امیدبخش سه‌گانه

با توجه به مطالب ذکر شده شرح خدمات اکتشافی با مفاد زیر جهت اجراء در مرحله اکتشافی

نیمه تفصیلی پیشنهاد می‌گردد:

۱- تهیه نقشه زمین‌شناسی همراه با تعیین زونهای برشی و کارستی، پدیده‌های ساختمانی و سکانس‌های چینه‌شناسی در مقیاس ۱:۵۰۰۰ و برداشت زونهای مینرالیزه در مقیاس ۱/۱۰۰۰.

۲- طراحی شبکه نمونه‌برداری لیتوژئوشیمیایی در محدوده‌های نهایی پیشنهادی با ابعاد شبکه نمونه-برداری 100×100 متر در مناطق پیشنهادی اولویت اول به تعداد ۲۲۵ سلول و 200×200 متر در مناطق پیشنهادی اولویت دوم و مناطق اکتشافی REE به تعداد ۲۳۳ سلول.



-۳ برداشت نمونه ۶۰ قطعه‌ای لبپری برای سلولهای 100×100 و 200×200 بروش نمونه‌برداری

ردیفی تصادفی (Stratified Random).

-۴ آنالیز ۴۴ عنصری نمونه‌های برداشت شده برای مناطق گروه اول و دوم.

-۵ اندازه‌گیری SiO_2 در نمونه‌های لیتوژئوژیمیایی برداشت شده و رسم نقشه توزیع این متغیر بعنوان معرف دگرسانی تیپ سیلیسی بخصوص در زونهای کربناتی.

-۶ رسم نقشه شاخص دگرسانی دولومیتی در سنگهای کربناتی از طریق محاسبه نسبت MgO / CaO .

-۷ برداشت نمونه‌های XRD با هدف تعیین نوع آلتراسیون.

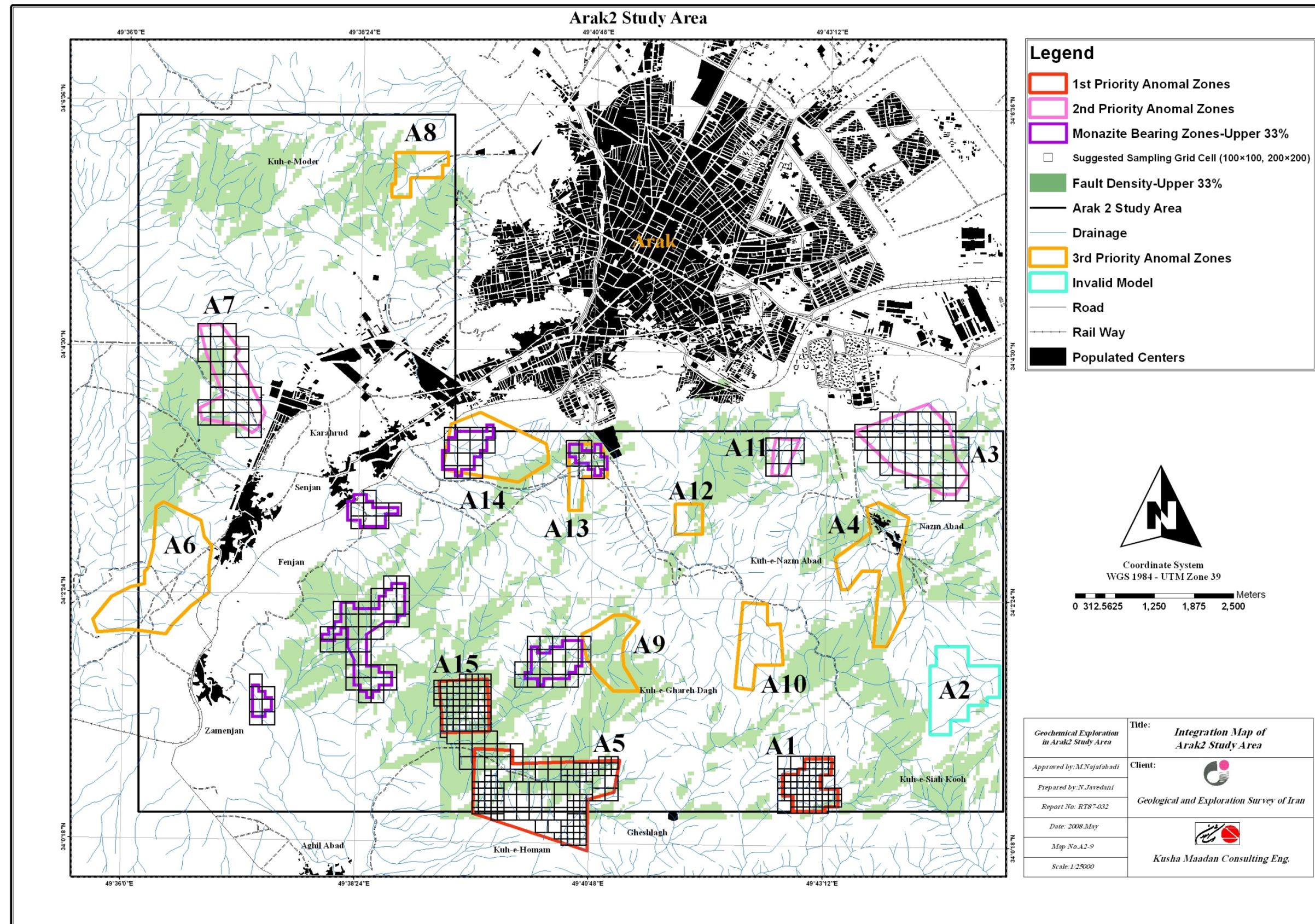
-۸ آنالیز عناصر نادر خاکی بخصوص انواع LREE همراه با U، Th و P برای نمونه‌های برداشت شده از زونهای مونازیت‌دار معرفی شده (گروه سوم).

-۹ برداشت نمونه‌های مقطع نازک و صیقلی از زونهای کانی‌سازی شده برای تعیین ارتباطات پاراژنزی در آنها. در مورد منطقه مونازیت‌دار لازم است این برداستهای ژنز این مناطق را روشن نماید.

-۱۰ جمع‌بندی داده‌های فوق و ارائه امیدبخش‌ترین نقاط جهت اجراء حفاری‌های اکتشافی اعم از ترانشه و گمانه.

-۱۱ تذکر آنکه ضلع شمال‌شرق منطقه (حاشیه جنوبی شهرستان اراک) که در نزدیکی آن ۴ منطقه برداشت لیتوژئوژیمیایی پیشنهاد شده است، بعض‌اً آلدگی‌های ساختمانی و صنعتی در آن دیده شده است لذا لازم است سلولهایی که دارای چنین آلدگی‌هایی می‌باشند از برنامه نمونه‌برداری حذف شوند.

شبکه نمونه‌برداری لیتوژئوژیمیایی پیشنهادی در مناطق امیدبخش سه‌گانه در نقشه A2-9 ارائه شده است.



شکل (۱-۵) : نقشه تلفیقی منطقه مطالعاتی شامل محدوده‌های آنمال اولویت‌بندی شده، محدوده‌های غنی‌شده مونازیت، مناطق با شکستگی بالا و شبکه نمونه‌برداری سیستماتیک



پیوست گزارش